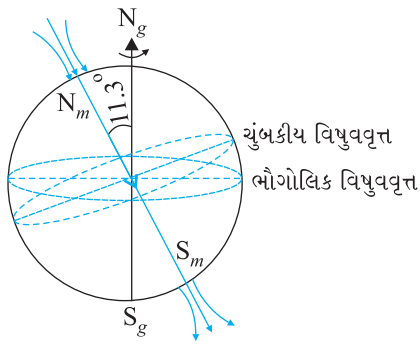


ભૌતિકવિજ્ઞાન



આકૃતિ 5.8 વિશાળ ચુંબકીય દ્વિ-ધૂવી તરીકે પૃથ્વી

પૃથ્વોના નામકરણમાં થોડીક દુવીધા છે. જો આપણે પૃથ્વીની ચુંબકીય ક્ષેત્ર રેખાઓ જોઈએ (આકૃતિ 5.8), તો જોઈ શકીએ કે, ગજિયા ચુંબકથી વિપરીત, ઉત્તર ચુંબકીય ધૂવ (N_m) પર (ચુંબકીય) ક્ષેત્ર રેખાઓ અંદર પ્રવેશે છે અને દક્ષિણ ચુંબકીય ધૂવ (S_m) માંથી બહાર આવે છે. આવી પ્રણાલી એટલા માટે પરી કે ચુંબકીય સોયનો ઉત્તર ધૂવ (પૃથ્વીના) ચુંબકીય ઉત્તર દિશા તરફ રહેતો હતો; ચુંબકનો ઉત્તર ધૂવ પણ ઉત્તર દિશા તરફ રહેતો (ઉત્તર દિશા દર્શાવતો) હોવાથી તેનું એ નામ પડ્યું. આમ, હકીકતમાં, પૃથ્વીની અંદર ઉત્તર ચુંબકીય ધૂવ જાણે કે પૃથ્વીની અંદરના ગજિયા ચુંબકના દક્ષિણધૂવની જેમ વર્તે છે અને તેથી ઊલટું પણ.

ઉદાહરણ 5.8 પૃથ્વીનું ચુંબકીયક્ષેત્ર વિષુવવૃત્ત પાસે લગભગ 0.4 G જેટલું છે. પૃથ્વીની દ્વિ-ધૂવી ચાકમાત્રા (ડાયપોલ મોમેન્ટ) શોધો.

ઉકેલ

સમીક્ષણ (5.7) પરથી, વિષુવવૃત્ત પાસે ચુંબકીયક્ષેત્ર

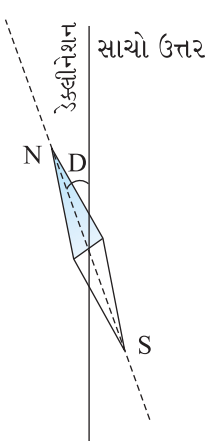
$$B_E = \frac{\mu_0 m}{4\pi r^3}$$

આપણાને B_E ~ 0.4 G = 4 × 10⁻⁵ T આપેલ છે. r તરીકે આપણે પૃથ્વીની ત્રિજ્યા 6.4 × 10⁶ m લઈ શકીએ. આથી,

$$m = \frac{4 \times 10^{-5} \times (6.4 \times 10^6)^3}{\mu_0 / 4\pi} = 4 \times 10^2 \times (6.4 \times 10^6)^3 \quad (\mu_0 / 4\pi = 10^{-7}) \\ = 1.05 \times 10^{23} \text{ Am}^2$$

જે ભૂચુંબકત્વ માટેના પુસ્તકોમાં દર્શાવેલ મૂલ્ય 8 × 10²² Am²ની નજીક છે.

5.4.1 ચુંબકીય ડેક્લિનેશન (Declination-Dિક્રૂપાતકોણ) અને ડીપ (Dip-નમનકોણ) (Magnetic Declination and Dip)



આકૃતિ 5.9 સમક્ષિતિજ સમતલમાં મુક્ત રીતે ફરી શકે તેવી ચુંબકીય સોય ચુંબકીય ઉત્તર-દક્ષિણ દિશા દર્શાવે છે.

પૃથ્વીની સપાઠી પરનું કોઈ સ્થળ (બિંદુ) ધારો. આ બિંદુએ, રેખાંશ વર્તુળની દિશા ભૌગોલિક ઉત્તર-દક્ષિણ દિશા દર્શાવે છે, રેખાંશની ઉત્તર ધૂવ તરફની રેખા સાચ્ચો ઉત્તર દિશા છે. પૃથ્વીની ભૂમણ અક્ષ અને રેખાંશ વૃત્તને સમાવતું ઉધ્વ સમતલ ભૌગોલિક ધૂવતલ (મેરીડિયન) કહેવાય છે. તે જ રીતે આપણે તે સ્થળ અને પૃથ્વીના ઉત્તર-દક્ષિણ ધૂવોને જોડતી કાલ્પનિક રેખામાંથી પસાર થાતા ઉધ્વ સમતલને તે સ્થળના ચુંબકીય ધૂવતલ (મેરીડિયન) તરીકે વ્યાખ્યાપિત કરી શકીએ. આ સમતલ પૃથ્વીની સપાઠીને રેખાંશ જેવા વર્તુળમાં છેદશે. આથી, સમક્ષિતિજ સમતલમાં મુક્ત રીતે ફરી શકે તેમ લટકવેલ ચુંબકીય સોય, ચુંબકીય ધૂવતલમાં રહેશે અને સોયનો ઉત્તરધૂવ (પૃથ્વીની) ચુંબકીય ઉત્તર ધૂવ તરફ ગોઠવાશે. ચુંબકીય ધૂવોને જોડતી રેખા પૃથ્વીની ભૌગોલિક અક્ષ સાથે થોડી ઠણતી (નમેલી) હોવાથી, ચુંબકીય ધૂવતલ ભૌગોલિક ધૂવતલ સાથે એક ખૂણો બનાવે છે. આમ, તે (ખૂણો) સાચ્ચો ભૌગોલિક ઉત્તર અને ચુંબકીય સોય વડે દર્શાવેલા ઉત્તર વચ્ચેનો કોણ છે. આ ખૂણાને ચુંબકીય ડેક્લિનેશન અથવા ફક્ત ડેક્લિનેશન કહે છે (આકૃતિ 5.9).

મોટા અક્ષાંશ માટે ડેક્લિનેશન મોટું હોય છે. જ્યારે વિષુવવૃત્ત પાસે તે ઓછું હોય છે. ભારત માટે ડેક્લિનેશન ઓછું છે, જે દિલ્હી પાસે 0°41'E છે. જ્યારે મુંબઈ પાસે 0°58'W છે.

ચુંબકત્વ અને દ્રવ્ય

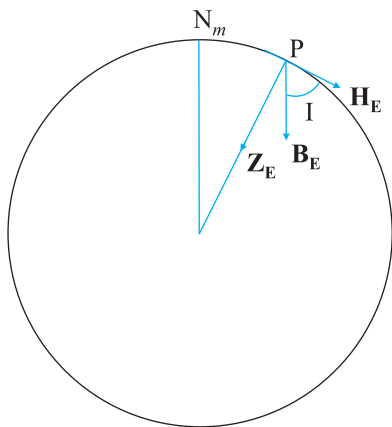
આમ, આ બંને સ્થાને ચુંબકીય સોય લગભગ સાચી ઉત્તર દિશા દર્શાવે છે.

એક બીજી રાશિ પણ જાણવી જરૂરી છે. જો ચુંબકીય સોયને ચુંબકીય ધ્રુવતલમાં સમક્ષિતિજ અક્ષ પર એવી રીતે સંતુલિત કરી હોય કે તે ચુંબકીય ધ્રુવતલમાં દોલન કરી શકે તો આ સોય સમક્ષિતિજ સાથે એક ખૂણો બનાવે છે (આકૃતિ 5.10). તેને નમનકોણ (Angle of Dip) કહે છે (જે નમન પણ કહેવાય છે).

આમ, નમનકોણ એ પૃથ્વીના (તે સ્થાને) કુલ ચુંબકીયક્ષેત્ર \mathbf{B}_E વડે પૃથ્વીની સપાટી સાથે બનતો કોણ છે. આકૃતિ 5.11 પૃથ્વીની સપાટી પર P બિંદુએ ચુંબકીય ધ્રુવતલ દર્શાવે છે. આ સમતલ પૃથ્વીમાંથી પસાર થતો છેદ છે. P બિંદુ પાસે કુલ ચુંબકીયક્ષેત્રને બે ભાગમાં

વિભાજિત કરી શકાય. એક સમક્ષિતિજ ઘટક \mathbf{H}_E અને બીજો ઉધ્ર્વ ઘટક \mathbf{Z}_E . \mathbf{B}_E વડે \mathbf{H}_E સાથે બનતો કોણ એ નમનકોણ I છે.

ઉત્તર ગોળાઈમાં મોટાભાગમાં નમન દર્શાવતી સોયનો ઉત્તર ધ્રુવ (છેડો) નીચે તરફ નમેલો (ફળતો) હોય છે.



આકૃતિ 5.10 વર્તુળ એ મેનેટીક મેરીડિયનને સમાવતો પૃથ્વીનો આંદોલન છે. \mathbf{B}_E અને સમક્ષિતિજ ઘટક \mathbf{H}_E વચ્ચેનો કોણ નમનકોણ (એન્ગલ ઓફ ડીપ) છે.

તે જ રીતે, દક્ષિણ ગોળાઈના મોટાભાગમાં નમન દર્શાવતી સોયનો દક્ષિણધ્રુવ નીચે તરફ ફળતો હોય છે.

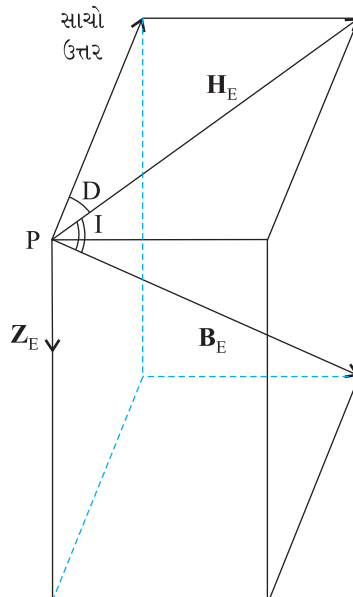
પૃથ્વીની સપાટી પર કોઈ બિંદુ પાસે ચુંબકીયક્ષેત્ર દર્શાવવા માટે આપણે ત્રણ રાશિઓ સ્પષ્ટ કરવી પડે : તેક્લીનેશન D, નમનકોણ અથવા નમન I, અને પૃથ્વીના ક્ષેત્રનો સમક્ષિતિજ ઘટક \mathbf{H}_E . આ બધાને પૃથ્વીના ચુંબકીયક્ષેત્રના તત્ત્વો (Elements) કહે છે.

ઉધ્ર્વ ઘટકને Z_E વડે દર્શાવતાં,

$$Z_E = B_E \sin I \quad [5.10(a)]$$

$$H_E = B_E \cos I \quad [5.10(b)]$$

$$\text{જે પરથી, } \tan I = \frac{Z_E}{H_E} \quad [5.10(c)]$$

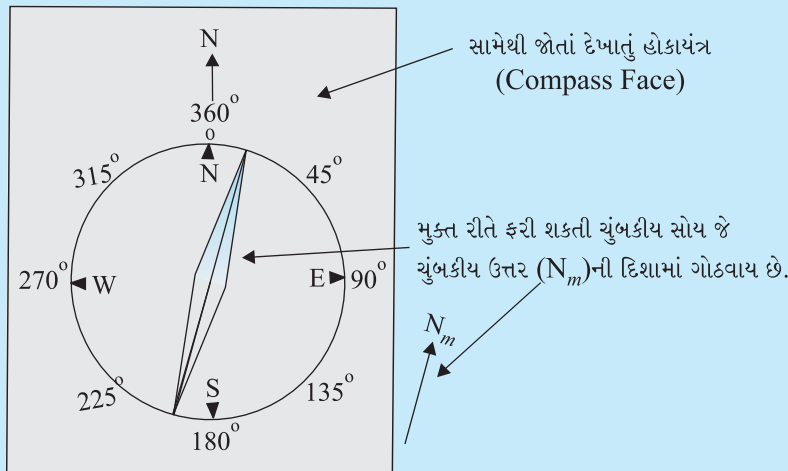


આકૃતિ 5.11 પૃથ્વીનું ચુંબકીયક્ષેત્ર \mathbf{B}_E , તેના સમક્ષિતિજ અને લંબ ઘટકો, \mathbf{H}_E અને \mathbf{Z}_E . આ ઉપરાંત તેક્લીનેશન D અને નમન અથવા નમનકોણ (એન્ગલ ઓફ ડીપ) I દર્શાવ્યા છે.

ભૌતિકવિજ્ઞાન

ધૂવો પર મારી કંપાસ સોય (હોકાયંત્રની સોય) શું દર્શાવશે ? (WHAT HAPPENS TO MY COMPASS NEEDLES AT THE POLES?)

કંપાસ (હોકાયંત્રની) સોય એક ચુંબકીય સોયની બનેલી હોય છે જે એક અક્ષીય બિંદુ પર ડિલાઇટ કરેલ છે. જ્યારે કંપાસ (હોકાયંત્ર) ને સમક્ષિતિજ રાખેલ હોય ત્યારે તે એ સ્થાન પાસે પૃથ્વીના સમક્ષિતિજ ઘટકની દિશામાં ગોઠવાય છે. આમ, કંપાસ સોય તે સ્થાને ચુંબકીય ધ્રુવતલમાં રહેશે. પૃથ્વી પર ઘણી જગ્યાએ ચુંબકીય ખનિજો પુષ્ટ પ્રમાણમાં હોય છે, જે કંપાસ (હોકાયંત્રની) સોયને ચુંબકીય ધ્રુવતલમાંથી વિચલિત કરે છે. ચુંબકીય ડેક્લિનેશન જાણતા હોઈએ તો આપણને કંપાસ (હોકાયંત્રની) સોય વડે દર્શાવેલી ત્રુટી સુધારીને સાચી ઉત્તર દિશા મળી શકે છે.



તો આપણે આ કંપાસને ચુંબકીય ધ્રુવ પર લઈ જઈએ તો શું થશે? ધૂવો પર, ચુંબકીય ક્ષેત્રરેખાઓ લંબરૂપે લેગી થતી કે વિભેરાતી હોય છે. આથી (ચુંબકીયક્ષેત્રનો) સમક્ષિતિજ ઘટક નહીંવત્તુ હોય છે. જો આ સોય ફક્ત સમક્ષિતિજ સમતલમાં ફરી શકે તેમ હોય, તો તે કોઈ પણ દિશા દર્શાવી શકે, જે દિશા-દર્શક તરીકે બિનઉપયોગી થઈ જાય. આ કિસ્સામાં નમન દર્શાવતી (ચુંબકીય) સોયનો ઉપયોગ કરવો જોઈએ જે (ચુંબકીય સોય ધરાવતો) એવો કંપાસ છે કે જેથી તે પૃથ્વીના ચુંબકીયક્ષેત્ર ધરાવતા ઉધ્વ સમતલમાં ધૂમી શકે. આ કિસ્સામાં કંપાસની સોય ચુંબકીયક્ષેત્ર એ ઉધ્વ સાથે બનાવેલો કોણ દર્શાવે છે. ચુંબકીય ધૂવો પર આ સોય સીધી નીચેની તરફની દિશા દર્શાવશે.

ઉદાહરણ 5.9 કોઈ સ્થાનના ચુંબકીય ધ્રુવતલમાં પૃથ્વીના ચુંબકીયક્ષેત્રનો સમક્ષિતિજ ઘટક 0.26 G છે અને નમન કોણ 60° છે. આ સ્થળે પૃથ્વીનું ચુંબકીયક્ષેત્ર કેટલું હશે?

ઉકેલ $H_E = 0.26 \text{ G}$ આપેલું છે. આફ્ટર 5.11 પરથી,

$$\cos 60^\circ = \frac{H_E}{B_E}$$

$$B_E = \frac{H_E}{\cos 60^\circ}$$

$$= \frac{0.26}{(1/2)} = 0.52 \text{ G}$$

પૃથ્વીનું ચુંબકીયક્ષેત્ર (EARTH'S MAGNETIC FIELD)

એવું ધારી લેવું ન જોઈએ કે પૃથ્વીના પેટાળમાં ખૂબ મોટો ગજિયો ચુંબક રહેલો છે જેના કારણે પૃથ્વીને ચુંબકીયક્ષેત્ર છે. પૃથ્વીના અંદરના ભાગમાં લોખંડની ખનિજના મોટા ભંડાર રહેલા છે, પરંતુ એવું નથી કે લોખંડનો ખૂબ મોટો ઘન ટુકડો (Block) ચુંબકીય ઉત્તર ધ્રુવથી ચુંબકીય દક્ષિણધ્રુવ સુધી વિસ્તરેલો હોય. પૃથ્વીનું પેટાળ (ગર્ભ) ખૂબ ગરમ અને પિગળેલું છે, તથા આયર્ન અને નિકલના આયનો પૃથ્વીના ચુંબકત્વ માટે જવાબદાર છે. આ પૂર્વધારણા વધારે સંબંધિત લાગે છે. ચંદ્રને પિગળેલું પેટાળ (ગર્ભ) નથી, તેથી તેને ચુંબકીયક્ષેત્ર નથી. શુક ધીમેથી પરિબ્રમણ કરે છે અને તેનું ચુંબકીયક્ષેત્ર ઘણું નબળું છે, જ્યારે ગુરુ, જેનો પરિબ્રમણ દર બીજા ગ્રહો કરતાં ઘણો ઝડપી છે તેને ઘણું પ્રબળ ચુંબકીયક્ષેત્ર છે. આમ છતાં, આ વર્તુળમાર્ગ (ધૂમતા) પ્રવાહો અને તેમને ટકાવી રાખવા માટે જરૂરી ઊર્જા ક્યાંથી આવે છે તે બહુ સારી રીતે સમજ શકાયું નથી. આ બધા ઘણા જગતાહેર અને ખુલ્લા પ્રશ્નો છે જે સતત શોધખોળ માટેનું અગત્યનું ક્ષેત્ર છે.

સ્થળ સાથે પૃથ્વીના ચુંબકીયક્ષેત્રમાં થતો ફેરફાર એ પણ એક રસપ્રદ અભ્યાસનું ક્ષેત્ર છે. સૂર્યમાંથી ઉત્સર્જિત થયેલા સૌર પવનોમાં રહેલા વિદ્યુતભારિત ક્ષો પૃથ્વી તરફ અને તેથી આગળ પણ ગતિ કરે છે. તેમની ગતિ પર પૃથ્વીનું ચુંબકીયક્ષેત્ર અસર કરે છે, અને સામે તે પણ પૃથ્વીના ચુંબકીયક્ષેત્રની ભાત (રેખાઓ) પર અસર કરે છે. ધ્રુવો પણે ચુંબકીયક્ષેત્રની ભાત પૃથ્વી પરના બીજા વિસ્તારોની ભાતની સરખામણીમાં ઘણી અલગ છે.

પૃથ્વીના ચુંબકીયક્ષેત્રમાં સમય સાથે થતો ફેરફાર પણ કંઈ ઓછો આકર્ષક નથી. તેમાં પણ સદીઓ સાથે ટૂકા ગાળાના ફેરફારો થાય છે જ્યારે લાખો વર્ષોના ગાળા દરમિયાન મોટા ફેરફારો પણ થાય છે. ઈસ. 1580થી 1820ના 240 વર્ષના ગાળા દરમિયાનની જે માહિતી ઉપલબ્ધ છે, તે અનુસાર લંડન ખાતે મેનેટીક ડેક્લિનેશનમાં 3.5° નો ફેરફાર થયો છે, જે દર્શાવે છે કે પૃથ્વીના ગર્ભમાં ચુંબકીય ધ્રુવો સમય સાથે સ્થાન બદલે છે. લાખો વર્ષોના સમયગાળામાં, પૃથ્વીના ચુંબકીયક્ષેત્રની દિશા ઉલટાતી હોવાનું માલુમ પડ્યું છે. બેસાલ્ટ, લોખંડ (આયર્ન) ધરાવે છે અને જવાળામુખી સકીય થાય ત્યારે બેસાલ્ટ બહાર ફેંકાય છે. જ્યારે બેસાલ્ટ ઠંડો પડતો હોય અને ઘન અવસ્થામાં ફેરવાઈ રહ્યો હોય તે દરમાન તેમાં રહેલા લોખંડના નાના ચુંબકો, તે સ્થાનના પૃથ્વીના ચુંબકીયક્ષેત્રની હિશમાં ગોઠવાય છે. બેસાલ્ટના આવા ચુંબકત્વ ધરાવતા વિસ્તારોના ટુકડાઓના ભૂસરશાસ્ત્રીય અભ્યાસ દરમિયાન પૃથ્વીના ચુંબકીયક્ષેત્રની દિશા બદલાવાના પુરાવા ભૂતકાળમાં ઘણી વાર મળી આવ્યા છે.

મેનેટાઈઝેશન અને મેનેટિક તીવ્રતા

(MAGNETISATION AND MAGNETIC INTENSITY)

પૃથ્વી જાતજાતના અને ભાતભાતના તત્વો અને સંયોજનોથી ભરેલી છે. આ ઉપરાંત આપણે પણ નવી મિશ્રધાતુઓ, સંયોજનો અને તત્વો કૂત્રિમ રીતે બનાવ્યા છે. આપણે આ દ્રવ્યોના ચુંબકીય ગુણવર્મણનું વર્ગીકરણ કરીએ. આ વિભાગમાં, આપણે આ અભ્યાસમાં મદદરરૂપ થાય તેવી કેટલીક રાશિઓ (Terms)ને વ્યાખ્યાપિત કરીશું અને સમજશું.

આપણે જોયું હતું કે પરમાણુમાં પરિબ્રમણ કરતા ઈલેક્ટ્રોનને ચુંબકીય ચાકમાત્રા (મેનેટીક મોમેન્ટ) હોય છે. દ્રવ્યના જથ્થામાં, આ બધી ચાકમાત્રા (મોમેન્ટ) સાદિશ રીતે ઉમેરાય છે અને આપણાને પરિણામી (ચોખ્ખી) અશૂન્ય એવી ચુંબકીય ચાકમાત્રા (મેનેટીક મોમેન્ટ) આપી શકે છે. આપણે કોઈ નમુના (પદાર્થ)ના મેનેટાઈઝેશન M ને તેના એકમ કદ દીઠ પરિણામી (ચોખ્ખી) ચુંબકીય ચાકમાત્રા (મેનેટીક મોમેન્ટ) વડે વ્યાખ્યાપિત કરીએ છીએ.

$$M = \frac{m_{net}}{V} \quad (5.11)$$

M એ સદિશ છે, જેના પરિમાણ $L^{-1} A$ છે, તથા તેનો એકમ $A m^{-1}$ છે.

એકમ લંબાઈ દીઠ n આંટા ધરાવતો અને વિદ્યુતપ્રવાહ I ધારિત એક લાખો સોલેનોઇડ ધ્યાનમાં લો. સોલેનોઇડમાં અંદરના ભાગમાં ચુંબકીયક્ષેત્રનું મૂલ્ય અગાઉ બતાવ્યું હતું તે મુજબ,

ભૌતિકવિજ્ઞાન

$$B_0 = \mu_0 n I \quad (5.12)$$

જો સોલેનોઇડના અંદરના ભાગમાં એવું દ્રવ્ય ભરવામાં આવે કે જેનું મેળેટાઈઝેશન શૂન્ય ન હોય, તો સોલેનોઇડની અંદર (ચુંબકીય) ક્ષેત્ર B_0 થી વધુ હશે. સોલેનોઇડના અંદરના ભાગમાં ચોખ્ખું ક્ષેત્ર \mathbf{B} આ રીતે દર્શાવી શકાય.

$$\mathbf{B} = \mathbf{B}_0 + \mathbf{B}_m \quad (5.13)$$

જ્યાં, \mathbf{B}_m એ ગર્ભ (કોર, અંદર)માં રહેલા દ્રવ્ય વડે મળતું ક્ષેત્ર છે. એ જાગવા મળ્યું છે કે વધારાનું આ ક્ષેત્ર \mathbf{B}_m એ પદાર્થના મેળેટાઈઝેશન \mathbf{M} ના સમપ્રમાણમાં હોય છે, જે આ મુજબ દર્શાવાય છે

$$\mathbf{B}_m = \mu_0 \mathbf{M} \quad (5.14)$$

જ્યાં, μ_0 એ બાયો-સાવરના નિયમમાં આવે છે તે જ અચળાંક (શૂન્યાવકાશની પરમિએબિલિટી) છે.

એક બીજું સંદિશ ક્ષેત્ર \mathbf{H} (ઉમેરવાનું સગવડભર્યું છે, જેને ચુંબકીય તીવ્રતા કહે છે, અને તે નીચે મુજબ વ્યાખ્યાયિત થાય છે.

$$\mathbf{H} = \frac{\mathbf{B}}{\mu_0} - \mathbf{M} \quad (5.15)$$

જ્યાં, \mathbf{H} ના પરિમાણ \mathbf{M} જેવા જ છે અને તેને $A \text{ m}^{-1}$ ના એકમમાં માપવામાં આવે છે. આથી, કુલ ચુંબકીયક્ષેત્ર \mathbf{B} આ મુજબ લખી શકાય.

$$\mathbf{B} = \mu_0 (\mathbf{H} + \mathbf{M}) \quad (5.16)$$

આપણે વ્યાખ્યાની પદ્ધતિ ફરીથી દર્શાવીએ. આપણે પદાર્થના નમુનાની અંદર કુલ ચુંબકીયક્ષેત્રમાં મળતા ફળાને બે ભાગમાં વહેંચ્યો છે : એક; બાબુ પરિબળ જેમ કે સોલેનોઇડમાં વહેતા વિદ્યુત પ્રવાહને લીધે છે તેને \mathbf{H} વડે દર્શાવાય છે. બીજો એટલે કે \mathbf{M} ચુંબકીય પદાર્થના વિશિષ્ટ ગુણધર્મને કારણે છે. આ બીજી રીં પર બાબુ પરિબળોની અસર થતી હોય છે. આ બાબુ અસરને ગાણિતીક રીતે આ મુજબ દર્શાવાય છે.

$$\mathbf{M} = \chi \mathbf{H} \quad (5.17)$$

જ્યાં χ , એ પરિમાણ રહિત રાશી છે, જેને યોગ્ય રીતે જ ચુંબકીય (મેળેટીક) સસેપ્ટિબિલિટી કહે છે. તે ચુંબકીય દ્રવ્ય બાબુ (ચુંબકીય) ક્ષેત્રને કેવો પ્રતિભાવ (Response) આપે છે તે દર્શાવે છે. કોષ્ટક 5.2માં કેટલાક તત્વો માટે χ ના મૂલ્યો દર્શાવ્યા છે. પેરામેળેટિક તરીકે ઓળખાતા દ્રવ્યો માટે તેનું મૂલ્ય નાનું અને ધન હોય છે. ડાયોમેળેટીક તરીકે ઓળખાતા દ્રવ્યો માટે તેનું મૂલ્ય નાનું અને ઋણ હોય છે. આ બીજા કિસ્સામાં \mathbf{M} અને \mathbf{H} વિરુદ્ધ દિશામાં હોય છે. સમીકરણો (5.16) અને (5.17) પરથી

$$\mathbf{B} = \mu_0 (1 + \chi) \mathbf{H} \quad (5.18)$$

$$\begin{aligned} &= \mu_0 \mu_r \mathbf{H} \\ &= \mu \mathbf{H} \end{aligned} \quad (5.19)$$

જ્યાં, $\mu_r = 1 + \chi$ એ પરિમાણ રહિત રાશિ છે, જેને પદાર્થની સાપેક્ષ ચુંબકીય (મેળેટીક) પરમિએબિલિટી કહે છે. તે સ્થિતવિદ્યુતશાખમાં આવતા ડાઈલેક્ટ્રોયિક અચળાંક સાથે સામ્યતા ધરાવે છે. પદાર્થની મેળેટીક પરમિએબિલિટી μ છે અને તેના પરિમાણ અને એકમ પણ μ_0 જેવા જ છે :

$$\mu = \mu_0 \mu_r = \mu_0 (1 + \chi)$$

ત્રણ રાશિઓ χ , μ_r અને μ એકબીજા સાથે સંકળાયેલી છે અને તેમાંથી કોઈ એક જ સ્વતંત્ર છે. જો એક આપેલ હોય તો બાકીની બેની સહેલાઈથી ગણતરી કરી શકાય છે.

ચુંબકત્વ અને દ્રવ્ય

**કોષ્ટક 5.2 300K તાપમાને કેટલાક તત્વોની મેળેટીક સસેપ્ટિબિલીટી
(MAGNETIC SUSCEPTIBILITY OF SOME ELEMENTS AT 300K)**

ડાયામેનેટિક દ્રવ્ય	χ	પેરામેનેટીક દ્રવ્ય	χ
બિસમથ	-1.66×10^{-5}	ઓલ્યુમિનિયમ	2.3×10^{-5}
તાંબુ	-9.8×10^{-6}	કેલ્લિયમ	1.9×10^{-5}
હીરો	-2.2×10^{-5}	કોમીયમ	2.7×10^{-4}
સોનું	-3.6×10^{-5}	લિથિયમ	2.1×10^{-5}
સીસુ	-1.7×10^{-5}	મેનેશિયમ	1.2×10^{-5}
પારો	-2.9×10^{-5}	નિઓબિયમ	2.6×10^{-5}
નાઈટ્રોજન (STP)	-5.0×10^{-9}	ઓક્સિજન (STP)	2.1×10^{-6}
ચાંદી	-2.6×10^{-5}	લેટિનમ	2.9×10^{-4}
સિલિકોન	-4.2×10^{-6}	ટંગસ્ટન	6.8×10^{-5}

ઉદાહરણ 5.10 એક સોલેનોઇડમાં ગર્ભમાંના (કોર) દ્રવ્યની સાપેક્ષ પરમિઅબિલિટી 400 છે. સોલેનોઇડના આંટા ગર્ભથી અવાહક વડે જુદા પાડેલા છે. આંટામાંથી 2A વિદ્યુતપ્રવાહ પસાર થાય છે. જો તેમાં એક મીટર દીઠ 1000 આંટા હોય, તો (a) H, (b) M, (c) B અને (d) મેળેટાઇઝીંગ પ્રવાહ I_m ની ગણતરી કરો.

ઉકેલ

(a) ક્ષેત્ર H, ગર્ભના દ્રવ્ય પર આધાર રાખે છે, અને તેનું મૂલ્ય
 $H = nI = 1000 \times 2.0 = 2 \times 10^3 \text{ A/m}$

(b) ચુંબકીયક્ષેત્ર Bનું મૂલ્ય

$$\begin{aligned} B &= \mu_r \mu_0 H \\ &= 400 \times 4\pi \times 10^{-7} (\text{N/A})^2 \times 2 \times 10^3 (\text{A/m}) \\ &= 1.0 \text{ T} \end{aligned}$$

(c) મેળેટાઇઝેશન

$$\begin{aligned} M &= (B - \mu_0 H) / \mu_0 \\ &= (\mu_r \mu_0 H - \mu_0 H) / \mu_0 = (\mu_r - 1)H = 399 \times H \\ &\approx 8 \times 10^5 (\text{A/m}) \end{aligned}$$

(d) મેળેટાઇઝીંગ વિદ્યુત પ્રવાહ I_M એ કોરની ગેરહાજરીમાં સોલેનોઇડના આંટાઓની અંદર પસાર કરવો જરૂરી વધારાનો વિદ્યુત પ્રવાહ છે જેથી કુલ વિદ્યુતપ્રવાહ કોરની હાજરીમાં મળતું Bનું મૂલ્ય આપે.

આથી $B = \mu_0 n(I + I_M)$

$I = 2A, B = 1 \text{ T}$ પરથી $I_M = 794 \text{ A.}$

ઉદાહરણ 5.10

5.6 દ્રવ્યોના ચુંબકીય ગુણધર્મો

(MAGNETIC PROPERTIES OF MATERIALS)

આગળના પરિચ્છેદમાં કરેલી ચર્ચા દ્રવ્યોને ડાયામેનેટિક, પેરામેનેટિક અથવા ફેરોમેનેટિક તરીકે વળ્ફૂત કરવામાં આપણાને મદદ દૃપ થશે. સસેપ્ટિબિલિટી χ ના સંદર્ભમાં, જો χ જ્ઞાણ હોય તો તે દ્રવ્ય ડાયામેનેટિક, χ -ધન અને નાનું હોય તો-પેરા, અને જો χ મોટું તથા ધન હોય તો ફેરોમેનેટિક છે.

કોષ્ટક 5.3 જોતાં આપણાને આ પદાર્થોને વિષે જ્ઞાન આવશે. અહીં પેરામેનેટિક પદાર્થોને જુદા પાડવામાં માટે એક નાની ધન સંખ્યા દ લેવામાં આવી છે. ત્યારબાદ આપણે આ પદાર્થોનો વિગતવાર અભ્યાસ કરીશું.

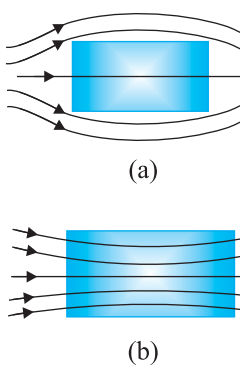
કોષ્ટક 5.3

ડાયામેનેટિક	પેરામેનેટિક	ફરોમેનેટિક
$-1 \leq \chi < 0$	$0 < \chi < \epsilon$	$\chi \gg 1$
$0 \leq \mu_r < 1$	$1 < \mu_r < 1 + \epsilon$	$\mu_r \gg 1$
$\mu < \mu_0$	$\mu > \mu_0$	$\mu \gg \mu_0$

5.6.1 ડાયામેનેટીઝમ (Diamagnetism)

ડાયામેનેટિક પદાર્થો એવા હોય છે કે જે બાધ્ય ચુંબકીયક્ષેત્રમાં મૂકતાં પ્રબળથી નબળા ચુંબકીયક્ષેત્ર તરફ ગતિ કરવાનું વલણ ધરાવે છે. બીજા શબ્દોમાં, ચુંબક જેમ લોંગને આકર્ષ છે તેનાથી વિપરિત તે ડાયામેનેટિક પદાર્થને અપાકર્ષ છે.

આકૃતિ 5.12(a)માં બાધ્ય ચુંબકીયક્ષેત્રમાં મુકેલો ડાયામેનેટિક પદાર્થનો ટુકડો દર્શાવ્યો છે. ક્ષેત્રરેખાઓ અપાકર્ષય છે એટલે કે બહાર તરફ ધકેલાય છે અને દ્રવ્યમાં ક્ષેત્ર (ની તીવ્રતા) ઘટે છે. મોટા ભાગના કિસ્સાઓમાં, કોષ્ટક 5.2માં દર્શાવ્યા મુજબ, આ ધારાએ 10^5 માં એક ભાગ જેટલો થોડોક જ હોય છે. જો અનિયમિત ચુંબકીયક્ષેત્રમાં મુકીએ તો આ (ડાયામેનેટિક) ટુકડો પ્રબળથી નબળા ક્ષેત્ર તરફ ખસશે.



આકૃતિ 5.12

(a) ડાયામેનેટિક,
(b) પેરામેનેટિક દ્રવ્ય પારે
ચુંબકીય ક્ષેત્ર રેખાઓની વર્તણું

ડાયામેનેટિક પદાર્થો એવા હોય છે કે જે જેમના માટે પરમાણુમાં પરિણામી ચુંબકીય ચાકમાત્રા (મેનેટીક મોમેન્ટ) ધરાવે છે. ડાયામેનેટિક પદાર્થો એવા હોય છે કે જે જેમના માટે પરમાણુમાં પરિણામી ચુંબકીય ચાકમાત્રા (મેનેટીક મોમેન્ટ) શૂન્ય હોય છે. ચુંબકીયક્ષેત્રની હાજરીમાં, જે ઈલેક્ટ્રોનોની ચુંબકીય ચાકમાત્રા (મેનેટીક મોમેન્ટ) તે જ દિશામાં હોય તે ધીમા પડે છે અને જેમની વિરુદ્ધ દિશામાં હોય તે ઝડપ પકડે છે. આવું લેન્જના નિયમ મુજબ પ્રેરિત વિરુદ્ધપ્રવાહના કારણે થાય છે, જે તમે પ્રકરણ-6માં ભણશો. આમ, આ પદાર્થ આપેલ ક્ષેત્રની વિરુદ્ધ દિશામાં ચોખ્ખી (પરિણામી) ચુંબકીય ચાકમાત્રા (મેનેટીક મોમેન્ટ) ઉત્પન્ન કરે છે અને તેથી અપાકર્ષય છે.

સુપર કંડક્ટર્સ અલગ પ્રકારના જ ડાયામેનેટિક પદાર્થો છે. તે ખૂબ નીચા તાપમાનોએ ઠંડી કરેલી ધાતુઓ છે જે પૂર્ણત: (Perfect) વાહકતા અને પૂર્ણત: ડાયામેનેટીઝમ એમ બંને દર્શાવે છે. અહીં ક્ષેત્ર રેખાઓ (દ્રવ્યની) સંપૂર્ણ બહાર ધકેલાય છે ! $\chi = -1$ અને $\mu_r = 0$. સુપર કંડક્ટર ચુંબકને અપાકર્ષ છે અને (ન્યૂટના ત્રીજા નિયમ મુજબ) ચુંબક દ્વારા અપાકર્ષય છે. સુપર કંડક્ટર્સમાં જોવા મળતી સંપૂર્ણ (Perfect) ડાયામેનેટીઝમની અસરને તેના શોધકના નામ પરથી, મિઝનર (Meissner) અસર કહે છે. સુપર કંડક્ટર ચુંબકોનો ઘણી જગ્યાએ લાભદાયક ઉપયોગ કરી શકાય છે, જેમકે, ચુંબકત્વથી ઊચકાઈને દોડતી અતિ ઝડપી (Superfast Trains) ટ્રેન.

5.6.2 પેરામેનેટીઝમ (Paramagnetism)

પેરામેનેટિક પદાર્થો એવા પદાર્થો છે કે જેને બાધ્ય ચુંબકીયક્ષેત્રમાં મૂકતાં નિર્બળ ચુંબકત્વ ધારણ કરે છે. તે નિર્બળ ચુંબકીયક્ષેત્રથી પ્રબળ ચુંબકીયક્ષેત્ર તરફ ગતિ કરવાનું વલણ ધરાવે છે, એટલે કે તેઓ ચુંબક તરફ નિર્બળ આકર્ષણ અનુભવે છે.

પેરામેનેટિક દ્રવ્યના વક્તિગત પરમાણુઓ (કે આધનો કે અણુઓ) તેમની પોતાની કાયમી ચુંબકીય દ્વિ-ધૂલી ચાકમાત્રા (મેનેટીક ડાયપોલ મોમેન્ટ) ધરાવે છે. આ પરમાણુઓની સતત તાપીય અસ્તિત્વસ્ત ગતિના કારણે પરિણામી મેનેટાઇઝેશન જોવા મળતું નથી. નીચા તાપમાને, પુરતા પ્રબળ એવા ભાવ્ય ચુંબકીયક્ષેત્ર B_0 ની હાજરીમાં, આ દરેક વક્તિગત પરમાણવીક દ્વિ-ધૂલી ચાકમાત્રા (ડાયપોલ મોમેન્ટ)ને B_0 ની દિશામાં ગોઈવાતી કરી શકાય છે. આફૂતિ 5.12(b)માં ભાવ્ય ક્ષેત્રની હાજરીમાં રહેલો એક પેરામેનેટીક દ્રવ્યનો ટુકડો દર્શાવ્યો છે. દ્રવ્યની અંદર ક્ષેત્રરેખાઓ સંક્રિત (બેગી) થવા માટે છે અને અંદરનું ક્ષેત્ર પ્રબળ થાય છે. મોટા ભાગના કિસ્સાઓમાં, કોષ્ટક 5.2માં દર્શાવ્યું છે તે મુજબ, આ વધારો 10^5 માં એક ભાગ જેટલો થોડો હોય છે. જ્યારે આ ટુકડાને અનિયમિત ચુંબકીયક્ષેત્રમાં મૂકવામાં આવે ત્યારે, તે નિર્બંધથી પ્રબળ ક્ષેત્ર તરફ ગતિ કરવા પ્રયત્ન કરે છે.

ઓયુમિનિયમ, સોલિયમ, કેલ્લિયમ, ઓક્સિજન (STP) અને કોપર કલોરાઇડ વગેરે કેટલાંક પેરામેનેટીક પદાર્થો છે. પ્રયોગો દ્વારા એ જાણવા મળ્યું છે કે પેરામેનેટીક દ્રવ્યનું મેનેટાઇઝેશન તેના નિરપેક્ષ તાપમાન (Absolute Temperature) T ના વસ્ત પ્રમાણમાં છે,

$$M = C \frac{B_0}{T} \quad [5.20(a)]$$

અથવા તેને સમતુલ્ય સમીકરણ (5.12) અને (5.17) પરથી

$$\chi = C \frac{\mu_0}{T} \quad [5.20(b)]$$

આને તેના શોધક પિયરી ક્યુરી (Pieree Curie 1859-1906)ના માનમાં ક્યુરીનો નિયમ કહે છે. અચળાંક C ને ક્યુરીનો અચળાંક કહે છે. આમ, પેરામેનેટીક દ્રવ્ય માટે χ અને μ , બંને ફક્ત દ્રવ્ય પર આધાર રાખતા નથી, પરંતુ (સામાન્યતઃ) તેના તાપમાન પર પણ આધાર રાખે છે. જો ક્ષેત્ર વધારવામાં કે તાપમાન ઘટાડવામાં આવે તો મેનેટાઇઝેશન તે સંતુપ્ત મૂલ્ય M_s જેટલું પહોંચે ત્યાં સુધી વધતું જાય છે, કે જે બિંદુએ બધા જ ડાયપોલ ભાવ્ય ક્ષેત્ર સાથે સંપૂર્ણ રીતે એક રેખસ્થ ગોઈવાઈ જાય છે. આનાથી આગળ ક્યુરીનો નિયમ [સમીકરણ (5.20)] લાગુ પડતો નથી.

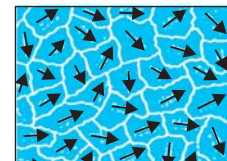
5.6.3 ફેરોમેનેટીઝમ (Ferromagnetism)

ફેરોમેનેટીક પદાર્થો એવા પદાર્થો છે, કે જેમને ભાવ્ય ચુંબકીયક્ષેત્રમાં મૂકતાં પ્રબળ ચુંબકત્વ ધારણ કરે છે. તેઓ નિર્બંધ ક્ષેત્રથી પ્રબળ ક્ષેત્ર તરફ જવાનું પ્રબળ વલણ ધરાવે છે, એટલે કે તેઓ ચુંબક પ્રત્યે પ્રબળ આકર્ષણ અનુભવે છે.

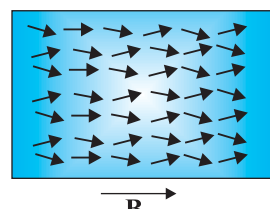
ફેરોમેનેટીક દ્રવ્યમાં વક્તિગત પરમાણુઓ (કે આધનો કે અણુઓ), પેરામેનેટીક પદાર્થની જેમ દ્વિ-ધૂલી ચાકમાત્રા (ડાયપોલ મોમેન્ટ) ધરાવે છે. આમ છતાં, તેઓ એકબીજા સાથે એવી રીતે આંતરક્રિયા કરે છે, કે જેથી એક સ્થૂલ વિસ્તાર જેને ડોમેઇન (પ્રભાવક્ષેત્ર-Domain) કહે છે તેમાં રહેલા આ ડાયપોલ તત્કાલ એક રેખસ્થ ગોઈવાઈ જાય છે. આ સહકારી અસરની સમજૂતી માટે કવોન્ટમ યંત્રશાસ્ત્રનો ઉપયોગ કરવો પડે અને તે આ પુસ્તકના કાર્યક્ષેત્રની બહાર છે. દરેક ડોમેઇન એક ચોખ્યું મેનેટાઇઝેશન ધરાવે છે. લાક્ષણિક ડોમેઇનનું પરિમાણ 1 mm જેવું છે અને આ ડોમેઇન લગભગ 10^{11} પરમાણુ ધરાવે છે. શરૂઆતમાં, અલગ અલગ ડોમેઇનનું મેનેટાઇઝેશન અસ્તિત્વસ્ત બદલાતું હોય છે અને તેથી સમગ્ર જથ્થાને કોઈ મેનેટાઇઝેશન હોતું નથી. આ હકીકત આફૂતિ 5.13(a)માં દર્શાવી છે. જ્યારે આપણે ભાવ્ય ચુંબકીયક્ષેત્ર B_0 લગાડીએ, ત્યારે ડોમેઇન્સ B_0 ની દિશામાં ગોઈવાય છે અને તે જ વખતે B_0 ની દિશામાં ગોઈવાયેલ ડોમેઇનની સાઈઝ (કદ) વધવા લાગે છે. ડોમેઇનોનું અસ્તિત્વ અને B_0 માં તેમની ગતિ



Magnetic materials, domain, etc. :
<http://www.ndt-ed.org/EducationResources/CommunityCollege/MagParticle/Physics/MagneticMats.htm>



(a)



(b)

આફૂતિ 5.13 (a) જુદી જુદી દિશાઓમાં ગોઈવાયેલા ડોમેઇન,
(b) એક રેખસ્થ ડોમેઇન

ભૌતિકવિજ્ઞાન

ખાલી અનુમાન (કાલ્પનિક) નથી. ફેરોમેનેટીક પદાર્થની ભૂકીના કલીલ દ્રાવણ (Suspension)નો છંટકાવ કરીને માઈકોસ્કોપ દ્વારા તેમને જોઈ શકાય છે. કલીલ દ્રાવણની ગતિ પણ જોઈ શકાય. આહૃતિ 5.12(b) આ ડેમેઇનો એક રેખસ્થ અને ભિન્નિત થઈને એક 'વિચાર' ડેમેઇન બનાવે ત્યારની સ્થિતિ દર્શાવે છે.

આમ, ફેરોમેનેટીક દ્રવ્યમાં ક્ષેત્રરેખાઓ ખૂબ જ સંકેન્દ્રિત (ગીય) હોય છે. અનિયમિત ચુંબકીયક્ષેત્રમાં, આ પદાર્થ પ્રબળ ક્ષેત્રના વિસ્તાર તરફ જવા પ્રયત્ન કરે છે. જ્યારે બાધ્ય ક્ષેત્ર દૂર કરવામાં આવે ત્યારે શું થાય છે તે જોઇને આપણાને નવાઈ લાગે. કેટલાક ફેરોમેનેટીક પદાર્થોમાં ચુંબકત્વ (મેનેટાઈઝેશન) ટકી રહે છે. આવા પદાર્થોને સખત ચુંબકીય દ્રવ્યો (Hard Magnetic Materials) કે હાર્ડ ફેરોમેનેટ્સ કહે છે. એલિન્કો (Alnico), એક મિશ્ર ધાતુ છે, જે લોખંડ, એલ્યુમિનિયમ, નિકલ, કોબાલ્ટ અને તાંબામાંથી બને છે, તે આ પ્રકારનું (ફેરોમેનેટીક) દ્રવ્ય છે. કુદરતી રીતે મળી આવતો લોડસ્ટોન (Lodestone) બીજો આવો પદાર્થ છે. આવા પદાર્થો કાયમી ચુંબકો બનાવે છે, જે કંપાસની સોય અને તેવા અન્ય સાધનોમાં વપરાય છે. બીજી બાજુ, એવા ફેરોમેનેટીક દ્રવ્યોનો વર્ગ પણ છે કે જેમાં બાધ્ય ક્ષેત્ર દૂર કરતાં મેનેટાઈઝેશન અદશ્ય થઈ જાય છે. નરમ લોખંડ એક આવો પદાર્થ છે. યોગ્ય રીતે આવા પદાર્થોને નરમ ફેરોમેનેટીક પદાર્થો કહે છે. એવા ઘણા તત્વો છે જે ફેરોમેનેટીક છે, જેમકે, લોખંડ, કોબાલ્ટ, નિકલ, ગેડોલિનિયમ વગરે. તેમની સાપેક્ષ પરમિઅબિલિટી > 1000 હોય છે !

ફેરોમેનેટીક ગુણધર્મ તાપમાન પર આધાર રાખે છે. પુરતા ઉંચા તાપમાને, ફેરોમેનેટ પેરામેનેટ બને છે. ડેમેઇન માળખું તાપમાન (વધવા) સાથે વિખેરાઈ (વિભાજિત થઈ) જાય છે. તાપમાન સાથે મેનેટાઈઝેશનનું આમ લુપ્ત થવું કમશા: હોય છે ! આ અવસ્થા ફેરફાર આપણાને ઘન સ્ફીટીકના પિગલનની યાદ કરાવે છે. ફેરોમેનેટીઝમથી પેરામેનેટીઝમની સંકાન્તિ વખતના તાપમાનને ક્યુરી તાપમાન T_c કહે છે. કોષ્ટક 5.4માં કેટલાક ફેરોમેનેટ્સનું ક્યુરી તાપમાન દર્શાવ્યું છે. ક્યુરી તાપમાનથી ઉપરના તાપમાને, એટલે કે, પેરામેનેટીક અવસ્થામાં સસેન્ટિબિલીટી આ મુજબ દર્શાવાય છે,

$$\chi = \frac{C}{T - T_c} \quad (T > T_c) \quad (5.21)$$

કોષ્ટક 5.4 કેટલાક ફેરોમેનેટીક દ્રવ્યોનું ક્યુરી તાપમાન T_c

દ્રવ્ય	T_c (K)
કોબાલ્ટ	1394
આર્થર્ન (લોખંડ)	1043
Fe_2O_3	893
નિકલ	631
ગેડોલિનિયમ	317

ઉદાહરણ 5.11 ફેરોમેનેટીક આર્થર્ન(લોખંડ)માં એક ડેમેઇન સમધન આકારનું છે જેની બાજુઓ 1 μm લંબાઈની છે. આ ડેમેઇનમાં રહેલા આર્થર્ન પરમાણુઓની સંખ્યા, ડેમેઇનની મહત્તમ શક્ય એવી ડાયપોલ મોમેન્ટ અને ડેમેઇનનું મેનેટાઈઝેશન શોધો. આર્થર્નનું પરમાણુવીય દળ 55 g/mole અને તેની ઘનતા 7.9 g/cm^3 છે. દરેક આર્થર્ન પરમાણુની ડાયપોલ મોમેન્ટ $9.27 \times 10^{-24} \text{ A m}^2$ છે તેમ ધારો.

ઉદાહરણ 5.11



ચુંબકત્વ અને દ્રવ્ય

ઉકેલ સમધન ડોમેઇનનું કદ

$$V = (10^{-6} \text{ m})^3 = 10^{-18} \text{ m}^3 = 10^{-12} \text{ cm}^3$$

$$\text{તેનું દળ} = કદ \times ધનતા = 7.9 \text{ g cm}^{-3} \times 10^{-12} \text{ cm}^3 = 7.9 \times 10^{-12} \text{ g}$$

એવોગોડો અંક 6.02×10^{23} તથા આર્યની પરમાણુઓનું દળ 55 g/mole છે. આથી,

ડોમેઇનમાં રહેલા પરમાણુઓની સંખ્યા

$$N = \frac{7.9 \times 10^{-12} \times 6.023 \times 10^{23}}{55} = 8.65 \times 10^{10} \text{ પરમાણુઓ.}$$

જ્યારે બધી જ પરમાણુવીક ચાકમાત્રા (મોમેન્ટ) પૂર્ણતા: એક રેખસ્થ થાય (જે વાસ્તવિક

નથી) ત્યારે મહત્તમ શક્ય દ્વિ-પ્રુવી ચાકમાત્રા (ડાયપોલ મોમેન્ટ) m_{\max} મળે. આથી,

$$m_{\max} = (8.65 \times 10^{10}) \times (9.27 \times 10^{-24}) = 8.0 \times 10^{-13} \text{ Am}^2$$

પરિણામી મેનેટાઈઝન

$$M_{\max} = m_{\max} / \text{ડોમેઇનનું કદ}$$

$$= 8.0 \times 10^{-13} \text{ Am}^2 / 10^{-18} \text{ m}^3 = 8.0 \times 10^5 \text{ Am}^{-1}$$

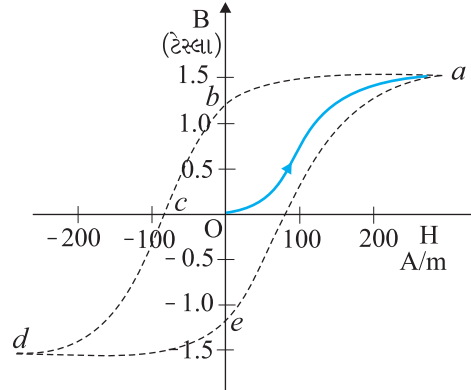
ફેરોમેનેટીક પદાર્થોમાં **B** અને **H** વચ્ચેનો સંબંધ જટિલ છે. તે ઘણીવાર રેખીય નથી હોતો અને તે ફક્ત આપેલ (ફેરોમેનેટીક) નમૂનાના ચુંબકીય ભૂતકાળ (તે સમય પહેલાં કેવું અને કેટલું ચુંબકત્વ ધરાવતો હતો તેના) પર આધાર રાખે છે. આકૃતિ 5.14માં આવા દ્રવ્ય મેનેટાઈઝ કરવાના એક ચક દરમિયાન તેની વર્તણુંક દર્શાવી છે. ધારોકે શરૂઆતમાં આ દ્રવ્ય મેનેટાઈઝ નથી. આપણે આ દ્રવ્યને સોલેનોઇડમાં મુકીએ અને સોલેનોઇડમાં વિદ્યુતપ્રવાહ વધારીએ. આ દ્રવ્યમાં ચુંબકીય ક્ષેત્ર B વધવા લાગશે અને વક Oaમાં દર્શાવ્યા મુજબ સંતૃપ્ત થશે. આ વર્તણુંક દર્શાવે છે કે ડોમેઇન એક રેખસ્થ થતો જાય છે અને જ્યાં સુધી વધવું શક્ય હોય ત્યાં સુધી એકબીજામાં ભગતા જાય છે. આનાથી આગળ વિદ્યુતપ્રવાહ (અને તેથી ચુંબકીય (મેનેટીક) તીવ્રતા H પણ) વધારવાનો કંઈ અર્થ નથી. ત્યારબાદ, આપણે H ઘટાડી અને શૂન્ય સુધી લઈ જઈએ. H = 0 પાસે B ≠ 0 જે વક ab વડે દર્શાવ્યું છે. H = 0 પાસે Bના મૂલ્યને રિટેન્ટિવિટી (Retentivity કે Remanence) કહે છે. આકૃતિ 5.14માં, $B_R \sim 1.2 \text{ T}$, જ્યાં R રિટેન્ટિવિટી દર્શાવે છે. બાબુ ચાલક ક્ષેત્ર દૂર કર્યું (શૂન્ય) હોવા છતાં ડોમેઇન્સ સંપૂર્ણપણે અસ્તવ્યસ્ત થઈ જતા નથી. ત્યાર બાદ, સોલેનોઇડમાં વિદ્યુતપ્રવાહ (ની દિશા) ઉલટાવવામાં આવે છે અને ધીમે ધીમે વધારવામાં આવે છે. જ્યાં સુધી અંદરનું પરિણામી ક્ષેત્ર શૂન્ય ન થાય ત્યાં સુધી કેટલાક ડોમેઇન ઉલટાઈ જાય છે. આ હકીકત વક bc વડે દર્શાવી છે. c પાસે Hનું આ મૂલ્ય કોર્સિવિટી (Coercivity) કહેવાય છે. આકૃતિ 5.14માં $H_c \sim 90 \text{ A m}^{-1}$. ઉલટાવેલા (વિરુદ્ધ દિશાના) વિદ્યુતપ્રવાહનું મૂલ્ય વધતું જાય ત્યારે ફરીથી સંતૃપ્ત સ્થિતિ મળે છે. આ સ્થિતિ વક cd વડે દર્શાવી છે. સંતૃપ્ત ચુંબકીયક્ષેત્ર $B_s \sim 1.5 \text{ T}$ છે. ત્યાર બાદ, વિદ્યુતપ્રવાહ ઘટાડવામાં આવે છે (વક de) અને (ત્યારબાદ) ઉલટાવવામાં આવે છે (વક ea). આ ચક ફરીથી પુનરાવર્તન પામે છે. નોંધો કે H ઘટાડીએ તો પણ વક Oa ફરીથી રચાતો નથી. Hના આપેલ મૂલ્ય માટે Bનું મૂલ્ય અનન્ય મળતું નથી. પરંતુ તે પદાર્થના અગાઉના ઈતિહાસ (આગળના મૂલ્ય B) પર આધાર રાખે છે. આ ઘટના હિસ્ટોરીસિસ કહેવાય છે. હિસ્ટોરીસિસ શબ્દનો અર્થ પાછળ પડવું (ઈતિહાસ નહીં).

5.7 કાયમી ચુંબકો અને વિદ્યુતચુંબકો

(PERMANENT MAGNETS AND ELECTROMAGNETS)

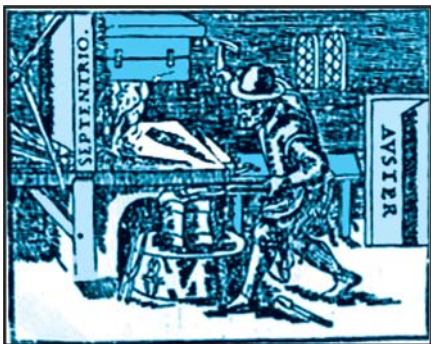
જે દ્રવ્યો ઓરડાના તાપમાને લાંબા સમય ગાળા સુધી ફેરોમેનેટીક ગુણધર્મ જાળવી રાખતા હોય તે કાયમી ચુંબકો કહેવાય છે. કાયમી ચુંબકો ઘણી રીતે બનાવી શકાય છે. કોઈ આર્યની (લોખંડ)ના સળીયાને

દ્રવ્ય 5.11



આકૃતિ 5.14 ફેરોમેનેટીક પદાર્થી માટે મેનેટીક હિસ્ટોરીસિસ લૂપ એ B-H વક છે.

ભૌતિકવિજ્ઞાન



આકૃતિ 5.15 એક લુહાર (ઉત્તર-દક્ષિણ દિશામાં

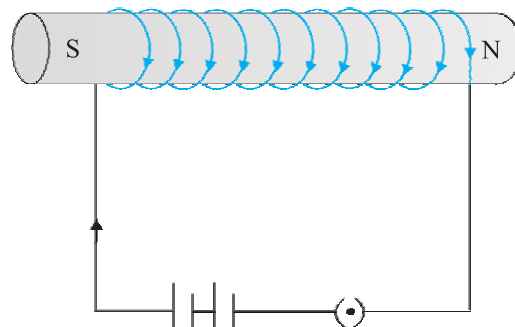
ચાખેલ લાલઘૂમ (ગરમ) લોખંડને હથોવીથી
વારંવાર ઠપકારીને કાયમી ચુંબક બનાવી રહો છે.
આ આકૃતિ વિલિયમ જિલ્બર્ટ નામના લેખક દ્વારા
ગ્રા-મેનેટ નામના ઈ.સ. 1600માં પ્રસિદ્ધ કરેલ
લેખમાં આપેલ ઉદાહરણ પરથી લેવામાં આવેલ
છે, જે હંદેનના રાણી એલિજાબેથના વડા ડોક્ટર (Court Physician) હતા.

ઉત્તર-દક્ષિણ દિશામાં રાખીને વારંવાર ટીપે (ઠપકારે) તો કાયમી ચુંબક બને. આ પદ્ધતિ આકૃતિ 5.15માં દર્શાવી છે. આ ઉદાહરણ 400 વર્ષ જૂના પુસ્તકમાંથી એમ દર્શાવવા માટે લીધું છે કે કાયમી ચુંબકો બનાવવા એ બહુ જુની કણા (કારીગરી) છે. જો કોઈ લોખંડના ટુકડાને પકડી રાખવામાં આવે અને તેના એક છેડા પર ગાજિયા ચુંબકને ઘણી વખત એક ૪ દિશામાં ઘસવામાં આવે તો કાયમી ચુંબક બને.

કાયમી ચુંબક બનાવવાનો એક કાર્યક્રમ (ઉત્તમ) ઉપાય એ છે કે, ફેરોમેનેટીક સળીયાને સોલેનોઇડમાં મુકીને વિદ્યુતપ્રવાહ પસાર કરવો. સોલેનોઇડનું ચુંબકીયક્ષેત્ર સળીયાને ચુંબકીત કરે છે.

હિસ્ટરિસિસ વક (આકૃતિ 5.14) પરથી આપણને કાયમી ચુંબકો બનાવવા માટે યોગ્ય દ્રવ્યો શોધવામાં અનુકૂળતા થાય. આવા દ્રવ્યને વધુ (મોટી) રીટેન્ટીવિટી હોવી જોઈએ કે જેથી ચુંબક પ્રબળ બને અને વધુ (મોટી) કોઅર્સિવિટી હોવી જોઈએ કે જેથી બાદ ચુંબકીયક્ષેત્રોના ફેરફારો, તાપમાનના ફેરફારો કે નાના યાંત્રિક ભંગાણના કારણે તેનું મેળેટાઈઝેશન ભૂસાઈ (નાબૂદ) ન થઈ જાય. ઉપરાંત આ દ્રવ્યને મોટી પારગચ્છતા (પરમિઅબિલિટી) હોવી જોઈએ. સ્ટીલ એક જાણીતો અનુકૂળ વિકલ્પ છે. નરમ લોખંડની સરખામણીમાં તેની રીટેન્ટીવિટી થોડીક જ ઓછી છે પરંતુ તે નરમ લોખંડની ખૂબ નાની કોઅર્સિવિટીની સરખામણીમાં ખૂબ મોટી કોઅર્સિવિટી ધરાવે છે. કાયમી ચુંબકો બનાવવા માટે બીજા યોગ્ય દ્રવ્યો અલ્નિકો (Alnico), કોબાલ્ટ સ્ટીલ અને ટીકોનાલ (Ticonal) છે.

વિદ્યુત ચુંબકોના ગર્ભ (કોર) ફેરોમેનેટીક દ્રવ્યોના બનેલા હોય છે, જે મોટી પરમિઅબિલિટી અને ઓછી રીટેન્ટીવિટી ધરાવે છે. વિદ્યુત ચુંબક માટે નરમ લોખંડ યોગ્ય દ્રવ્ય છે. સોલેનોઇડમાં નરમ લોખંડનો સળીયો મુકી અને વિદ્યુતપ્રવાહ પસાર કરતાં આપણે સોલેનોઇડનું ચુંબકત્વ હજાર ગણું વધારી શકીએ. જ્યારે આપણે સોલેનોઇડમાંથી પસાર થતો વિદ્યુતપ્રવાહ બંધ કરી દઈએ ત્યારે તેનું ચુંબકત્વ પણ શૂન્ય થઈ જાય છે. કારણ કે નરમ લોખંડને ઓછી રીટેન્ટીવિટી હોય છે. આ વ્યવસ્થા આકૃતિ 5.16માં દર્શાવી છે.



આકૃતિ 5.16 સોલેનોઇડના કોરમાં આવેલું નરમ લોખંડ વિદ્યુત ચુંબક તરીકે વર્તે છે.

કેટલાક ઉપયોગોમાં, દ્રવ્ય લાંબા સમય સુધી ચુંબકીકરણના ac ચક્કમાંથી પસાર થાય છે. આવું ટ્રાન્સફોર્મરના ગર્ભમાં (કોરમાં) અને ટેલીફોનના ડાયાફામમાં થાય છે. આવા દ્રવ્યોના હિસ્ટરિસિસ વક સાંકડા હોવા જોઈએ, પરિણામે ઊર્જાનો વ્યય અને તાપમાનનો વધારો ઓછો થાય છે. દ્રવ્યને વધુ (મોટી) અવરોધકતા (Resistivity) હોવી જોઈએ કે જેથી ઘૂમરી પ્રવાહ (Eddy Current)ને લીધે વ્યય ઓછો થાય. ઘૂમરી પ્રવાહ વિશે તમે પ્રકરણ-૬માં ભાષણો.

વિદ્યુત ચુંબકો વિદ્યુત બેલ (વંટડી)માં, લાઉડસ્પિકરમાં અને ટેલિફોન ડાયાફામમાં વપરાય છે. મોટા ઈલેક્ટ્રો મેનેટેસ, કેઈનમાં મોટા યંત્રો તથા મોટા જથ્થામાં લોખંડ અને સ્ટીલ ઊચ્ચકવા માટે વપરાય છે.

ભારતના ચુંબકીયક્ષેત્રનો નકશો બનાવવો (MAPPING INDIA'S MAGNETIC FIELD)

ધરતીમાં ખનિજની ખાપણની શોધખોળ માટે, દૂર સંચાર (સંદેશાવ્યવહાર) અને વહાણના દિશા સૂચનમાં ઉપયોગી હોવાથી મોટા ભાગના દેશો દ્વારા પૃથ્વીના ચુંબકીયક્ષેત્રનો નકશો બનાવવાનું કામ ભૌગોલિક નકશાના કામ જેટલી ચોકસાઈથી કરવામાં આવે છે. ભારતમાં દક્ષિણમાં ત્રિવેન્દ્રમ (અત્યારનું તિરુવનન્તપુરમ) થી શરૂ કરીને ઉત્તરમાં ગુલમર્ગ સુધી લગભગ ડાન જેટલી વેધશાળાઓ કાર્યરત છે. આ વેધશાળાઓ (Observatories) કોલાબા, મુંબઈમાં આવેલા ઈન્ડીયન ઇન્સ્ટીટ્યુટ ઓફ જીઓમેનેટીઝમ (IIG)નાં તાબા હેઠળ કામ કરે છે. IIG એ કોલાબા અને અલીબાગ વેધશાળાઓમાંથી વિકસી હતી અને 1971માં વિષિવત્ત સ્થપાઈ હતી. જમીન પર, સમુદ્રમાં અને અવકાશમાં ભૂચુંબકીયક્ષેત્રો અને તેમના ફરજારોની સતત દેખરેખ રાખવાનું કાર્ય IIG (દેશભરમાં ફેલાયેલી વેધશાળાઓ મારફત) કરે છે. ઓછા એન્ડ નેચરલ ગેસ કોર્પોરેશન (ONGC), નેશનલ ઇન્સ્ટ્ટીટ્યુટ ઓફ ઓસનોલોજી (NIO) અને ઈન્ડીયન સ્પેસ રીસર્ચ ઓર્ગનાઇઝેશન (ISRO)ને તે સેવા પૂરી પાડે છે. તે વૈશ્વિક નેટવર્કનો એક ભાગ છે. જે સતત ભૂચુંબકીય માહિતી સાથે અધ્યતન (Update) રહે છે. હવે ભારત પાસે એક કાયમી સ્થળ ગંગોત્રી છે.

સારાંશ

- ચુંબકત્વનું વિજ્ઞાન ઘણું જૂનું છે. જુના જમાનાથી એ જાળીતું છે કે ચુંબકીય પદાર્થો ઉત્તર-દક્ષિણ દિશા બતાવે છે; સજાતીય ચુંબકીય-ધ્રુવો અપાકર્ષ છે અને વિજ્ઞાતીય આકર્ષ છે; તથા ગજિયા ચુંબકના બે ટુકડા કરતાં, આપણાને બે નાના સ્વતંત્ર ચુંબક મળે છે. ચુંબકીય ધ્રુવો જુદા પાડી શકતા નથી.
- જ્યારે દ્વિ-ધ્રુવી ચાકમાત્રા (ડાયપોલ મોમેન્ટ) \mathbf{m} ધરાવતા ગજિયા ચુંબકને નિયમિત ચુંબકીયક્ષેત્ર \mathbf{B} માં મુકવામાં આવે છે ત્યારે,
 - તેના પર લાગતું બળ શૂન્ય હોય છે,
 - તેના પર લાગતું ટોક $\mathbf{m} \times \mathbf{B}$ હોય છે,
 - તેની સ્થિતિઓર્જ - $\mathbf{m} \cdot \mathbf{B}$ હોય છે, જ્યાં આપણે એવું નક્કી કર્યું છે કે \mathbf{m} એ \mathbf{B} ને લંબરૂપે ગોઠવાયેલ હોય ત્યારે ઊર્જા શૂન્ય છે.
- લંબાઈ અને દ્વિ-ધ્રુવી ચાકમાત્રા (મેનેટીક મોમેન્ટ) \mathbf{m} ધરાવતો ગજિયો ચુંબક ધારો. તેના મધ્યબિંદુથી r અંતરે, જ્યાં $r >> l$, ગજિયા ચુંબક વડે ઉદ્ભવતું ચુંબકીયક્ષેત્ર \mathbf{B}

$$\mathbf{B} = \frac{\mu_0 \mathbf{m}}{2\pi r^3} \quad (\text{અક્ષ પર})$$

$$= -\frac{\mu_0 \mathbf{m}}{4\pi r^3} \quad (\text{વિષુવરેખા પર})$$

- ચુંબકત્વ માટે ગોસનો નિયમ દર્શાવે છે કે કોઈ પણ બંધ પૃષ્ઠમાંથી પસાર થતું ચોખ્યું ફૂલક્સ શૂન્ય હોય છે.

$$\Phi_B = \sum_{\substack{\text{બંધા પૃષ્ઠાની \\ ખેડો ક્ષેત્રફળ \\ ખંડો \Delta S \text{ પર}}} \mathbf{B} \cdot \Delta \mathbf{S} = 0$$

- પૃથ્વીનું ચુંબકીયક્ષેત્ર, તેના કેન્દ્રમાં રહેલા (કાલ્યનિક) ચુંબકીય દ્વિ-ધ્રુવી (ડાયપોલ)ના ક્ષેત્ર જેવું હોય છે. ભૌગોલિક ઉત્તરધ્રુવ પાસે આવેલા (ચુંબકીય) ધ્રુવને ઉત્તર ચુંબકીય ધ્રુવ કહે છે. તે જ રીતે, ભૌગોલિક દક્ષિણધ્રુવ પાસે આવેલા (ચુંબકીય) ધ્રુવને દક્ષિણ ચુંબકીય ધ્રુવ કહે છે. આ ડાયપોલ પૃથ્વીની ભ્રમણ અક્ષ સાથે નાનો ખૂણો બનાવતી દિશામાં ગોઠવાયેલો છે. પૃથ્વીની સપાટી પર ચુંબકીયક્ષેત્રનું માન $\approx 4 \times 10^{-5} \text{ T}$ છે.

ભૌતિકવિજ્ઞાન

6. પૃથ્વીની સપાટી પાસે ચુંબકીયક્ષેત્ર દર્શાવવા ત્રણ રાશિઓની જરૂર પડે છે – સમક્ષિતિજ ઘટક, ચુંબકીય ડેક્લીનેશન, અને ચુંબકીય તીપ (નમનકોણ). આ બધા પૃથ્વીના ચુંબકીયક્ષેત્રના તત્ત્વો (ઘટકો) કહેવાય છે.
7. બાબુ ચુંબકીયક્ષેત્ર \mathbf{B}_0 માં મુકેલ એક પદાર્થ ધારો. ચુંબકીય તિત્રતા આ રીતે વ્યાખ્યાયિત થાય છે.
- $\mathbf{H} = \mathbf{B}_0/\mu_0$
પદાર્થનું મેનેટાઈઝેશન \mathbf{M} એટલે એકમ કદ દીઠ દ્વિ-ધ્રુવી ચાકમાત્રા (ડાયપોલ મોમેન્ટ). પદાર્થમાં ચુંબકીયક્ષેત્ર \mathbf{B}
- $\mathbf{B} = \mu_0(\mathbf{H} + \mathbf{M})$ છે.
8. રેખીય દ્રવ્ય માટે $\mathbf{M} = \chi \mathbf{H}$. આથી $\mathbf{B} = \mu \mathbf{H}$ અને χ ને દ્રવ્યની ચુંબકીય સસેટ્રિબિલિટી કહે છે. ત્રણ રાશિઓ χ , સાપેક્ષ ચુંબકીય પારગમ્યતા (પરમિઅબિલિટી) μ_r , અને ચુંબકીય પરમિઅબિલિટી μ , આ રીતે સંકળાપેલા છે :
- $\mu = \mu_0 \mu_r$
 $\mu_r = 1 + \chi$
9. ચુંબકીય પદાર્થોને સામાન્ય રીતે ત્રણ ભાગમાં વહેંચવામાં આવે છે : ડાયામેનેટીક, પેરામેનેટીક અને ફેરોમેનેટીક.
ડાયામેનેટીક પદાર્થો માટે χ જ્ઞાણ અને નાનું હોય છે જ્યારે પેરામેનેટીક પદાર્થો માટે તે ધન અને નાનું હોય છે. ફેરોમેનેટીક પદાર્થો માટે χ નું મૂલ્ય મોટું હોય છે અને \mathbf{B} અને \mathbf{H} વચ્ચેના અરેખીય સંબંધ વડે તેમની વિલક્ષણતા રજૂ થાય છે.
10. જે દ્રવ્યો, ઓરડાના તાપમાને, તેમના ફેરોમેનેટીક ગુણધર્મને લાંબા સમયગાળા સુધી જાળવી રાખે તેમને કાયમી ચુંબકો કહેવાય.

ભૌતિક રાશિ	સંશા	પ્રકાર	પરિમાણ	એકમ	નોંધ
મુક્ત અવકાશની પારગમ્યતા (પરમિઅબિલિટી)	μ_0	અદિશ	$[MLT^{-2} A^{-2}]$	$T m A^{-1}$	$\mu_0/4\pi = 10^{-7}$
ચુંબકીયક્ષેત્ર, ચુંબકીય ઈન્ડક્ષન (પ્રેરણ) ચુંબકીય ફ્લક્સ ઘનતા	\mathbf{B}	સદિશ	$[MT^{-2} A^{-1}]$	T (tesla)	10^4 G (gauss) = 1 T
ચુંબકીય ચાકમાત્રા	\mathbf{m}	સદિશ	$[L^{-2} A]$	$A m^2$	
ચુંબકીય ફ્લક્સ	Φ_B	અદિશ	$[ML^2 T^{-2} A^{-1}]$	W (weber)	$W = T m^2$
મેનેટાઈઝેશન	\mathbf{M}	સદિશ	$[L^{-1} A]$	$A m^{-1}$	$\frac{\text{ચુંબકીય ચાકમાત્રા}}{કદ}$
ચુંબકીય તીત્રતા, ચુંબકીયક્ષેત્ર પ્રબળતા	\mathbf{H}	સદિશ	$[L^{-1} A]$	$A m^{-1}$	$\mathbf{B} = \mu_0(\mathbf{H} + \mathbf{M})$
ચુંબકીય સસેટ્રિબિલિટી	χ	અદિશ	-	-	$\mathbf{M} = \chi \mathbf{H}$
સાપેક્ષ ચુંબકીય પારગમ્યતા (પરમિઅબિલિટી)	μ_r	અદિશ	-	-	$\mathbf{B} = \mu_0 \mu_r \mathbf{H}$
ચુંબકીય પારગમ્યતા (પરમિઅબિલિટી)	μ	અદિશ	$[MLT^{-2} A^{-2}]$	$T m A^{-1}$ $N A^{-2}$	$\mu = \mu_0 \mu_r$ $\mathbf{B} = \mu \mathbf{H}$

ગહન વિચારણાના મુદ્દાઓ

1. ઇ.સ. 1800 પછી ગતિ કરતા વિદ્યુતભારો/વિદ્યુતપ્રવાહોના પદમાં ચુંબકીય ઘટના વિશે સંતોષજનક સમજણ મળી હતી. પરંતુ ચુંબકોના દિશા સૂચક ગુણધર્મનો ઉપયોગ તો વૈજ્ઞાનિક સમજણ સ્થાપિત થઈ તેના પહેલાં 2000 વર્ષથી થતો હતો. આમ ઈજનેરી ઉપયોગો માટે વૈજ્ઞાનિક સમજણ હોવી જ જોઈએ એમ જરૂરી નથી. આદર્શ રીતે, વિજ્ઞાન અને એન્જિનિયરિંગ (ઇજનેરી), એક બીજાથી આગળ રહી મદદ કરતા એમ સાથે-સાથે જ ચાલે છે.
2. ચુંબકીય એક ધ્રુવી અસ્તિત્વ ધરાવતી નથી. જો તમે ચુંબકના બે અડધા ભાગ કરો, તો તમને બે નાના ચુંબકો મળે, બીજી બાજુ, અલગ કરેલા ધન અને ઋણ વિદ્યુતભારો અસ્તિત્વ ધરાવે છે. વિદ્યુતભારનો નાનામાં નાનો એકમ અસ્તિત્વ ધરાવે છે, જે ઈલેક્ટ્રોનનો વિદ્યુતભાર છે જેનું મૂલ્ય $|V| = 1.6 \times 10^{-19}$ C છે. બીજા બધા વિદ્યુતભારો આ નાનામાં નાના એકમ વિદ્યુતભારના પૂર્ણાંક ગુણકના રૂપમાં હોય છે. બીજા શબ્દોમાં વિદ્યુતભાર ક્વોન્ટમીકૃત છે. આપણે જાણતા નથી કે શા માટે ચુંબકીય એકધ્રુવીઓ અસ્તિત્વ ધરાવતી નથી અથવા શા માટે વિદ્યુતભાર ક્વોન્ટાઈજ્ડ હોય છે.
3. ચુંબકીય એક ધ્રુવી અસ્તિત્વ ધરાવતી ન હોવાની હકીકતનું એક પરિણામ એ છે કે ચુંબકીય ક્ષેત્રરેખાઓ સતત હોય છે અને બંધ ગાળા રચે છે. આની વિરુદ્ધ, સ્થિત વિદ્યુતની બળ રેખાઓ ધન વિદ્યુતભારમાંથી નીકળે છે અને ઋણ વિદ્યુતભારમાં અંત પામે છે. (અથવા અનંત તરફ જતાં ક્ષય પામતી જાય છે.)
4. પૃથ્વીનું ચુંબકીયક્ષેત્ર તેમાં રહેલા ખૂબ મોટા ગજિયા ચુંબકના કારણે નથી. પૃથ્વીનું અંદરનું ગર્ભ (કોર) ગરમ અને પિગાળું છે. કદાચ આ કોરમાં સંવાહી પ્રવાહો પૃથ્વીના ચુંબકીયક્ષેત્ર માટે કારણભૂત હોઈ શકે. કઈ ‘ડાઈનો’ અસર આ પ્રવાહોને જાળવી રાખે છે, અને શા માટે પૃથ્વીનું ચુંબકીયક્ષેત્ર લાખો વર્ષોના ગાળામાં ઉલટાઈ જતું હોય છે તે આપણે જાણતા નથી..
5. મેનેટીક સસેસ્ટ્રિબિલીટી જના મૂલ્યમાં બહુ થોડો તફાવત, પણ સંપૂર્ણ રીતે અલગ પ્રકારની વર્તણૂક ઉપાયે છે : ડાયામેનાટિક વિરુદ્ધ પેરામેનેટીક. ડાયામેનેટીક પદાર્થો માટે $\chi = -10^5$ જાયારે પેરામેનેટીક પદાર્થો માટે $\chi = +10^5$.
6. સંપૂર્ણ ડાયામેનેટનું અસ્તિત્વ છે, જેને સુપર કંડકર્ટ્સ કહે છે. આ બહુ નીચા તાપમાનોએ રહેલી ધાતુઓ છે. આ ડિસ્સામાં $\chi = -1, \mu_r = 0, \mu = 0$. બાદ્ય ચુંબકીયક્ષેત્ર સંપૂર્ણ રીતે બહાર ધકેલાય છે. રસપ્રદ વાત એ છે કે આ પદાર્થ સંપૂર્ણ વાહક છે. આમ ઇતાં કોઈ પ્રયત્નિત સિદ્ધાંત અસ્તિત્વમાં નથી કે જે આ બંને ગુણધર્મને સાંકળતો હોય. બાઈન, કુપર અને શ્રીફર (Bardeen, Copper and Schriffer (BCS Theory)) એ આપેલો કવોન્ટમ યંત્રશાસ્કનો સિદ્ધાંત આ અસરોને સમજાવે છે. BCS સિદ્ધાંત 1957માં 2જૂ કરવામાં આવ્યો હતો જેને 1970માં ભौતિકવિજ્ઞાનના નોભેલ પારિતોષિક દ્વારા સન્માન પ્રાપ્ત થયું હતું.
7. મેનેટીક ડિસ્ટરોસિસની ઘટના, પદાર્થોના તે જ પ્રકારના સ્થિતિસ્થાપક ગુણધર્મોને લગતી વર્તણૂકને મળતી આવે છે. વિકૃતિ (સ્ટ્રેટ્ઝન) એ પ્રતિબળ (સ્ટ્રેસન) સપ્રમાણ ન પણ હોઈ શકે : અહીં, **H** અને **B** (કે **M**) રેખીય રીતે સંકળાયેલા નથી. પ્રતિબળ-વિકૃતિ (સ્ટ્રેસ-સ્ટ્રેટ્ઝન) વક ડિસ્ટરિસિસની ઘટના દર્શાવે છે અને તેના વડે ધેરાયેલું ક્ષેત્રફળ એકમ કદ દીઠ ઊર્જાનો વય દર્શાવે છે. તે જ પ્રકારનું અર્થઘટન B-H મેનેટીક હિસ્ટરિસીસ વક માટે આપી શકાય.
8. ડાયામેનેટીકમ સાર્વત્રિક છે. તે બધા પદાર્થોમાં હાજર હોય છે. પરંતુ જો પદાર્થ પેરા-કે ફેરોમેનેટીક પ્રકારનો હોય તો તે નબળું અને પરખવું (Detect) અધરસ હોય છે.
9. આપણે પદાર્થોને ડાયામેનેટીક, પેરામેનેટીક અને ફેરોમેનેટીક એમ વર્ગીકૃત કર્યા છે. આમ ઇતાં, બીજા અનેક પ્રકારના મેનેટીક પદાર્થો પણ અસ્તિત્વ ધરાવે છે જેમકે ફેરોમેનેટીક, એન્ટી-ફેરોમેનેટીક, સ્પીન જ્લાસ વગેરે, જેમના ગુણધર્મો વિચિત્ર અને ગહન (ગૂઢ) છે.

સ્વાધ્યાય

5.1 પૃથ્વીના ચુંબકત્વ અંગે નીચેના પ્રશ્નોના જવાબ આપો :

- સદિશને સંપૂર્ણ રીતે દર્શાવવા માટે ત્રણ રાશિઓ (મૂલ્યો)ની જરૂર પડે છે. પૃથ્વીના ચુંબકીયક્ષેત્રને દર્શાવવા રૂઢિગત રીતે વપરાતી ત્રણ સ્વતંત્ર રાશિઓના નામ આપો.
- દક્ષિણ ભારતમાં આવેલા એક સ્થળ પાસે તીપ કોણ (નમનકોણ) લગભગ 18° છે. ખ્રિટનમાં તીપ કોણ મોટો કે નાનો હશે ?
- જો તમે ઓસ્ટ્રેલિયાના મેલબોર્ન પાસે ચુંબકીય ક્ષેત્ર રેખાઓનો નકશો બનાવો તો શું ત્યાં આ રેખાઓ જમીનમાં જતી કે બહાર નીકળતી હશે ?
- ભૂચુંબકીય ઉત્તર કે દક્ષિણ ધ્રુવ પર 7° ઉધ્રેષ્ય સમતલમાં મુક્ત રીતે ફરી શકતી ચુંબકીય સોય રાખીએ તો તે કઈ દિશામાં રહેશે ?
- એવું માનવામાં આવે છે કે પૃથ્વીનું ચુંબકીયક્ષેત્ર, તેના કેન્દ્ર પર મુક્તલા $8 \times 10^{22} \text{ J T}^{-1}$ જેટલી મેનેટીક મોમેન્ટ ધરાવતા ડાયપોલ વડે મળતા ક્ષેત્ર જેટલું છે. આ સંખ્યાના માપકમની કોઈ રીતે ખરાઈ (Check) કરો.
- ભૂવિજ્ઞાનીઓ દર્શાવે છે કે મુખ્ય ચુંબકીય N-S ધ્રુવો સિવાય, પૃથ્વીની સપાઠી પર જુદી જુદી દિશામાં રહેલા બીજા બધા સ્થાનિક ધ્રુવો પણ અસ્તિત્વ ધરાવે છે. આવું કેવી રીતે શક્ય બને ?

5.2 નીચેના સવાલોના જવાબ આપો :

- અવકાશમાં જુદા જુદા બિંદુઓએ પૃથ્વીનું ચુંબકીયક્ષેત્ર જુદું જુદું હોય છે. શું તે સમય સાથે પણ બદલાય છે ? જો તેમ હોય, તો કયા સમય અંતરાલમાં તેમાં ગણના પાત્ર ફેરફાર થાય છે ?
- પૃથ્વીના કોર (ગર્ભ)માં લોખંડ (આર્થર્ન) છે તે જાણીએ છીએ. આમ છતાં ભૂસ્તરશાસ્ત્રીઓ તેને પૃથ્વીના ચુંબકીયક્ષેત્રનું ઉદ્ગમ માનતા નથી. શા માટે ?
- પૃથ્વીના કોરની બહારના વાહક વિસ્તારમાંના વિદ્યુતપ્રવાહો પૃથ્વીના ચુંબકીયક્ષેત્ર માટે જવાબદાર માનવામાં આવે છે. આ પ્રવાહોને જાળવી રાખવા કઈ 'બેટરી' (એટલે કે ઊર્જા સોત) હશે ?
- પૃથ્વીએ તેના ક્ષેત્રની દિશા 4θ કે 5 અબજ ($= 10^9$) વર્ષના તેના ઈતિહાસ દરમિયાન કેટલીય વખત ઉલટાવી હશે. ભૂસ્તરશાસ્ત્રીઓ પૃથ્વીના ક્ષેત્રના આવા દૂરના ભૂતકાળ વિશે કેવી રીતે જાણી શક્યા હશે ?
- પૃથ્વીનું ચુંબકીયક્ષેત્ર ઘણા લાંબા અંતરે (આશરે 30000 km થી વધુ), તેના ડાયપોલ આકારથી ઘણું જુદું પડે છે. કયા કારણો આ ફેરફારો માટે જવાબદાર છે ?
- તારાઓ વચ્ચેના અવકાશમાં 10^{-12} T ના કમનું ઘણું નબળું ચુંબકીયક્ષેત્ર હોય છે. શું આ નબળું ક્ષેત્ર કોઈ અર્થપૂર્ણ પરિણામ આપી શકે ? સમજાવો.

[નોંધ : સ્વાધ્યાય 5.2નો ઉદ્દેશ્ય ફક્ત તમારી ઉત્સુકતા વધારવાનો છે. ઉપરના ઘણા પ્રશ્નોના જવાબો કામયાલાઉ અને અજ્ઞાત છે. જ્યાં શક્ય છે ત્યાં અંતમાં જવાબો આપ્યા છે. વધુ માહિતી માટે તમે ભૂચુંબકત્વના કોઈ સારા પુસ્તકનો અભ્યાસ કરી શકો.]

5.3 એક નાના ગાજિયા ચુંબકને તેની અક્ષ, 0.25 T ના નિયમિત બાધ્ય ચુંબકીયક્ષેત્ર સાથે 30° કોણ બનાવે તે રીતે મુક્તાં તે $4.5 \times 10^{-2} \text{ J}$ જેટલું ટોર્ક અનુભવે છે. ચુંબકની મેનેટીક મોમેન્ટનું મૂલ્ય કેટલું હશે ?

5.4 મેનેટીક મોમેન્ટ $m = 0.32 \text{ J T}^{-1}$ ધરાવતા નાના ગાજિયા ચુંબકને 0.15 T ના નિયમિત ચુંબકીયક્ષેત્રમાં મુક્તો છે. જો ગાજિયો ચુંબક આ ક્ષેત્રના સમતલમાં મુક્ત બ્રમણ કરી શકે તેમ હોય તો તેની કઈ દિશામાંની ગોઠવણી,

- સ્થિર, અને
- અસ્થિર સંતુલન દર્શાવશે ? દરેક કિસ્સામાં આ ચુંબકની સ્થિતિઊર્જા કેટલી હશે ?

ચુંબકત્વ અને દ્રવ્ય

- 5.5 ખૂબ નજીક વીટાળેલા 800 આંટા વાળા અને $2.5 \times 10^{-4} \text{ m}^2$ આડછેદનું ક્ષેત્રફળ ધરાવતા સોલેનોઇડમાંથી 3.0 A વિદ્યુતપ્રવાહ પસાર થાય છે. સોલેનોઇડ કઈ રીતે ગજિયા ચુંબકની જેમ વર્તશે તે સમજાવો. તેની સાથે સંકળાયેલી મેનેટીક મોમેન્ટ કેટલી હશે?
- 5.6 સ્વાધ્યાય 5.5માં દર્શાવેલ સોલેનોઇડ શિરેલંબ દિશામાં મુક્ત ભ્રમણ કરી શકે તેમ હોય અને સમક્ષિતિજ દિશામાં 0.25 T જેટલું નિયમિત ચુંબકીયક્ષેત્ર લગડવામાં આવે, તો જ્યારે સોલેનોઇડની અક્ષ, આપેલ ક્ષેત્ર સાથે 30° કોણ બનાવતી હોય ત્યારે તેના પર કેટલું ટોર્ક લાગતું હશે?
- 5.7 મેનેટીક મોમેન્ટ 1.5 JT^{-1} ધરાવતો એક ગજિયો ચુંબક નિયમિત ચુંબકીયક્ષેત્ર 0.22 T સાથે એક રેખાસ્થ રહેલો છે.
- (a) બાબ્ય ટોર્ક દ્વારા કેટલું કાર્ય કરવું પડે કે જેથી તેની મેનેટીક મોમેન્ટ (i) ક્ષેત્રની દિશામાં, (ii) ક્ષેત્રની હિસ્થાથી વિરુદ્ધ, ગોઠવાય?
 - (b) ડિસ્સાઓ (i) અને (ii)માં ચુંબક પર લાગતું ટોર્ક કેટલું હશે?
- 5.8 2000 આંટા અને $1.6 \times 10^{-4} \text{ m}^2$ જેટલું આડછેદનું ક્ષેત્રફળ ધરાવતા એક સોલેનોઇડમાંથી 4.0 A વિદ્યુતપ્રવાહ પસાર થાય છે, અને તેને કેન્દ્રમાંથી એવી રીતે લટકાવેલ છે કે જેથી તે સમક્ષિતિજ સમતલમાં ભ્રમણ કરી શકે.
- (a) સોલેનોઇડસાથે સંકળાયેલી મેનેટીક મોમેન્ટ કેટલી હશે?
 - (b) જો સોલેનોઇડની અક્ષ સાથે 30° કોણ બનાવતી દિશામાં $7.5 \times 10^{-2} \text{ T}$ જેટલું નિયમિત સમક્ષિતિજ ચુંબકીયક્ષેત્ર ઉત્પન્ન કરવામાં આવે તો સોલેનોઇડ પર લાગતા બળ અને ટોર્કના મૂલ્ય કેટલા હશે?
- 5.9 16 આંટા અને 10 cm ત્રિજ્યા ધરાવતું એક વર્તુળકાર ગૂંચળું 0.75 A વિદ્યુતપ્રવાહ ધરાવે છે અને $5.0 \times 10^{-2} \text{ T}$ મૂલ્ય ધરાવતા બાબ્ય ચુંબકીયક્ષેત્રને લંબરૂપે સ્થિર રહેલું છે. ક્ષેત્રની દિશાને લંબ અને ગૂંચળાના સમતલમાં રહેલી અક્ષને અનુલક્ષીને ગૂંચળું મુક્ત ભ્રમણ કરી શકે છે. જ્યારે ગૂંચળાને થોડુંક ઘુમાવીને છોડી દેવામાં આવે, ત્યારે તે તેની સ્થિર સંતુલિત સ્થિતિની આસપાસ 2.0 s^{-1} આવૃત્તિથી આંદોલન કરે છે. ગૂંચળાની તેની ભ્રમણ અક્ષને અનુલક્ષીને જડત્વની ચાકમાત્રા કેટલી હશે?
- 5.10 મેનેટીક મેરીડીયનને સમાંતર ઉર્ધ્વ સમતલમાં મુક્ત ભ્રમણ કરી શકે તેવી એક ચુંબકીય સોયની અણી સમક્ષિતિજ સાથે નીચે તરફ 22° કોણ બનાવતી દિશામાં છે. આ સ્થળે પૃથ્વીના ચુંબકીયક્ષેત્રનો સમક્ષિતિજ ઘટક 0.35 G જેટલો આપેલ છે. આ સ્થળે પૃથ્વીના ચુંબકીયક્ષેત્રનું માન શોધો.
- 5.11 આફિકમાં કોઈ સ્થળે, ચુંબકીય કંપાસ બૌગોલિક (ઉત્તરથી 12° પશ્ચિમ તરફ (દિશા)) દર્શાવે છે. નમન વર્તુળની (ડીપ દર્શાવતી) ચુંબકીય સોયના ઉત્તરધ્રુવની અણીને મેનેટીક મેરીડીયનના સમતલમાં રાખતાં તે સમક્ષિતિજ સાથે ઉત્તર તરફ 60° કોણ દર્શાવે છે. પૃથ્વીના ક્ષેત્રનો સમક્ષિતિજ ઘટક આ સ્થળે 0.16 G છે. આ સ્થળે પૃથ્વીના (ચુંબકીય) ક્ષેત્રની દિશા અને મૂલ્ય દર્શાવો.
- 5.12 એક નાના ગજિયા ચુંબકની મેનેટીક મોમેન્ટ 0.48 JT^{-1} છે. ચુંબકના કેન્દ્રથી 10 cm અંતરે
- (a) ચુંબકની અક્ષ પર,
 - (b) તેની વિષ્ણુવરેખા (લંબ દ્વિભાજક) પર, ચુંબક વડે ઉત્પન્ન થયેલા ચુંબકીયક્ષેત્રની દિશા અને મૂલ્ય શોધો.
- 5.13 સમક્ષિતિજ સમતલમાં મુક્તા એક નાના ગજિયા ચુંબકની અક્ષ ચુંબકીય (ઉત્તર-દક્ષિણ દિશા સાથે એક રેખાસ્થ છે. ચુંબકની અક્ષ પર તેના કેન્દ્રથી 14 cm અંતરે તટસ્થ બિંદુઓ (Null Points) મળે છે. આ સ્થળે પૃથ્વીનું ચુંબકીયક્ષેત્ર 0.36 G છે અને ડીપ કોણ શૂન્ય છે. ચુંબકના કેન્દ્રથી તેના લંબ દ્વિભાજક પર આટલા જ અંતરે (એટલે કે, 14 cm) કુલ ચુંબકીયક્ષેત્રનું મૂલ્ય કેટલું હશે? (તટસ્થ બિંદુઓ ચુંબક વડે ઉદ્દૂભવતું ચુંબકીયક્ષેત્ર પૃથ્વીના ચુંબકીયક્ષેત્રના સમક્ષિતિજ ઘટક જેટલું જ અને વિરુદ્ધ દિશામાં હોય છે.)
- 5.14 જો સ્વાધ્યાય 5.13ના ગજિયા ચુંબકને 180° જેટલો ઘુમાવવામાં આવે તો હવે નવા તટસ્થ બિંદુઓ ક્યાં (કેટલા અંતરે) મળશે?

ભૌતિકવિજ્ઞાન

- 5.15 $5.25 \times 10^{-2} \text{ J T}^{-1}$ મેનેટીક મોમેન્ટ ધરાવતા નાના ગજિયા ચુંબકને તેની અક્ષ પૃથ્વીના ચુંબકીયક્ષેત્રની દિશાને લંબ રહે તે રીતે રાખવામાં આવ્યો છે. ચુંબકના કેન્દ્રથી
(a) તેના લંબ દિભાજક પર, અને
(b) તેની અક્ષ પર, કેટલા અંતરે પરિણામી ક્ષેત્ર પૃથ્વીના ચુંબકીયક્ષેત્ર સાથે 45° કોણ બનાવતું હશે? આ સ્થળે પૃથ્વીનું ચુંબકીયક્ષેત્ર 0.42 G છે. અહીં ગણતરીમાં આવતા અંતરોની સરખામણીમાં ચુંબકની લંબાઈ અવગણો.

વધારાના સ્વાધ્યાય

- 5.16 નીચેના પ્રશ્નોના જવાબ આપો :

- (a) જ્યારે પેરામેનેટીક પદાર્થને ઠંડો પાડવામાં આવે ત્યારે (તે જ ચુંબકીયક્ષેત્ર માટે) શા માટે તે વધુ મેનેટાઇઝેશન દર્શાવે છે ?
(b) તેથી વિરુદ્ધ, શા માટે ડાયામેનેટીઝમ તાપમાનથી લગભગ સ્વતંત્ર છે ?
(c) જો ટોરોઇડના કોર (ગર્ભ) માટે બિસ્મથનો ઉપયોગ કરવામાં આવે તો આ કોરમાં ચુંબકીયક્ષેત્ર, ખાલી કોરની સરખામણીમાં (થોડુંક) વધારે કે (થોડુંક) ઓછું હશે ?
(d) શું ફેરોમેનેટીક પદાર્થની પરમિઓબિલિટી (પારગમ્યતા) ચુંબકીય ક્ષેત્રથી સ્વતંત્ર છે ? જો ના, તો ઓછા કે વધારે ક્યા ક્ષેત્ર માટે તે વધુ હોય છે ?
(e) ચુંબકીયક્ષેત્ર રેખાઓ હંમેશાં ફેરોમેનેટની સપાટી પર દરેક બિંદુએ લંબરૂપે હોય છે. [આ હકીકિત સ્થિત વિદ્યુતક્ષેત્રરેખાઓ સાથે સામ્યતા ધરાવે છે જે દરેક બિંદુએ વાહકની સપાટીને લંબરૂપે હોય છે.] શા માટે ?
(f) શું પેરામેનેટીક પદાર્થના મહત્તમ શક્ય મેનેટાઇઝેશનનું મૂલ્ય ફેરોમેનેટીક પદાર્થના મહત્તમ મેનેટાઇઝેશન જેટલા માનના કમનું હોય છે ?

- 5.17 નીચેના પ્રશ્નોના જવાબ આપો :

- (a) ફેરોમેનેટના મેનેટાઇઝેશન વકમાં અપ્રતિવર્તીપણું ઓમેઇન ચિત્રના આધારે ગુણાત્મક રીતે સમજાવો.
(b) નરમ લોંડના ટુકડાના હિસ્ટરીસીસ લૂપનું ક્ષેત્રફળ તેટલા જ કાર્બન સ્ટીલના ટુકડા કરતાં ઘણું નાનું હોય છે. જો આ પદાર્થને મેનેટાઇઝેશનના ચકમાંથી વારે ઘડીએ પસાર કરવામાં આવે તો કયો ટુકડો વધુ ઉખા ઊર્જાનો વ્યય (Dissipate) કરશે ?
(c) ‘હિસ્ટરીસીસ લૂપ દર્શાવતું ફેરોમેનેટ જેવું તંત્ર, એ મેમરી (સ્મૃતિ) સંગ્રહ કરવાનું સાધન છે’ આ વિધાનનો અર્થ સમજાવો.
(d) કેસેટ પ્લેયરની મેનેટીક ટેપના કોર્ટીંગ (આવરાણ) માટે, કે આધુનિક કોમ્પ્યુટરના મેમરી (સ્મૃતિ) સંગ્રહ માટે ક્યા પ્રકારના ફેરોમેનેટ પદાર્થ વપરાય છે ?
(e) અવકશના અમુક વિસ્તારને મેનેટીક ક્ષેત્રથી અલગ (Shield) કરવો છે. કોઈ પદ્ધતિ જાણાવો.

- 5.18 એક લાંબો સીધો તાર પશ્ચિમથી દક્ષિણ તરફ 10° થી, પૂર્વથી ઉત્તર તરફ 10° ની દિશામાં 2.5 A વિદ્યુતપ્રવાહનું વહન કરે છે. આ સ્થળે મેનેટીક મેરીડીયન ભૌગોલિક મેરીડીયનથી 10° પશ્ચિમ તરફ છે. આ સ્થળે પૃથ્વીનું ચુંબકીયક્ષેત્ર 0.33 G છે, અને ડીપ કોણ શૂન્ય છે. તત્ત્વ બિંદુઓ (Neutral Point) દર્શાવતી રેખાનું સ્થાન શોધો. (તારની જાડાઈ અવગણો) ? [તત્ત્વ બિંદુઓએ, વિદ્યુતપ્રવાહ ધારિત તાર વડે ઉદ્ભવતું ચુંબકીયક્ષેત્ર પૃથ્વીના ચુંબકીયક્ષેત્રના સમક્ષિતિજ ઘટક જેટલું જ અને વિરુદ્ધ દિશામાં હોય છે.]

ચુંબકત્વ અને દ્રવ્ય

- 5.19** એક સ્થળે આવેલ ટેલીફોનના કેબલમાં ચાર લાંબા સીધા અને સમક્ષિતિજ તાર જે (દરેક)માંથી એક જ દિશામાં 1.0 A વિદ્યુતપ્રવાહ પૂર્વથી પણ્ણિમ વહે છે. આ સ્થળે પૃથ્વીનું ચુંબકીયક્ષેત્ર 0.39 G છે, અને ડીપ કોણ 35° છે. મેનેટીક ઉક્લિનેશન લગભગ શૂન્ય છે. આ કેબલની નીચે 4.0 cm અંતરે પરિણામી ચુંબકીયક્ષેત્રના મૂલ્ય કેટલા હશે ?
- 5.20** સમક્ષિતિજ સમતલમાં મુક્ત રીતે બ્રમણ કરી શકે તેવી ચુંબકીય સોયના કંપાસને 30 આંટા અને 12 cm ત્રિજ્યા ધરાવતા વર્તુળાકાર ગુંચળાની મધ્યમાં મૂકેલ છે. આ ગુંચળું શિરોલંબ સમતલમાં મેનેટીક મેરીઓન સાથે 45° કોણ બનાવતી દિશામાં રાખેલું છે. જ્યારે ગુંચળામાં પસાર થતો વિદ્યુતપ્રવાહ 0.35 A હોય, ત્યારે આ સોય પણ્ણથી પૂર્વ તરફ રહે છે.
- આ સ્થળે પૃથ્વીના ચુંબકીયક્ષેત્રનો સમક્ષિતિજ ઘટક શોધો.
 - ગુંચળામાં વહેતો પ્રવાહ ઉલટાવવામાં આવે છે અને ગુંચળાને શિરોલંબ અક્ષની સાપેક્ષે ઉપરથી જોતાં વિષમ ઘડી દિશામાં 90° કોણે ઘુમાવવામાં આવે છે. ચુંબકીય સોયની દિશા શોધો. આ સ્થળે મેનેટીક ઉક્લિનેશન શૂન્ય ધારો.
- 5.21** એક મેનેટીક ડાયપોલ બે ચુંબકીયક્ષેત્રોની અસર હેઠળ રહેલો છે. આ ક્ષેત્રોની રેખાઓ વચ્ચેનો કોણ 60° છે અને તેમાંથી એક ક્ષેત્રનું મૂલ્ય $1.2 \times 10^{-2}\text{ T}$ છે. જો ડાયપોલ આ ક્ષેત્ર સાથે 15° કોણ બનાવતી દિશામાં સ્થિર સંતુલનમાં આવે, તો બીજા ક્ષેત્રનું મૂલ્ય કેટલું હશે ?
- 5.22** સમક્ષિતિજ દિશામાં ગતિ કરતો અને એક સરખી ઊર્જા (18 keV – Monoenergetic) ધરાવતો ઈલેક્ટ્રોન બીમ (કિરણપૂંજ) તેની (ગતિની) દિશાને લંબરૂપે સમક્ષિતિજ સમતલમાં 0.04 G જેટલું ચુંબકીયક્ષેત્ર અનુભવે છે. 30 cm પછી આ બીમનું ઉપર કે નીચે તરફનું કોણાવર્તન શોધો ($m_e = 9.11 \times 10^{-31}\text{ gm}$). [નોંધ : આ સ્વાધ્યાયના મૂલ્યો, એ ધ્યાનમાં રાખીને આપવામાં આવ્યા છે કે તમને TVમાં ઈલેક્ટ્રોન ગનમાંથી ઉત્સર્જિત થઈને તેના સ્ક્રિન પર આપાત થતા ઈલેક્ટ્રોન પર થતી પૃથ્વીના ચુંબકીયક્ષેત્રની અસર સમજાવે]
- 5.23** પેરામેનેટીક મીઠા (Salt)નો એક ટુકડો 2.0×10^{24} પરમાણૂકી ડાયપોલ ધરાવે છે. જે દરેકની ડાયપોલ મોમેન્ટ $1.5 \times 10^{-23}\text{ J T}^{-1}$ છે. આ ટુકડાને 0.64 T જેટલા નિયમિત (સમાંગ) ચુંબકીયક્ષેત્રમાં મૂકેલો છે અને તેને 4.2 K સુધી ઠંડો પાડવામાં આવે છે. તેમાં 15 % જેટલું મેનેટીક સેચ્યુરેશન (સંતૃપ્તતા) મળે છે. 2.8 K તાપમાને 0.98 T જેટલા ચુંબકીયક્ષેત્ર માટે આ ટુકડાની કુલ ડાયપોલ મોમેન્ટ કેટલી હશે ? (ક્યુરીનો નિયમ ધારો)
- 5.24** 15 cm જેટલી સરેરાશ ત્રિજ્યાની રોલેન્ડ (Rowland) રીંગના, 800 જેટલી સાપેક્ષ પરમિઓબિલીટી ધરાવતા કોર પર તારના 3500 આંટા વિટાળવામાં આવેલ છે. 1.2 A જેટલા મેનેટાઈર્જિંગ વિદ્યુતપ્રવાહ માટે કોરમાં ચુંબકીયક્ષેત્ર B કેટલું હશે ?
- 5.25** એક ઈલેક્ટ્રોનના સ્પિન કોણીય વેગમાન S અને કક્ષિય (Orbital) કોણીય વેગમાન 1 સાથે સંકળાયેલા મેનેટીક મોમેન્ટ સાટિશો અનુક્રમે μ_s અને μ_l , કવોન્ટમ સિદ્ધાંત દ્વારા અનુમાનીત કરાય છે (અને પ્રાપોગિક રીતે ઊંચી ચોક્સાઈથી ચકાસેલ પણ છે) જેમના સૂત્રો આ મુજબ છે :
- $$\mu_s = -(e/m)S,$$
- $$\mu_l = -(e/2m)I$$
- આ બેમાંથી કયું પરિણામ પ્રચલિત ભौતિકશાસ્ત્ર મુજબ ધારેલ પરિણામને મળતું આવે છે ? પ્રચલિત યંત્રશાસ્ત્રનું પરિણામ સાધિત કરો.

પ્રકરણ ૭

વિદ્યુતચુંબકીય પ્રેરણ (ELECTROMAGNETIC INDUCTION)



6.1 પ્રસ્તાવના (INTRODUCTION)

વિદ્યુત અને ચુંબકત્વને ઘણા લાંબા સમય સુધી અલગ-અલગ અને એકબીજા સાથે સંબંધિત નહોય તેવી ઘટનાઓ ગણવામાં આવતી હતી. ઓગણીસમી સદીના પ્રારંભિક દાયકામાં, ઓસ્ટ્રેડ, અમ્પિયર અને અન્ય કેટલીક વ્યક્તિઓએ વિદ્યુતપ્રવાહ પરના પ્રયોગો દ્વારા એ હકીકત પ્રસ્થાપિત કરી કે વિદ્યુત અને ચુંબકત્વ આંતર-સંબંધી છે. તેમણે શોધી કાઢ્યું કે ગતિમાન વિદ્યુતભારોને લીધે ચુંબકીયક્ષેત્રો ઉત્પન્ન થાય છે. ઉદાહરણ તરીકે, વિદ્યુતપ્રવાહ તેની નજીકમાં મૂકવામાં આવેલ હોકાયંત્રની ચુંબકીય સોયમાં કોણાવર્તન ઉત્પન્ન કરે છે. કુદરતી રીતે જ આ ઘટના કેટલાક પ્રશ્નો ઊભા કરે છે જેવાકે : શું આનાથી ઊલટી પ્રક્રિયા શક્ય છે ? શું ગતિમાન ચુંબકો વિદ્યુતપ્રવાહ ઉત્પન્ન કરી શકે છે ? શું કુદરત (પ્રકૃતિ) વિદ્યુત અને ચુંબકત્વ વચ્ચેના આવા સંબંધને મંજૂરી આપે છે ? જવાબ છા છે ! 1830ની આસપાસ ઈંગ્લેન્ડમાં માર્કીલ ફેરેટે અને USAમાં જોસેફ હેનરી દ્વારા કરવામાં આવેલા પ્રયોગોએ દર્શાવ્યું કે બદલાતા ચુંબકીયક્ષેત્રોની અસર નીચે બંધ ગંચળાઓમાં વિદ્યુતપ્રવાહ પ્રેરિત થાય છે. આ પ્રકરણમાં, આપણે બદલાતાં ચુંબકીયક્ષેત્રો સાથે સંકળાયેલ ઘટનાઓનો અભ્યાસ કરીશું અને અંતર્ગત સિદ્ધાંતોને સમજશું. એ ઘટના કે જેમાં બદલાતાં ચુંબકીયક્ષેત્રો દ્વારા વિદ્યુતપ્રવાહ ઉત્પન્ન થાય છે તેને યોગ્ય રીતે વિદ્યુતચુંબકીય પ્રેરણ (Electromagnetic Induction) કહે છે.

જ્યારે ફેરેટેએ સૌ પ્રથમ તેમની શોધ જાહેર કરી કે ગજિયો ચુંબક અને વાયર લૂપ (તારનો બંધ ગાળો) વચ્ચેની સાપેક્ષ ગતિ એ બંધ ગાળામાં સૂક્ષ્મ વિદ્યુતપ્રવાહ ઉત્પન્ન કરે છે, ત્યારે તેમને પૂર્ણવામાં આવ્યું કે, “આનો ઉપયોગ શું છે ?” તેમનો જવાબ હતો : “કોઈ નવજાત શિશુનો ઉપયોગ શું છે ?” વિદ્યુતચુંબકીય પ્રેરણની ઘટના માત્ર સૈદ્ધાંતિક અથવા શૈક્ષણિક રસ ધરાવવા પૂરતી નથી પરંતુ તેની

વ્યાવહારિક ઉપયોગીતા પણ છે. એવા વિશની કલ્પના કરો કે જ્યાં વીજળી નથી - ના કોઈ વિદ્યુત પ્રકાશ, ના કોઈ ટ્રેન, ના કોઈ ટેલિફોન અને ના કોઈ પર્સનલ કમ્પ્યુટર. ફરેડે અને હેન્રીના પ્રારંભિક પ્રયોગોનો આધુનિક સમયના જનરેટર્સ અને ટ્રાન્સફોર્મર્સના વિકાસમાં સીધો જ ફાળો રહ્યો છે. આજની સભ્યતાની પ્રગતિમાં વિદ્યુતચુંબકીય પ્રેરણની શોધનો મહત્વનો ફાળો છે.

6.2 ફરેડે અને હેન્રીના પ્રયોગો

(THE EXPERIMENTS OF FARADAY AND HENRY)

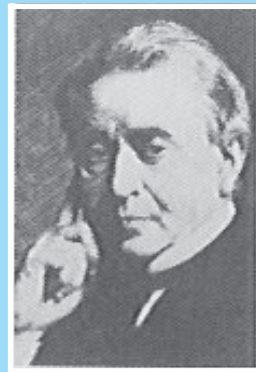
વિદ્યુતચુંબકીય પ્રેરણની શોધ અને સમજ ફરેડે અને હેન્રી દ્વારા કરવામાં આવેલ શ્રેષ્ઠભાષ્ય પ્રયોગો પર આધારિત છે. હવે આપણે આમાંના કેટલાક પ્રયોગોનું વર્ણન કરીશું.

પ્રયોગ 6.1

આકૃતિ 6.1 દર્શાવે છે કે, એક ગૂંચળું C_1 * ગોલ્વેનોમીટર G સાથે જોડાયેલ છે. જ્યારે ગજિયા ચુંબકનો ઉત્તરધ્રુવ ગૂંચળા તરફ ધૂકેલાય છે, ત્યારે ગોલ્વેનોમીટરમાં દર્શાયેલા કોણાવર્તન થાય છે, જે ગૂંચળામાં વિદ્યુતપ્રવાહની હાજરી સૂચવે છે. આ કોણાવર્તન જ્યાં સુધી ગજિયો ચુંબક ગતિમાં હોય ત્યાં સુધી જ રહે છે. જ્યારે ચુંબકને સ્થિર રાખવામાં આવે ત્યારે ગોલ્વેનોમીટર કોઈ પણ કોણાવર્તન બતાવતું નથી. જ્યારે ચુંબકને જંનૂચળાથી દૂર લઈ જવામાં આવે છે, ત્યારે ગોલ્વેનોમીટર વિરુદ્ધ દિશામાં કોણાવર્તન દર્શાવે છે, જે પ્રવાહની દિશા ઊલટાઈ હોવાનું સૂચવે છે. વધુમાં જ્યારે ગજિયા ચુંબકનો દક્ષિણધ્રુવ ગૂંચળાની નજીક કે દૂર લઈ જવામાં આવે છે ત્યારે ગોલ્વેનોમીટર વિરુદ્ધ દિશામાં કોણાવર્તન દર્શાવે છે, જે પ્રવાહની દિશા ઊલટાઈ હોવાનું સૂચવે છે. વધુમાં, જ્યારે ગજિયા-ચુંબકને સ્થિર રાખવામાં આવે છે અને ગૂંચળા C_1 ને ચુંબક તરફ અથવા દૂર ખસેડવામાં આવે છે, ત્યારે પણ પહેલા જેવી જ સમાન અસરો જોવા મળે છે. આ દર્શાવે છે કે ચુંબક અને ગૂંચળા વચ્ચેની સાપેક્ષ ગતિ એ ગૂંચળામાં વિદ્યુતપ્રવાહના ઉત્પાદન (પ્રેરણ) માટે જવાબદાર છે.

પ્રયોગ 6.2

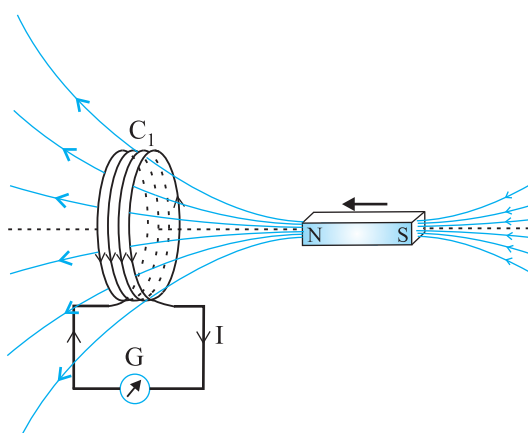
આકૃતિ 6.2માં ગજિયા ચુંબકને સ્થાને બેટરી સાથે જોડાયેલ એક બીજા ગૂંચળા C_2 ને મૂકવામાં આવે છે. ગૂંચળા C_2 માંનો સ્થિર પ્રવાહ સ્થિર ચુંબકિયક્ષેત્ર પેદા કરે છે. ગૂંચળા C_2 ને જ્યારે ગૂંચળા C_1 તરફ લઈ જઈએ, ત્યારે ગોલ્વેનોમીટર કોણાવર્તન દર્શાવે છે. આ સૂચવે છે કે ગૂંચળા C_1 માં વિદ્યુતપ્રવાહ પ્રેરિત થાય છે. જ્યારે C_2 ને દૂર ખસેડવામાં આવે છે ત્યારે ગોલ્વેનોમીટર ફરી કોણાવર્તન દર્શાવે છે, પરંતુ આ વખતે તે વિરુદ્ધ દિશામાં છે. જ્યાં સુધી ગૂંચળું C_2 ગતિમાં હોય ત્યાં સુધી જ આ કોણાવર્તન રહે છે. જ્યારે ગૂંચળા C_2 ને સ્થિર રાખવામાં આવે છે અને C_1 ને ખસેડવામાં આવે છે ત્યારે પણ સમાન અસરો જોવા મળે છે. આમ અહીં પણ, આ



જોશેફ હેન્રી [1791-1878]

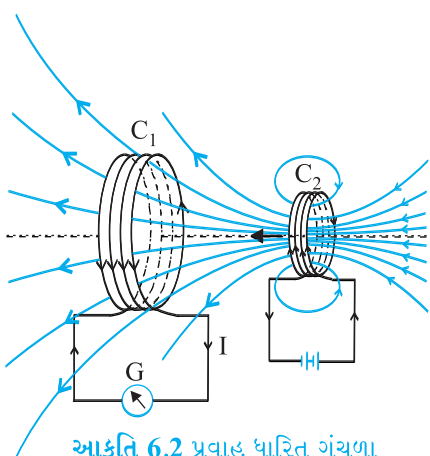
અમેરિકન પ્રાયોગિક ભૌતિકશાસ્ત્રી, પ્રિન્સટન યુનિવર્સિટીના પ્રોફેસર અને સિમથસોનિયન ઇન્સ્ટિટ્યુશનના પ્રથમ ડિરેક્ટર, તેમણે લાખંડના ધૂવોની આસપાસ અવાહક તારના ગૂંચળાને વીટાળીને વિદ્યુતચુંબક (Electromagnet)માં સુધારો કર્યો અને વિદ્યુતચુંબકીય (Electromagnetic) મોટરની શોધ કરી તેમજ નવા, કાર્યક્ષમ ટેલિગ્રાફની શોધ કરી. તે મણે આત્મ-પ્રેરણ (Self-Induction)ની શોધ કરી અને શોધું કે કેવી રીતે એક પરિપથ (Circuit) માના પ્રવાહો બીજા (પરિપથ)માં પ્રવાહો પ્રેરિત કરે છે.

જોશેફ હેન્રી (1791-1878)



આકૃતિ 6.1 જ્યારે ગજિયો ચુંબક ગૂંચળા તરફ ધૂકેલવામાં આવે છે ત્યારે ગોલ્વેનોમીટર Gનો દર્શક કોણાવર્તન પામે છે.

* જ્યાં પણ ‘ગૂંચળા’ અથવા ‘લૂપ’ શબ્દનો ઉપયોગ કરવામાં આવે છે ત્યાં તેવું ધારવામાં આવે છે કે તે વાહક દ્વારા નિર્ધારિત પ્રયોગોને પ્રારંભિક પ્રયોગોનો આધુનિક સમયના જનરેટર્સ અને ટ્રાન્સફોર્મર્સના વિકાસમાં સીધો જ ફાળો રહ્યો છે. આજની સભ્યતાની પ્રગતિમાં વિદ્યુતચુંબકીય પ્રેરણની શોધનો મહત્વનો ફાળો છે.



આકૃતિ 6.2 પ્રવાહ ધારિત ગૂંચળા
C₂ની ગતિને કારણે ગૂંચળા C₁માં
પ્રવાહ પ્રેરિત થાય છે.

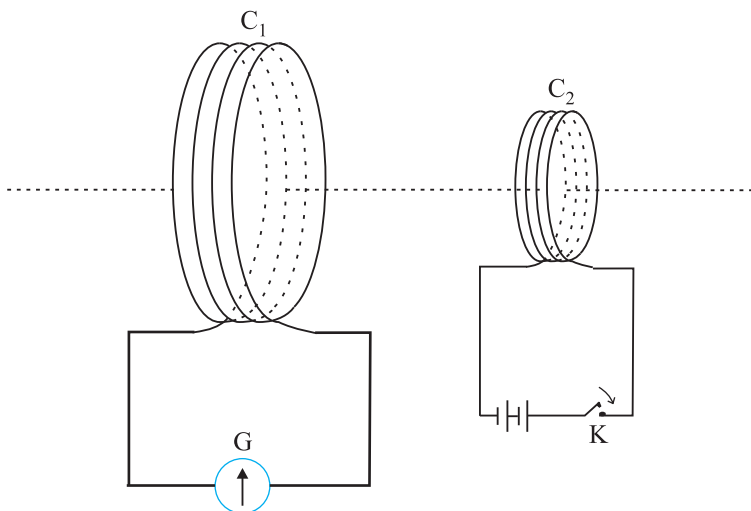
ગૂંચળાઓ વચ્ચેની જે સાપેક્ષ ગતિ છે તે જવિદ્યુતપ્રવાહને પ્રેરિત કરે છે.

પ્રયોગ 6.3

ઉપરોક્ત બંને પ્રયોગો અનુક્રમે ચુંબક અને ગૂંચળા વચ્ચે અને બે ગૂંચળાઓ વચ્ચેની સાપેક્ષ ગતિનો સમાવેશ કરે છે. ફેરેડેને અન્ય એક પ્રયોગ દ્વારા દર્શાવ્યું હતું કે આ સાપેક્ષ ગતિ એ અનિવાર્ય જરૂરિયાત નથી. આકૃતિ 6.3 એ સ્થિર રાખેલ બે ગૂંચળાઓ C₁ અને C₂ને દર્શાવે છે. ગૂંચળા C₁ ગોલ્વેનોમીટર G સાથે જોડાયેલ છે જ્યારે બીજુ ગૂંચળા C₂ ટેપિંગ કી (દાબ-કળ) K દ્વારા બેટરી સાથે જોડાયેલ છે.

એવું જોવા મળ્યું કે, જ્યારે ટેપિંગ કી K દ્વારાવામાં આવે ત્યારે ગોલ્વેનોમીટર કોણાવર્તન દર્શાવે છે અને ત્યારબાદ ગોલ્વેનોમીટરમાં દર્શક તરત જ શૂન્ય પર આવી જાય છે.

Interactive animation on Faraday's experiments and Lenz's law:
<http://micro.magnet.fsu.edu/electromag/java/faraday/index.html>



આકૃતિ 6.3 પ્રયોગ 6.3 માટેની પ્રાયોગિક ગોઠવણી

જો ક્ષેત્ર સતત દબાવી રાખવામાં આવે, તો ગોલ્વેનોમીટરમાં કોઈ કોણાવર્તન થતું નથી. જ્યારે આ ક્ષેત્ર મુક્ત કરવામાં આવે છે, ત્યારે ફરીથી, પરંતુ વિરુદ્ધ દિશામાં કોણાવર્તન જોવા મળે છે. એવું પણ જોવા મળ્યું કે જ્યારે ગૂંચળાઓમાં તેઓની ધરી પર લોખંડનો એક સણિયો મૂકવામાં આવે છે ત્યારે કોણાવર્તન અકલ્યનિય (નાટ્યાત્મક) રીતે વધે છે.

6.3 ચુંબકીય ફ્લુક્સ (MAGNETIC FLUX)

વિદ્યુતચુંબકીય પ્રેરણ પર હાથ ધરવામાં આવેલા શ્રેષ્ઠીબદ્ધ પ્રયોગોને સમજાવવા માટે એક સરળ ગાણિતિક સંબંધને શોધવામાં ફેરેડેની મોટી આંતરસૂર્ય રહેલ છે. જો કે, આપણે તેમના નિયમોને લખીએ અને સચોટ સમજીએ તે પહેલાં, આપણે ચુંબકીય ફ્લુક્સ, Φ_B ની સંકલનાથી પરિચિત થવું જોઈએ. પ્રકરણ 1માં જેમ વિદ્યુત ફ્લુક્સ વ્યાખ્યાપિત થયેલ છે તેવી જ રીતે ચુંબકીય ફ્લુક્સને વ્યાખ્યાપિત

કરવામાં આવે છે. સમાન ચુંબકીયક્ષેત્ર **B** (આકૃતિ 6.4)માં મૂકવામાં આવેલા A ક્ષેત્રફળ ધરાવતા સમતલમાંથી પસાર થતું ચુંબકીય ફ્લક્સ નીચે પ્રમાણે લખી શકાય

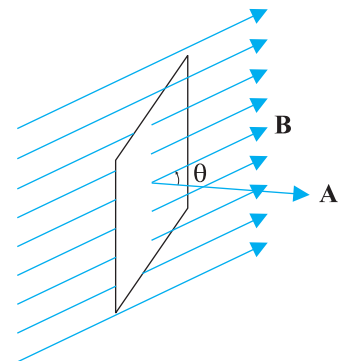
$$\Phi_B = \mathbf{B} \cdot \mathbf{A} = BA \cos\theta \quad (6.1)$$

જ્યાં, θ એ **B** અને **A** વચ્ચેનો ખૂણો છે. ક્ષેત્રફળની એક સદિશ તરીકેની સંકલ્પનાને અગાઉ પ્રકરણ 1માં ચર્ચવામાં આવી છે. સમીકરણ (6.1)ને વક્ત સપાટી અને અનિયમિત ક્ષેત્રો માટે પણ વિસ્તારી શકાય છે.

આકૃતિ 6.5માં દર્શાવ્યા પ્રમાણે જો ચુંબકીયક્ષેત્રને સપાટી પરના વિવિધ ભાગોમાં અલગ અલગ માન અને દિશાઓ હોય, તો સપાટીમાંથી પસાર થતાં ચુંબકીય ફ્લક્સને

$$\Phi_B = \mathbf{B}_1 \cdot d\mathbf{A}_1 + \mathbf{B}_2 \cdot d\mathbf{A}_2 + \dots = \sum_{all} \mathbf{B}_i \cdot d\mathbf{A}_i \quad (6.2)$$

વડે આપવામાં આવે છે. જ્યાં, ‘all’ એ સપાટીના સમાવિષ્ટ તમામ પૃષ્ઠખંડ $d\mathbf{A}_i$ પરનો સરવાળો દર્શાવે છે અને \mathbf{B}_i એ પૃષ્ઠખંડ $d\mathbf{A}_i$ પરનું ચુંબકીયક્ષેત્ર છે. ચુંબકીય ફ્લક્સનો SI એકમ વેબર (Wb) અથવા ટેસ્લા મીટર વર્ગ ($T m^2$) છે. ચુંબકીય ફ્લક્સ એ એક અદિશ રાશિ છે.

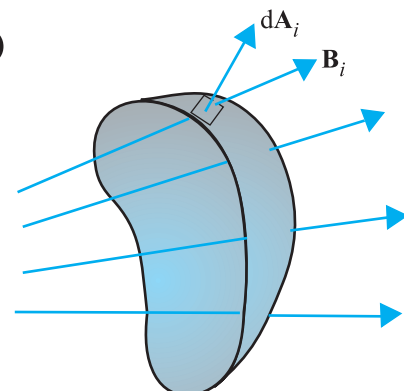


આકૃતિ 6.4 સપાટીનું ક્ષેત્રફળ
A હોય તેવા એક સમતલને
એક સમાન ચુંબકીયક્ષેત્ર Bમાં
મૂકવામાં આવેલ છે.

6.4 ફેરેડેનો પ્રેરણનો નિયમ (FARADAY'S LAW OF INDUCTION)

પ્રાયોગિક નિરીક્ષણો પરથી, ફેરેડે એવા નિર્જર્ખ પર પહોંચ્યા હતા કે જ્યારે ગુંચળા સાથે સંકળાયેલ ચુંબકીય ફ્લક્સ સમય સાથે બદલાય છે, ત્યારે ગુંચળામાં emf પ્રેરિત થાય છે. આ જ્યાલનો ઉપયોગ કરીને પરિચ્છેદ 6.2માંના પ્રાયોગિક અવલોકનોની ચર્ચા કરી શકાય છે.

પ્રયોગ 6.1માં ચુંબકની ગુંચળા C_1 તરફની અથવા તેનાથી દૂરની ગતિ અને પ્રયોગ 6.2માં વિદ્યુતપ્રવાહ ધારિત ગુંચળા C_2 ની ગુંચળા C_1 તરફની અથવા તેનાથી દૂરની ગતિ, ગુંચળા C_1 સાથે સંકળાયેલ ચુંબકીય ફ્લક્સને બદલે છે. ચુંબકીય ફ્લક્સમાં આ ફેરફાર ગુંચળા C_1 માં emf ને પ્રેરિત કરે છે. આ એ પ્રેરિત emf છે, જે ગુંચળા C_1 અને ગેલ્વેનોમીટરમાં વિદ્યુતપ્રવાહ ઉત્પન્ન કરે છે. પ્રયોગ 6.3ના અવલોકનો માટે ખૂબ સરળ સમજૂતી નીચે પ્રમાણે છે : જ્યારે ટેપીંગ-ડી K દબાવવામાં આવે છે, ત્યારે ગુંચળા C_2 માં વિદ્યુતપ્રવાહ (અને પરિણામી ચુંબકીયક્ષેત્ર) ટૂંકા સમયગાળામાં શૂન્યથી મહત્તમ મૂલ્ય સુધી વધે છે. પરિણામે, પાડેશી ગુંચળા C_1 માં પણ ચુંબકીય ફ્લક્સ વધે છે. ગુંચળા C_1 નો આ ચુંબકીય ફ્લક્સનો તે ફેરફાર છે, જે ગુંચળા C_1 માં પ્રેરિત emf ઉત્પન્ન કરે છે. જ્યારે આ કળ દબાવી રાખવામાં આવે છે, ત્યારે ગુંચળા C_2 માં વિદ્યુતપ્રવાહ અચળ હોય છે તેથી, ગુંચળા C_1 માં ચુંબકીય ફ્લક્સમાં કોઈ ફેરફાર થતો નથી અને ગુંચળા C_1 માં વિદ્યુતપ્રવાહ શૂન્ય થશે. જ્યારે આ કળ છોડી દેવામાં આવે છે, ત્યારે ટૂંકા સમયગાળામાં C_2 માં વિદ્યુતપ્રવાહ અને પરિણામી ચુંબકીયક્ષેત્ર મહત્તમ મૂલ્યમાંથી શૂન્ય સુધી ઘટે છે. જેના પરિણામે ગુંચળા C_1 માં ચુંબકીય ફ્લક્સમાં ઘટાડો થાય છે અને તેથી ગુંચળા C_1 * માં ફરીથી વિદ્યુતપ્રવાહ પ્રેરિત કરે છે. આ બધા નિરીક્ષણોમાં સામાન્ય મુદ્દો એ છે કે કોઈ પરિપથમાં ચુંબકીય ફ્લક્સના ફેરફારનો સમયદર તેમાં emf પ્રેરિત કરે છે. ફેરેડેએ આ પ્રયોગાત્મક અવલોકનોને ફેરેડેના વિદ્યુતચુંબકીય પ્રેરણના નિયમ તરીકે ઓળખાતા નિયમમાં રજૂ કરેલ છે. આ નિયમ નીચે દર્શાવેલ છે.



આકૃતિ 6.5 i પૃષ્ઠખંડ પર
ચુંબકીયક્ષેત્ર \mathbf{B}_i , એ. $d\mathbf{A}_i$ એ i
પૃષ્ઠખંડનો ક્ષેત્રફળસદિશ દર્શાવે છે.

* નોંધો કે જ્યારે વિદ્યુતચુંબકને ચાલુ કે બંધ કરવામાં આવે છે, ત્યારે વિદ્યુતચુંબકની નજીકમાં રહેલ સંવેદનશીલ વિદ્યુત ઉપકરણોને પ્રેરિત emf (અને પરિણામી વિદ્યુતપ્રવાહ)ને કારણે નુકસાન થાય છે.



માઈકલ ફરેડે [1791-1867]
ફરેડે વિજ્ઞાનમાં સંખ્યાબંધ યોગદાન આપ્યા છે, જેમ કે, વિદ્યુતચુંબકીય પ્રેરણની શોધ, વિદ્યુત વિશ્લેષણના નિયમો, બેન્જીન અને એ હકીકત કે પ્રુવીભૂત સમતલ વિદ્યુતક્ષેત્રમાં પૂર્ણાંકિત કરી શકે છે. ઇલેક્ટ્રિક મોટર, ઇલેક્ટ્રિક જનરેટર અને ટ્રાન્સફર્મરની શોધનો પણ તેમને શ્રેય આપવામાં આવે છે. તેમને ઓગાઝિસમી સદીના સૌથી મહાન પ્રાયોગિક વૈજ્ઞાનિક તરીકે ઓળખવામાં આવે છે.

માઈકલ ફરેડે (1791-1867)

પરિપથમાં પ્રેરિત emf નું માન તે પરિપથમાંના ચુંબકીય ફ્લક્સના ફેરફારના સમય દર જોટલું હોય છે.

ગાણિતીક રીતે, આ પ્રેરિત emf ને

$$\epsilon = - \frac{d\Phi_B}{dt} \quad (6.3)$$

દ્વારા આપવામાં આવે છે.

ઋણ ચિહ્ન દની દિશા અને તેથી બંધ લૂપમાં વિદ્યુતપ્રવાહની દિશા પણ સૂચવે છે. આ અંગે વિગતવાર ચર્ચા હવે પછીના પરિચેદમાં કરીશું.

ખૂબજ નજીક વીટાળેલ N આંટાઓ ધરાવતા ગુંચળાના કિસ્સામાં, દરેક આંટા સાથે સંકળાયેલ ફ્લક્સનો ફેરફાર પણ એકસમાન છે. તેથી, કુલ પ્રેરિત emf ને

$$\epsilon = -N \frac{d\Phi_B}{dt} \quad (6.4)$$

દ્વારા અભિવ્યક્ત કરવામાં આવે છે.

બંધ ગુંચળાના આંટાઓની સંખ્યા Nમાં વધારો કરીને પ્રેરિત emf માં વધારો કરી શકાય છે.

સમીક્ષણો (6.1) અને (6.2) પરથી, આપણે જોઈ શકીએ છીએ કે **B**, **A** અને θ પદોમાંથી કોઈ પણ એક અથવા વધુ પદોને બદલીને ફ્લક્સમાં ફેરફાર કરી શકાય છે. પરિચેદ 6.2માંના પ્રયોગો 6.1 અને 6.2માં, **B** માં ફેરફાર કરીને ફ્લક્સને બદલવામાં આવે છે. ચુંબકીયક્ષેત્રમાં રહેલ ગુંચળાનું પરિમાણ બદલીને (એટલે કે તેને નાનું કે મોટું કરીને), અથવા ચુંબકીયક્ષેત્રમાં ગુંચળાને **B** અને **A** વચ્ચેનો કોણ θ બદલાય તે રીતે ફેરવતા આ ફ્લક્સમાં ફેરફાર કરી શકાય છે. આ કિસ્સાઓમાં પણ, જે તે ગુંચળાઓમાં emf પ્રેરિત થાય છે.

ઉદાહરણ 6.1 પ્રયોગ 6.2ને ધ્યાન પર લો. (a) ગોલ્વેનોમીટરમાં મોટું કોણાવર્તન મેળવવા માટે તમે શું કરશો ? (b) ગોલ્વેનોમીટરની ગેરહાજરીમાં તમે પ્રેરિત વિદ્યુતપ્રવાહની હાજરીને કેવી રીતે દર્શાવશો ?

ઉકેલ

- મોટું કોણાવર્તન મેળવવા માટે, નીચેનામાંથી એક કે તેથી વધુ પગલાં લઈ શકાય છે :
 - ગુંચળા C_2 ની અંદર નરમ લોખંડથી બનેલ સણિયાનો ઉપયોગ કરો,
 - ગુંચળાને શક્તિશાળી બેટરી સાથે જોડો, અને
 - આ ગોઠવણને પરિક્ષણ (Test) ગુંચળા C_1 તરફ જરૂરી ખેડો.
- ગોલ્વેનોમીટરને બદલે નાની ટોર્ચ લાઈટમાં હોય તેવો એક નાનો બલ્બ જોડો. બે ગુંચળા વચ્ચેની સાપેક્ષ ગતિ બલ્બને પ્રકાશિત કરશે અને આમ પ્રેરિત વિદ્યુતપ્રવાહની હાજરી દર્શાવશે.

પ્રાયોગિક ભૌતિકશાસ્ત્રમાં, દરેક નવીનતા લાવવાનું શીખવું જોઈએ. માઈકલ ફરેડેને અત્યાર સુધીના શ્રેષ્ઠ પ્રયોગશાસ્ત્રી પૈકીના એક તરીકે ગણવામાં આવે છે કે જે તેમની નાવિન્ય સભર કુશળતા માટે સુપ્રસિદ્ધ હતા.

ઉદાહરણ 6.2 10 cm બાજુવાળી અને 0.5 Ω અવરોધ ધરાવતી એક ચોરસ લૂપ પૂર્વ-પશ્ચિમ સમતલમાં ઊભી મૂકવામાં આવેલ છે. 0.10 Tનું એક સમાન ચુંબકીયક્ષેત્ર સમતલ પર ઉત્તર-પૂર્વ દિશામાં લાગુ પાડેલ છે. આ ચુંબકીયક્ષેત્ર 0.70 સેકન્ડમાં અચળ દરે ઘટાડીને શૂન્ય કરવામાં આવે છે. આ સમય-અંતરાલ દરમિયાન પ્રેરિત emf અને વિદ્યુતપ્રવાહના માન શોધો.

બાબતશાસ્ત્ર 6.1

બાબતશાસ્ત્ર 6.2

ઉકેલ આ ચુંબકીયક્ષેત્ર સાથે ગૂંઘળાના ક્ષેત્ર-સદિશ દ્વારા બનાવવામાં આવેલ કોણ 45° છે. સમીકરણ (6.1) પરથી, પ્રારંભિક ચુંબકીય ફ્લક્સ,

$$\begin{aligned}\Phi &= BA \cos\theta \\ &= \frac{0.1 \times 10^{-2}}{\sqrt{2}} \text{ Wb}\end{aligned}$$

અંતિમ ફ્લક્સ, $\Phi_{\min} = 0$

ફ્લક્સમાં ફેરફાર 0.70 સેકન્ડમાં કરેલ છે. સમીકરણ (6.3) પરથી, પ્રેરિત emf નું માન

$$\varepsilon = \frac{|\Delta\Phi_B|}{\Delta t} = \frac{|(\Phi - 0)|}{\Delta t} = \frac{10^{-3}}{\sqrt{2} \times 0.7} = 1.0 \text{ mV}$$

અને વિદ્યુતપ્રવાહનું માન,

$$I = \frac{\varepsilon}{R} = \frac{10^{-3} \text{ V}}{0.5 \Omega} = 2 \text{ mA}$$

નોંધો કે, પૃથ્વીનું ચુંબકીયક્ષેત્ર પણ લૂપમાં ફ્લક્સ ઉત્પન્ન કરે છે. પરંતુ તે એક સ્થિર ક્ષેત્ર છે (જે પ્રયોગના સમય ગાળામાં બદલાતું નથી) અને તેથી તે કોઈ પણ emf પ્રેરિત નહીં કરે.

ઉકાહરણ 6.2

ઉકાહરણ 6.3

10 cm નિજ્યા, 500 આંટાઓ અને 2Ω અવરોધ ધરાવતા એક ગોળાકાર ગૂંઘળાને તેનું સમતલ પૃથ્વીના ચુંબકીયક્ષેત્રના સમક્ષિતિજ ઘટકને લંબ રહે તે રીતે મૂકવામાં આવે છે. તેને 0.25 ડમાં તેના ઉધ્વર વ્યાસને અનુલક્ષીને 180° બ્રમણ કરાવવામાં આવે છે. આ ગૂંઘળામાં પ્રેરિત emf અને વિદ્યુતપ્રવાહના માનનો અંદાજ લગાવો. આ સ્થળે પૃથ્વીના ચુંબકીયક્ષેત્રનો સમક્ષિતિજ ઘટક $3.0 \times 10^{-5} \text{ T}$ છે.

ઉકેલ ગૂંઘળામાં પ્રારંભિક ફ્લક્સ,

$$\begin{aligned}\Phi_{B(\text{initial})} &= BA \cos\theta \\ &= 3.0 \times 10^{-5} \times (\pi \times 10^{-2}) \times \cos 0^\circ \\ &= 3\pi \times 10^{-7} \text{ Wb}\end{aligned}$$

બ્રમણ પછી અંતિમ ફ્લક્સ,

$$\begin{aligned}\Phi_{B(\text{final})} &= 3.0 \times 10^{-5} \times (\pi \times 10^{-2}) \times \cos 180^\circ \\ &= -3\pi \times 10^{-7} \text{ Wb}\end{aligned}$$

તેથી, પ્રેરિત emf નું અંદાજિત માન,

$$\begin{aligned}\varepsilon &= N \frac{\Delta\Phi_B}{\Delta t} \\ &= 500 \times (6\pi \times 10^{-7}) / 0.25 \\ &= 3.8 \times 10^{-3} \text{ V}\end{aligned}$$

$$I = \varepsilon/R = 1.9 \times 10^{-3} \text{ A}$$

નોંધ કરો કે, દ અને I ના માનના મૂલ્યો અંદાજિત છે. તેમના તત્કાલિન મૂલ્યો અલગ છે અને ગોક્કસ સમયે તે પરિબ્રમણની ગતિ પર આધાર રાખે છે.

ઉકાહરણ 6.3



6.5 લેન્જનો નિયમ અને ઊર્જા સંરક્ષણ

(LENZ'S LAW AND CONSERVATION OF ENERGY)

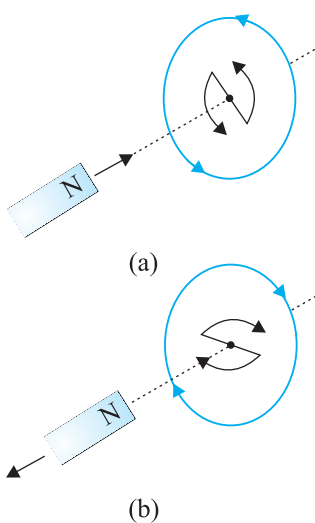
1834માં, જર્મન ભौતિક વિજ્ઞાની હેનરિચ ફેડરિક લેન્જે (1804-1865) એક નિયમ તારવ્યો, જેને લેન્જના નિયમ તરીકે ઓળખવામાં આવે છે. જે સ્પષ્ટ અને સંક્ષિપ્ત સ્વરૂપમાં પ્રેરિત emf ની દિશા (સંજ્ઞા) આપે છે. આ નિયમનું કથન આ મુજબ છે:

પ્રેરિત emf ની દિશા (સંજ્ઞા) એવી હોય છે કે તે એવો વિદ્યુતપ્રવાહ ઉત્પન્ન કરે કે જે તેને ઉત્પન્ન કરતા ચુંબકીય ફ્લક્સના ફેરફારનો વિરોધ કરે.

સમીકરણ (6.3)માં દર્શાવેલ ઋણ ચિહ્ન આ અસરને દર્શાવે છે. પરિચ્છેદ 6.2.1માં પ્રયોગ 6.1નું પરિક્ષણ કરીને આપણે લેન્જનો નિયમ સમજ શકીએ છીએ. આકૃતિ 6.1માં, આપણે જોયું કે ગજિયા ચુંબકનો ઉત્તર-ધ્રુવ બંધ ગૂંચળા તરફ ધૂકેલવામાં આવ્યો છે. જેમ જેમ ગજિયા ચુંબકનો ઉત્તર-ધ્રુવ ગૂંચળા તરફ જાય છે, તેમ ગૂંચળામાંનું ચુંબકીય ફ્લક્સ વધે છે. તેથી ગૂંચળામાં વિદ્યુતપ્રવાહ એવી દિશામાં પ્રેરિત થાય છે કે તે ફ્લક્સમાં થતા વધારાનો વિરોધ કરે છે. આ તો જ શક્ય છે, જો ચુંબકની બાજુમાં રહેલ નિરીક્ષકના સંદર્ભમાં, ગૂંચળામાં વિદ્યુતપ્રવાહ વિષમઘડી દિશામાં હોય. નોંધો કે આ વિદ્યુતપ્રવાહ સાથે સંકળાયેલ ચુંબકીય ચાકમાત્રાની ઉત્તર-ધ્રુવીયતા તેની નશીક જતાં ચુંબકના ઉત્તર-ધ્રુવ તરફ હોય છે. તેવી જ રીતે, જો ચુંબકના ઉત્તર-ધ્રુવને ગૂંચળાથી દૂર લઈ જવામાં આવે, તો ગૂંચળામાંનું ચુંબકીય ફ્લક્સ ઘટશે. ચુંબકીય ફ્લક્સમાં થતા આ ઘટાડાનો વિરોધ કરવા માટે, ગૂંચળામાં સમઘડી દિશામાં પ્રેરિત વિદ્યુતપ્રવાહ વહે છે અને તેનો દક્ષિણ-ધ્રુવ દૂર જતા ગજિયો ચુંબકના ઉત્તર-ધ્રુવની દિશામાં હોય છે. આ એક એવા આકર્ષણ બળમાં પરિણામે છે કે જે ચુંબકની ગતિ અને તેને અનુરૂપ ફ્લક્સના ઘટાડાનો વિરોધ કરે છે.

ઉપરોક્ત ઉદાહરણમાં જો બંધ ગૂંચળાના સ્થાને ખૂલ્લા પરિપથ (ઓપન સર્કિટ)નો ઉપયોગ કરવામાં આવે તો શું થશે? આ કિસ્સામાં પણ, પરિપથના ખૂલ્લા છેડાઓ વચ્ચે emf પ્રેરિત થશે.

આ પ્રેરિત emf ની દિશા લેન્જના નિયમનો ઉપયોગ કરીને શોધી શકાય છે. આકૃતિ 6.6(a) અને (b)નો વિચાર કરો. તેઓ પ્રેરિત પ્રવાહની દિશા સમજવા માટેની સરળ રીત પ્રદાન કરે છે. નોંધો કે (a) અને (b) વડે દર્શાવેલ દિશા પ્રેરિત પ્રવાહની દિશાઓ સૂચયે છે.



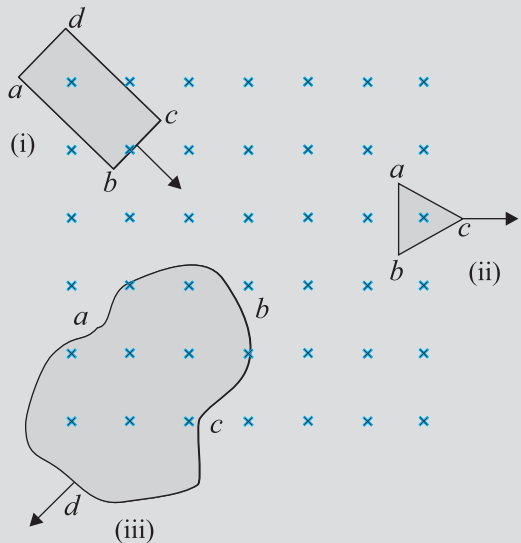
આકૃતિ 6.6
લેન્જના નિયમનું ઉદાહરણ

આ બાબતે થોડું મંથન કરતાં લેન્જના નિયમની સચોટતાની આપણને ખાતરી થશે. ધારોકે પ્રેરિત વિદ્યુતપ્રવાહ આકૃતિ 6.6(a)માં દર્શાવાયેલી દિશાની વિરુદ્ધમાં હતી. તે કિસ્સામાં, પ્રેરિત વિદ્યુતપ્રવાહને કારણે ઉદ્ભબતા દક્ષિણ-ધ્રુવ ચુંબકના ઉત્તર-ધ્રુવની સામે આવે. ત્યારબાદ ગજિયો ચુંબક ગૂંચળા તરફ સતત વધતા પ્રવેગથી આકર્ષિત થશે. ચુંબક પર હળવો ધક્કો આ પ્રક્રિયાને શરૂ કરશે અને તેનો વેગ તથા ગતિઊર્જા કોઈ ઊર્જાના ખર્ચ વિના સતત વધશે. જો આમ થઈ શકે, તો કોઈ યોગ્ય વ્યવસ્થા દ્વારા શાશ્વત-ગતિવાળું મશીન બનાવી શકાય. આ ઊર્જાના સંરક્ષણના નિયમનું ઉલ્લંઘન કરે છે અને તેથી તે શક્ય નથી.

હવે આકૃતિ 6.6(a)માં બતાવવામાં આવેલ સાચો કિસ્સો ધ્યાનમાં લો. આ પરિસ્થિતિમાં, ગજિયો ચુંબક પ્રેરિત વિદ્યુતપ્રવાહને કારણે અપાકર્ષણ બળ અનુભવે છે. તેથી, આ ચુંબકને ખસેડવા માટે કોઈ વ્યક્તિને કાર્ય કરવું પડે છે. વ્યક્તિ દ્વારા જે ઊર્જા ખર્ચવામાં આવે છે તે ક્યાં જાય છે? આ ઊર્જાનો પ્રેરિત વિદ્યુતપ્રવાહ દ્વારા જૂલ-હિટ્ટિંગ વડે વય થાય છે.

ઉદાહરણ 6.4

આકૃતિ 6.7માં જુદા જુદા આકારના સમતલ ગાળાઓ દર્શાવેલ છે, જે લૂપના સમતલને લંબ અને વાંચકથી દૂર તરફની દિશામાંના ચુંબકીયક્ષેત્રમાંથી બહારની તરફ કે અંદરની તરફ ગતિ કરે છે. લેન્જના નિયમનો ઉપયોગ કરીને દરેક ગાળામાં પ્રેરિત વિદ્યુતપ્રવાહની દિશા નિર્ધારિત કરો.



આકૃતિ 6.7

- (i) ચુંબકીયક્ષેત્રના વિસ્તારમાં ગાળાની ગતિને લીધે લંબચોરસ ગાળા $abcd$ માં ચુંબકીય ફ્લક્સ વધે છે. પ્રેરિત વિદ્યુતપ્રવાહ માર્ગ $bcdab$ પર જ વહેતો હોવો જોઈએ જેથી તે વધતા ફ્લક્સનો વિરોધ કરે.
- (ii) (ક્ષેત્રમાંથી) બહાર તરફની ગતિને કારણે, ત્રિકોણાકાર ગાળા abc માં ચુંબકીય ફ્લક્સ ઘટે છે, જેના કારણે પ્રેરિત વિદ્યુતપ્રવાહ $bacb$ દિશામાં વહે છે, જેથી ફ્લક્સના ફેરફારનો વિરોધ કરી શકે છે.
- (iii) ચુંબકીયક્ષેત્રના વિસ્તારમાં અનિયમિત આકારના ગાળા $abcd$ ની ગતિને કારણે ચુંબકીય ફ્લક્સ ઘટે છે. પ્રેરિત વિદ્યુતપ્રવાહ $cdabc$ દિશામાં વહે જેથી ફ્લક્સના ફેરફારનો વિરોધ કરી શકાય છે.
નોંધો કે, જ્યાં સુધી ગાળાઓ ચુંબકીયક્ષેત્રના વિસ્તારની સંપૂર્ણ અંદર અથવા સંપૂર્ણ બહાર હોય ત્યાં સુધી કોઈ પ્રવાહ પ્રેરિત થશે નહીં.

ઉદાહરણ 6.5

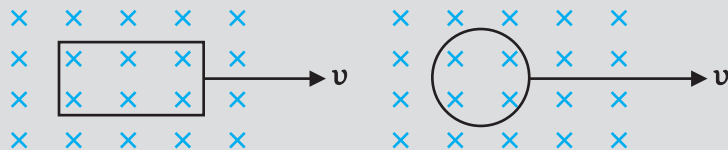
- (a) જરિત રાખેલ બે કાયમી ચુંબકના ઉત્તર અને દક્ષિણધૂંબો વચ્ચેના ચુંબકીયક્ષેત્રમાં એક બંધ ગાળાને સ્થિર રાખેલ છે. શું આપણે ખૂબ જ શક્તિશાળી ચુંબકનો ઉપયોગ કરીને આ ગાળામાં વિદ્યુતપ્રવાહ ઉત્પન્ન કરવાની આશા રાખી શકીએ?
- (b) એક બંધ ગાળો એક મોટા કેપેસીટરની તકતીઓ (Plates) વચ્ચે અચળ વિદ્યુતક્ષેત્રને લંબ ગતિ કરે છે. શું આ ગાળામાં (i) જ્યારે તે સંપૂર્ણ રીતે કેપેસીટર પ્લેટ્સની વચ્ચે હોય કે (ii) જ્યારે તે આંશિક રીતે કેપેસીટરની તકતીની બહાર હોય ત્યારે વિદ્યુતપ્રવાહ પ્રેરિત થશે? આ વિદ્યુતક્ષેત્ર ગાળાના સમતલને લંબ છે.
- (c) એક લંબચોરસ ગાળો અને એક વર્તુળાકાર ગાળો એક સમાન ચુંબકીયક્ષેત્રવાળા વિસ્તારમાંથી બહારની તરફ એક ક્ષેત્ર-મુક્ત વિસ્તાર તરફ અચળ વેગ વિસ્તાર ની ગતિ હોય કે?

ઉદાહરણ 6.4

ઉદાહરણ 6.5

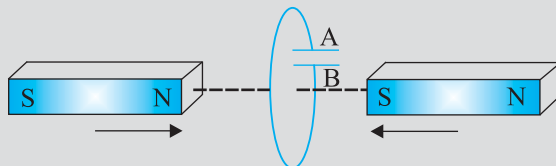


કરે છે (આકૃતિ 6.8). ક્ષેત્ર પ્રદેશથી બહારની તરફના માર્ગમાં કયા ગાળામાં તમે અપેક્ષા કરી શકો કે પ્રેરિત emf અચળ રહેશે? આ વિદ્યુતક્ષેત્ર ગાળાના સમતલને લંબ છે.



આકૃતિ 6.8

(d) આકૃતિ 6.9 દ્વારા વર્ણવેલ પરિસ્થિતિમાં કેપેસીટરની ધ્રુવત્વ (Polarity-ધન કે ઋણ)નું અનુમાન કરો.



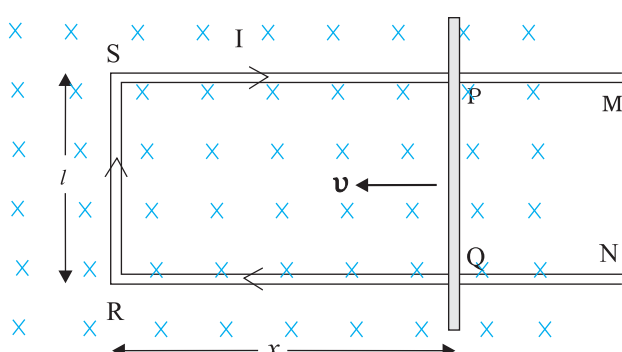
આકૃતિ 6.9

ઉકેલ

- ના. ખૂબ જ શક્તિશાળી ચુંબક હોય તો પણ ગાળામાં વિદ્યુતપ્રવાહ ફક્ત ચુંબકીય ફ્લૂક્સ બદલીને જ પ્રેરિત કરી શકાય છે.
- કોઈ પણ કિસ્સામાં પ્રવાહ પ્રેરિત થતો નથી. વિદ્યુત ફ્લૂક્સને બદલીને વિદ્યુતપ્રવાહ પ્રેરિત કરી શકાતો નથી.
- માત્ર લંબચોરસ ગાળાના કિસ્સામાં જ પ્રેરિત emf અચળ રહેવાની ધારણા છે. ગોળાકાર ગાળાના કિસ્સામાં, ક્ષેત્રના વિસ્તારમાંથી બહાર નીકળતા ગાળાના વિસ્તારના ફેરફારનો દર અચળ નથી, તેથી પ્રેરિત emf ને અનુરૂપ બદલાશે.
- કેપેસીટરમાં ખેટ 'A'નું ધ્રુવત્વ ખેટ 'B'ના સંદર્ભમાં ધન હશે.

6.6 ગતિકીય વિદ્યુતચાલક બળ (MOTIONAL ELECTROMOTIVE FORCE)

ચાલો આપણે એક સીધા વાહકને નિયમિત અને સમય-સ્વતંત્ર ચુંબકીયક્ષેત્રમાં ગતિ કરતો વિચારીએ. આકૃતિ 6.10માં લંબચોરસ વાહક PQRS દર્શાવે છે, જેમાં વાહક PQ ગતિ કરવા માટે મુક્ત છે.



આકૃતિ 6.10 ભુજ PQને ડાબી બાજુએ ખસેડવામાં આવે છે, તેથી, લંબચોરસ ગાળાનું ક્ષેત્રફળ ઘટતું જાય છે. આ ગતિવિધિ અને દર્શાવ્યા મુજબ વિદ્યુતપ્રવાહ I પ્રેરિત કરે છે.

આ સણિયા PQને આકૃતિમાં દર્શાવ્યા મુજબ અચળ વેગ પથી ડાબી તરફ ગતિ કરાવવામાં આવે છે. ધારોકે, ધર્ષણને કારણે ઊર્જાનો કોઈ વધ્ય થતો નથી. PQRS એક બંધ પરિપથ બનાવે છે જેના વડે ઘેરાયેલ ક્ષેત્રફળ PQની ગતિ સાથે બદલાય છે. તેને આ ગોઈવણના સમતલને લંબ એવા એક સમાન ચુંબકીયક્ષેત્ર **B**માં મૂકવામાં આવેલ છે. જો લંબાઈ $RQ = x$ અને $RS = l$ હોય તો, ગાળા PQRS દ્વારા ઘેરાયેલ ચુંબકીય ફ્લૂક્સ

$$\Phi_B = Blx \text{ હશે.}$$

x સમય સાથે બદલતું હોવાથી ફ્લૂક્સ Φ_B ના ફેરફારનો દર emf પ્રેરિત કરશે, જેને નીચે મુજબ આપી શકાય :

$$\begin{aligned}\varepsilon &= \frac{-d\Phi_B}{dt} = -\frac{d}{dt}(Blx) \\ &= -Bl \frac{dx}{dt} = Blv\end{aligned}\quad (6.5)$$

જ્યાં, આપણે $dx/dt = -v$ ઉપયોગ કર્યો છે, તે વાહક PQની ઝડપ છે. પ્રેરિત emf, B/lને ગતિકીય emf કહેવામાં આવે છે. આમ, આપણે ચુંબકીયક્ષેત્રને બદલ્યા વગર વાહકને ખસેડીને અર્થાત, પરિપથ દ્વારા ઘેરાયેલા ચુંબકીય ફ્લક્સને બદલીને પ્રેરિત emf ઉત્પન્ન કરી શકીએ છીએ.

વાહક PQના મુક્ત વિદ્યુતભાર વાહક કણો પર લાગતા લોરેન્ઝ બળને ધ્યાનમાં લઈને પણ સમીકરણ (6.5)માં અભિવયક્ત કરેલ ગતિકીય emfની સમજાવી શકાય છે. આ વાહક PQમાં કોઈપણ યથેચું વિદ્યુતભાર q લો. જ્યારે આ સણિયો p ઝડપથી ગતિ કરે છે, ત્યારે આ વિદ્યુતભાર પણ ચુંબકીયક્ષેત્ર Bમાં p ઝડપ સાથે ગતિ કરશે. આ વિદ્યુતભાર પર qvB મૂલ્યનું લોરેન્ઝ બળ લાગે છે અને તેની દિશા Q તરફની છે. સણિયા PQ પર તેમના સ્થાનથી સ્વતંત્ર તમામ વિદ્યુતભારો આ જ મૂલ્ય અને દિશાના બળનો અનુભવ કરે છે. વિદ્યુતભારને Pથી Q સુધી ખસેડ્વા માટે થતું કાર્ય

$$W = qvBl \quad \text{છે.}$$

emf એ એકમ વિદ્યુતભાર દીઠ થતું કાર્ય હોવાથી

$$\begin{aligned}\varepsilon &= \frac{W}{q} \\ &= Blv\end{aligned}$$

આ સમીકરણ સણિયાના બે છેડા વચ્ચે પ્રેરિત emf આપે છે અને સમીકરણ (6.5)ને સમતુલ્ય છે. અમે અહીં એ વાત પર ભાર મુક્તાએ છીએ કે અમારી આ રજૂઆત સંપૂર્ણરૂપે પરિપૂર્ણ નથી, પરંતુ જ્યારે એક વાહક સમાન અને સમય-સ્વતંત્ર ચુંબકીયક્ષેત્રમાં ગતિ કરતો હોય ત્યારે આ આપણને ફેરેનેના નિયમના આધારને સમજવામાં મદદ કરે છે.

બીજી તરફ, તે સ્પષ્ટ નથી કે જ્યારે વાહક સ્થિર હોય અને ચુંબકીયક્ષેત્ર બદલાતું હોય ત્યારે emf કેવી રીતે પ્રેરિત થાય છે – આ એ હકીકત છે, કે જે ફેરેનેને ઘડા પ્રયોગો દ્વારા ચકાસી હતી. એક સ્થિર વાહકના કિસ્સામાં, તેના વિદ્યુતભારો પરનું બળ

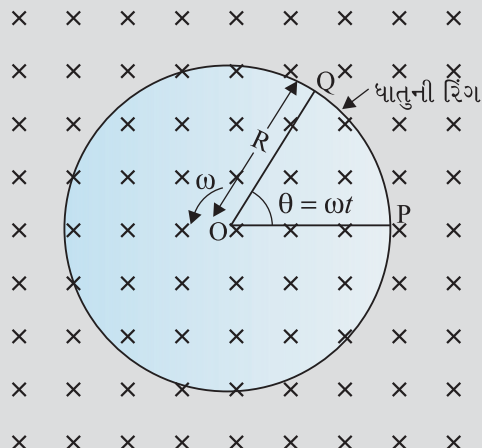
$$F = q(E + v \times B) = qE \quad (6.6)$$

દ્વારા આપવામાં આવે છે કારણ કે, $v = 0$ છે. તેથી, વિદ્યુતભાર પર લાગતું કોઈ પણ બળ માત્ર વિદ્યુતક્ષેત્રના પદ Eમાંથી ઉદ્ભવશે. તેથી, પ્રેરિત emf અથવા પ્રેરિત વિદ્યુતપ્રવાહના અસ્તિત્વને સમજાવવા માટે, આપણે એવું ધ્યારવું જ પડે કે સમય સાથે બદલાતું ચુંબકીયક્ષેત્ર વિદ્યુતક્ષેત્રને ઉત્પન્ન કરે છે. જો કે, આપણે એ માનવા માટે ઉતાવળ કરીએ છીએ કે, સ્થિર વિદ્યુતભાર દ્વારા ઉત્પાદિત વિદ્યુતક્ષેત્ર અને સમય સાથે બદલાતા ચુંબકીયક્ષેત્રો દ્વારા ઉત્પાદિત વિદ્યુતક્ષેત્રને અલગ અલગ ગુણધર્મો હોય છે. પ્રકરણ-4માં, આપણે શીખ્યા કે ગતિમાન વિદ્યુતભાર (વિદ્યુતપ્રવાહ) સ્થિર ચુંબક પર બળ/બળયુગ્મ (ટોક) લગાવી શકે છે. તેથી ઉલદું, ગતિમાન ગજિયો ચુંબક (અથવા વધુ વ્યાપક રીતે, બદલાતું ચુંબકીયક્ષેત્ર) સ્થિર વિદ્યુતભાર પર બળ લગાડી શકે છે. ફેરેનેની શોધનું આ મૂળભૂત મહત્વ છે. વિદ્યુત અને અને ચુંબકત્વ સંબંધિત છે.

ઉદાહરણ 6.6 જેનો એક છેડો 1 m ત્રિજ્યાના ગોળાકાર ધાતુની રિંગ (વલય)ના કેન્દ્રમાં લટકાવેલ અને બીજો છેડો પરિધિ પર હોય તેવા 1 m ની લંબાઈના ધાતુના એક સણિયાને 50 rev/s આવૃત્તિ સાથે કેન્દ્રમાંથી પસાર થતી અને રિંગના સમતલને લંબ અક્ષને અનુલક્ષીને ભ્રમણ કરાવવામાં આવે છે (આવૃત્તિ 6.11). અક્ષને સમાંતર 1 Tનું અચળ અને એકસમાન ચુંબકીયક્ષેત્ર બધે જ પ્રવર્ત્તિત છે. આ કેન્દ્ર અને ધાતુની રિંગ વચ્ચે કેટલું emf હશે ?



Interactive animation on motional emf:
<http://hgsir.netfirms.com/englishhtm/Induction.htm>
http://webphysics.davidson.edu/physlet_resources/bu_semester2/index.html



આહુતિ 6.11

ઉકેલ

રીત - I

જેમ સાણિયો ફરે છે તેમ, લોરેન્ઝ બળને કારણે સાણિયાના મુક્ત ઈલેક્ટ્રોન બાદ્ય છેડા તરફ ગતિ કરે છે અને રિંગ પર વિતરીત થાય છે. આ રીતે, વિદ્યુતભારોના અલગ થવાના પરિણામે સાણિયાના છેડા વચ્ચે emf ઉત્પન્ન થાય છે. emf ના કોઈ એક ચોક્કસ મૂલ્ય માટે આનાથી વધુ ઈલેક્ટ્રોનનું વહન નથી હોતું અને એક સ્થિર સ્થિતિ પ્રાપ્ત થાય છે. સમીકરણ (6.5)નો ઉપયોગ કરીને, સાણિયો ચુંબકીયક્ષેત્રને કાટખૂણે ગતિ કરતો હોવાથી તેની લંબાઈ dr માં ઉત્પન્ન થતાં emfનું મૂલ્ય નીચે મુજબ આપવામાં આવે છે,

$$d\epsilon = Bvdr. \text{ તેથી}$$

$$\epsilon = \int d\epsilon = \int_0^R Bvdr = \int_0^R B\omega r dr = \frac{B\omega R^2}{2}$$

નોંધો કે આપણે $v = \omega r$ નો ઉપયોગ કર્યો છે. આ પરથી

$$\begin{aligned} \epsilon &= \frac{1}{2} \times 1.0 \times 2\pi \times 50 \times (1^2) \\ &= 157 \text{ V} \end{aligned}$$

રીત - II

આ emfની ગણતરી કરવા માટે, આપણે બંધ ગાળો OPQની કલ્યના કરી શકીએ છીએ, જેમાં બિંદુ O અને P, અવરોધ R સાથે જોડાયેલા છે અને OQ ભ્રમણ કરતો સાણિયો છે. અવરોધના બે છેડા વચ્ચેનો વિદ્યુતસ્થિતિમાનનો તફાવત એ પ્રેરિત emf ની બરાબર છે અને $B \times (\text{ગાળાના ક્ષેત્રફળના ફેરફારનો દર})$ જેટલો છે. જો t સમયે સાણિયા અને P પર વર્તુળની ત્રિજ્યા વચ્ચેનો ખૂણો θ હોય તો તે OPQ વિભાગનું ક્ષેત્રફળ

$$\pi R^2 \times \frac{\theta}{2\pi} = \frac{1}{2} R^2 \theta \text{ દ્વારા આપવામાં આવે છે.}$$

જ્યાં R એ વર્તુળની ત્રિજ્યા છે. તેથી, પ્રેરિત emf

$$\epsilon = B \times \frac{d}{dt} \left[\frac{1}{2} R^2 \theta \right] = \frac{1}{2} BR^2 \frac{d\theta}{dt} = \frac{B\omega R^2}{2}$$

$$[\text{નોંધો : } \frac{d\theta}{dt} = \omega = 2\pi v]$$

આ સમીકરણ રીત I દ્વારા મેળવાયેલ સમીકરણને સમાન છે અને આપણાને દના સમાન મૂલ્ય મળે છે.

ઉદાહરણ 6.7 0.5 mના લંબાઈના ધાતુના 10 આરા (Spoke) ધરાવતું એક વીલ એક સ્થળ પર પૃથ્વીના ચુંબકીયક્ષેત્રના સમક્ષિતિજ ઘટક H_E ને લંબ એવા એક સમતલમાં 120 rev/minની ઊપે ફરે છે. જો આ સ્થાન પર $H_E = 0.4 \text{ G}$, હોય તો ધરી (Axe) અને વીલના રિમ વચ્ચે પ્રેરિત emf શું હશે ? નોંધો કે $1 \text{ G} = 10^{-4} \text{ T}$.

ઉકેલ

$$\begin{aligned}\text{પ્રેરિત } emf &= (1/2) \omega B R^2 \\ &= (1/2) \times 4\pi \times 0.4 \times 10^{-4} \times (0.5)^2 \\ &= 6.28 \times 10^{-5} \text{ V}\end{aligned}$$

અહીં, આરાની સંખ્યા અગત્યની નથી કારણકે આરામાનું emf સમાંતર છે.

ઉદાહરણ 6.7

6.7 ઉર્જાની વિચારણા : એક માત્રાત્મક અભ્યાસ

(ENERGY CONSIDERATION : A QUANTITATIVE STUDY)

પરિચ્છેદ 6.5માં, આપણે ગુણાત્મક રીતે ચર્ચા કરી કે લેન્જનો નિયમ ઉર્જા સંરક્ષણના નિયમ સાથે સુસંગત છે. હવે આપણે આ પાસાને નક્કર ઉદાહરણ સાથે સમજવાનો પ્રયત્ન કરીશું.

આકૃતિ 6.10માં બતાવ્યા પ્રમાણે, લંબચોરસ સુવાહક લો કે જેની સરકી શકે તેવી PQ બાજુનો અવરોધ r છે. આપણે ધારીએ છીએ કે બાકીની બાજુઓ QR, RS અને SPના અવરોધ એ રીતે તુલનામાં અવગણ્ય છે. આમ, લંબચોરસ લૂપનો સમગ્ર અવરોધ r છે અને જેમ પ્રેરિત emf ખસેડવામાં આવે છે તેમ આ બદલાતો નથી. આ ગણામાં વિદ્યુતપ્રવાહ I છે,

$$\begin{aligned}I &= \frac{\epsilon}{r} \\ &= \frac{B l v}{r} \quad (6.7)\end{aligned}$$

ચુંબકીયક્ષેત્રની હાજરીના લીધે, બાજુ PQ પર એક બળ હશે. આ બળ $I(l \times B)$, બહારની તરફ સળિયાના વેગથી વિરુદ્ધ દિશામાં લાગે છે. આ બળનું મૂલ્ય,

$$F = I l B = \frac{B^2 l^2 v}{r}$$

છે અહીં, આપણે સમીકરણ (6.7)નો ઉપયોગ કર્યો છે. નોંધો કે, આ બળ સળિયાની દિશામાં વિદ્યુતભારો (વિદ્યુતપ્રવાહ માટે જવાબદાર)ના ડ્રિફ્ટ વેગ અને પરિણામે તેમના પર લાગતાં લોરેન્ઝ બળના કારણે છે.

વૈકલ્પિક રીતે, બાજુ PQને અચળ ઊપર v સાથે ગતિ કરાવવામાં આવે, આમ કરવા માટે જરૂરી પાવર

$$\begin{aligned}P &= F v \\ &= \frac{B^2 l^2 v^2}{r} \quad (6.8)\end{aligned}$$

છે. અતે, આમ કરવા જરૂરી પરિબળ એ યાંત્રિક છે. આ યાંત્રિક ઉર્જા ક્યાં જાય છે ? જવાબ છે : તે જૂલ ઉઝા (Joule Heat) તરીકે વય પામે છે, અને તેને

$$P_J = I^2 r = \left(\frac{Blv}{r}\right)^2 r = \frac{B^2 l^2 v^2}{r}$$

દ્વારા આપવામાં આવે છે. જે સમીકરણ (6.8) ને સમાન છે.

આમ, યાંત્રિકઉર્જા કે જે ભુજા PQને ખસેડવા માટે જરૂરી હતી તે વિદ્યુતઉર્જા (પ્રેરિત *emf*) અને પછી ઉષા ઉર્જામાં રૂપાંતરિત થાય છે.

પરિપથમાંથી વહન પામતા વિદ્યુતભાર અને ચુંબકીય ફ્લક્સમાં થતાં ફેરફાર વચ્ચે એક રસપ્રદ સંબંધ છે. ફેરેનેના નિયમ પરથી, આપણે શીખ્યા છીએ કે પ્રેરિત *emf*નું મૂલ્ય

$$|\varepsilon| = \frac{\Delta \Phi_B}{\Delta t} \quad \text{છ.}$$

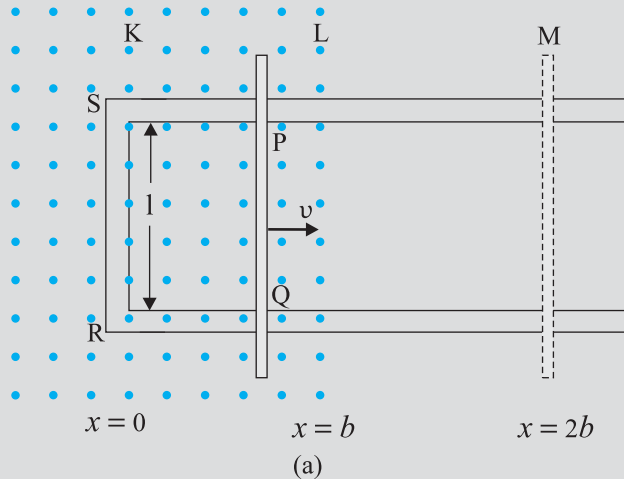
જો કે,

$$|\varepsilon| = Ir = \frac{\Delta Q}{\Delta t} r$$

આમ,

$$\Delta Q = \frac{\Delta \Phi_B}{r}$$

ઉદાહરણ 6.8 આનુક્તિ 6.12 (a)નો સંદર્ભ લો. લંબચોરસ વાહકની ભુજા PQને $x = 0$ થી બહારની તરફ ગતિ કરાવવામાં આવે છે. એકસમાન ચુંબકીયક્ષેત્ર સમતલને લંબ છે અને $x = 0$ થી $x = b$ સુધી વિસ્તરેલ છે અને $x > b$ માટે શૂન્ય છે. માત્ર ભુજા PQ જ નોંધપાત્ર અવરોધ r ધરાવે છે. જ્યારે PQને અગળ ઝડપ લ સાથે $x = 0$ થી $x = 2b$ સુધી બહારની તરફ ભેંચવામાં આવે અને ત્યારબાદ $x = 0$ પર પરત ખસેડવામાં આવે તે સ્થિતિનો વિચાર કરો. ફ્લક્સ, પ્રેરિત *emf*, ભુજાને ભેંચવા માટે જરૂરી બળ અને જૂલ ઉષા તરીકે વ્યય થતા પાવર માટેના સૂત્રો મેળવો. અંતર સાથે આ રાશિઓના બદલાવને રેખાંકિત કરો.



આનુક્તિ 6.12

ઉકેલ

પહેલા આપણે $x = 0$ થી $x = 2b$ આગળની ગતિ માટે વિચાર કરીએ. આ પરિપથ SPQR સાથે જોડાયેલા ફ્લક્સ Φ_B છે.

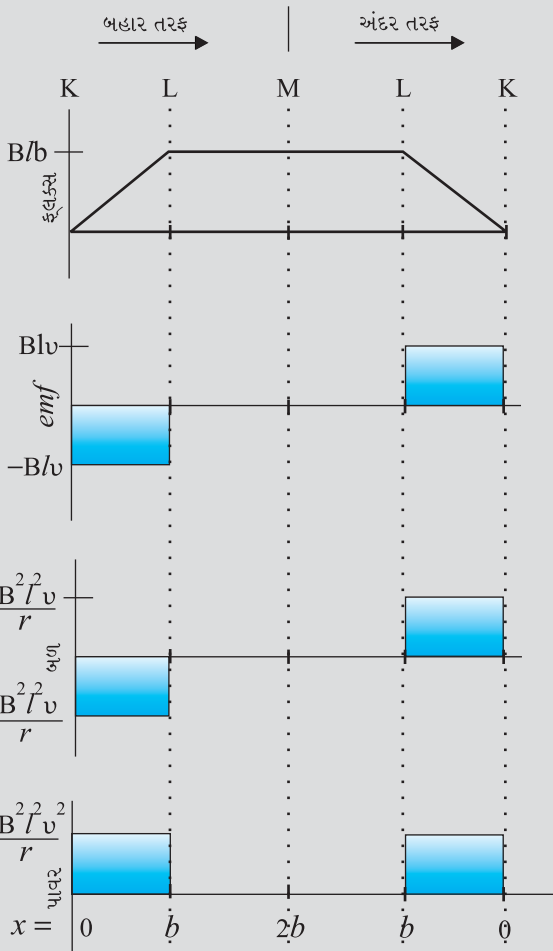
$$\begin{aligned}\Phi_B &= Blx & 0 \leq x < b \\ &= Blb & b \leq x < 2b\end{aligned}$$

પ્રેરિત *emf*

$$\begin{aligned}\varepsilon &= \frac{-d\Phi_B}{dt} \\ &= -Blv & 0 \leq x < b \\ &= 0 & b \leq x < 2b\end{aligned}$$

જ્યારે પ્રેરિત emf શૂન્ય ના હોય, તારે વિદ્યુતપ્રવાહ I (મૂલ્યમાં)

$$I = \frac{Blv}{r}$$



(b)
આકૃતિ 6.12

I/B એ ભુજ �PQને સતત અચળ ગતિમાં રાખવા માટે જરૂરી બળ છે. તેની હિસાડબી તરફની છે. આ બળનું માન

$$F = \frac{B^2 l^2 v}{r} \quad 0 \leq x < b$$

$$= 0 \quad b \leq x < 2b$$

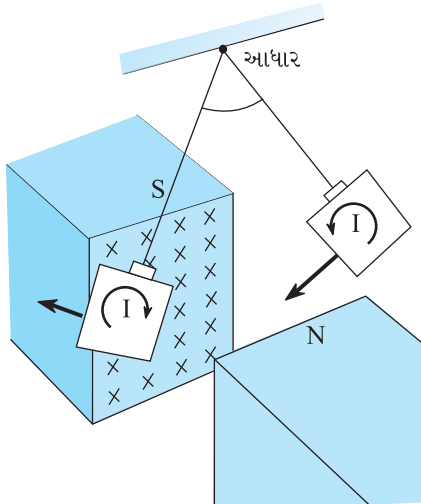
જૂલ (ઉખાનો) વ્યય

$$\begin{aligned} P_J &= I^2 r \\ &= \frac{B^2 l^2 v^2}{r} \quad 0 \leq x < b \\ &= 0 \quad b \leq x < 2b \end{aligned}$$

આમ $x = 2b$ થી $x = 0$ ની અંદર ગતિ માટે સમાન સૂત્રો મળે છે. આકૃતિ 6.12(b)માં પ્રદર્શિત વિવિધ રાશિઓના ચિત્રનું અવલોકન કરીને સમગ્ર પ્રક્રિયાને સમજ શકાય છે.

6.8 ધૂમરી પ્રવાહો (EDDY CURRENTS)

અત્યાર સુધી આપણે વાહકમાં વર્તુળકાર ગાળા જેવા સુવ્યાખ્યાયિત પથમાં પ્રેરિત વિદ્યુતપ્રવાહોનો અભ્યાસ કર્યો છે. વાહકના મોટા ટુકડાઓને પણ જ્યારે બદલાતાં ચુંબકીય ફ્લૂક્સમાં મૂકવામાં આવે છે, ત્યારે તેમાં પણ પ્રેરિત પ્રવાહો ઉત્પન્ન થાય છે. જો કે, તેમના વહનની પેટર્ન (ભાત, પ્રકાર) પાણીમાં ધૂમરાતાં વમળો જેવી હોય છે. આ અસર ભौતિકશાસ્કી ફૂકો (1819-1868) દ્વારા શોધવામાં આવી હતી અને આ પ્રવાહોને ધૂમરી પ્રવાહ કહેવામાં આવે છે.



આકૃતિ 6.13 ચુંબકીયક્ષેત્રના વિસ્તારમાં પ્રવેશતા કે તેમાંથી બહાર જતાં, તાંબાની પ્લેટમાં ધૂમરી પ્રવાહો ઉત્પન્ન થાય છે.

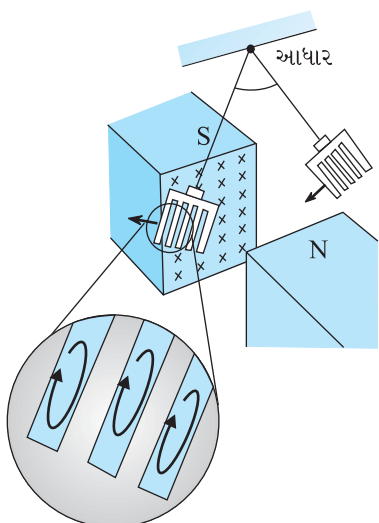
આકૃતિ 6.13માં બતાવ્યા પ્રમાણેનું એક ઉપકરણ ધ્યાનમાં લો. એક પ્રબળ ચુંબકના ધ્રુવો વચ્ચે તાંબાની પ્લેટને એક સરળ લોલકની જેમ દોલન કરવા દેવામાં આવે છે. આમાં એવું જોવા મળ્યું કે દોલન ગતિનું અવમંદન થાય છે અને થોડાક સમયમાં પ્લેટ ચુંબકીયક્ષેત્રમાં સ્થિર થઈ જાય છે. આપણે વિદ્યુતચુંબકીય પ્રેરણના આધારે આ ઘટનાને સમજાવી શકીએ છીએ. જ્યારે પ્લેટ ચુંબકીય ધ્રુવો વચ્ચેના વિસ્તારમાં પ્રવેશ કરે અને બહાર નીકળે છે, ત્યારે આ પ્લેટ સાથે સંકળાયેલ ચુંબકીય ફ્લૂક્સ સતત બદલાતું રહે છે. આ ફ્લૂક્સનો ફેરફાર પ્લેટમાં ધૂમરી પ્રવાહ પ્રેરિત કરે છે. જ્યારે પ્લેટ, ધ્રુવો વચ્ચેના વિસ્તારમાં પ્રવેશે છે ત્યારે અને જ્યારે તે આ વિસ્તારમાંથી બહાર જાય છે, ત્યારે ધૂમરી પ્રવાહોની ટિશા વિરુદ્ધ હોય છે.

આકૃતિ 6.14માં બતાવ્યા પ્રમાણે જો કોપર પ્લેટમાં લંબાયોરસ ખાંચા પાડવામાં આવે તો ધૂમરી પ્રવાહોના વહન માટે ઉપલબ્ધ વિસ્તાર ઓછો થાય છે. આમ, છિદ્ર અથવા ખાંચા ધરાવતી લોલકની પ્લેટ વિદ્યુતચુંબકીય અવમંદન ઘટાડે છે અને પ્લેટ વધુ મુક્તપણે જૂલે છે. નોંધો કે પ્રેરિત પ્રવાહોની ચુંબકીય ચાકમાત્રાઓ (જે ગતિનો વિરોધ કરે છે) પ્રવાહો દ્વારા ઘરાતા ક્ષેત્રફળ પર આધાર રાખે છે (પ્રકરણ-4માંનું સમીકરણ $m = IA$ યાદ કરો).

આ હકીકત ટ્રાન્સફોર્મર્સના ધાતુના ગર્ભ (Cores)માં ધૂમરી પ્રવાહ ઘટાડવામાં મદદરૂપ થાય છે. ઈલેક્ટ્રોિક મોટર અને આવા અન્ય ઉપકરણોમાં ગુંચળું ધાતુના ગર્ભ પર વીટાળેલ હોય છે. ધૂમરી પ્રવાહો અનિયાનીય છે કારણ કે તેઓ ગર્ભને ગરમ કરે છે અને ઉભાના સ્વરૂપમાં વિદ્યુતઊર્જાનો વ્યય કરે છે. ધાતુનો ગર્ભ બનાવવા માટે ધાતુના આવરણો (સૂક્ષ્મ પડ) (Laminations)નો ઉપયોગ કરીને ધૂમરી પ્રવાહોને ઘટાડી શકાય છે. આ આવરણો એ વાર્નિશ (Lacquer) જેવા અવાહક પદાર્થથી અલગ પાઢેલ હોય છે. આ આવરણોનું સમતલ ચુંબકીયક્ષેત્રને સમાંતર જ ગોઠવવું જોઈએ, જેથી તેઓ ધૂમરી પ્રવાહના પથો કાપી શકે. આવી રચના ધૂમરી પ્રવાહની તીવ્રતા ઘટાડે છે. વિદ્યુત ઊર્જાનું ઉભાના વ્યય એ વિદ્યુતપ્રવાહની તીવ્રતાના વર્ગ પર આધાર રાખે છે. તેથી ઉભાના પ્રમાણમાં નોંધપાત્ર ઘટાડો થાય છે.

ધૂમરી પ્રવાહો કેટલીક રચનાઓના ઉપયોગોમાં લાભકારક છે જેમ કે :

- ટ્રેનમાં મેગનેટિક બ્રેકીંગ :** પ્રબળ (શક્તિશાળી) વિદ્યુતચુંબકો કેટલીક વિદ્યુત સંચાલિત ટ્રેનમાં પાટાઓની ઉપર સ્થિત હોય છે. જ્યારે વિદ્યુતચુંબકો સક્રિય થાય છે, ત્યારે ટ્રેનમાં પ્રેરિત ધૂમરી પ્રવાહ ટ્રેનની ગતિનો વિરોધ કરે છે. આમાં કોઈ યાંત્રિક જોડાણો ન હોવાથી બ્રેકીંગ અસર જટકા રહિત છે.
- વિદ્યુતચુંબકીય અવમંદન (Electromagnetic Damping) :** કેટલાંક ગેલેનોમીટરમાં બિનયચુંબકીય ધાતુની સામગ્રીમાંથી બનેલો સ્થિર ગર્ભ (કોર) હોય છે. જ્યારે ગુંચળું દોલન કરે છે, ત્યારે ગર્ભમાં ઉત્પન્ન થયેલ ધૂમરી પ્રવાહો ગતિનો વિરોધ કરે છે અને ગુંચળાને જડપથી સ્થિર સ્થિતિમાં લાવે છે.



આકૃતિ 6.14 તાંબાની પ્લેટમાં કાપેલા ખાંચાઓ ધૂમરી પ્રવાહોની અસર ઘટાડે છે.

- (iii) પ્રેરણ-ભડી (Induction Furnace) : ઈન્ડક્શન ફર્ન્સના ઉપયોગથી ઉચ્ચ તાપમાન ઉત્પન્ન કરીને ઘટક ધાતુઓને પિગાળીને મિશ્રધાતુ તૈયાર કરી શકાય છે. જે ધાતુઓને ઓગાળવાની હોય તેની આસપાસ વીટાળેલ ગૂંચળામાંથી એક ઉચ્ચ આવૃત્તિવાળો ઓલ્ટરન્ટિંગ પ્રવાહ (ac) પસાર કરવામાં આવે છે. ધાતુઓમાં ઉત્પન્ન થતા ધૂમરી પ્રવાહો તેને પીગાળી શકે તેટલા ઊંચા તાપમાનો ઉત્પન્ન કરે છે.
- (iv) ઈલેક્ટ્રોક પાવર મીટર : ઈલેક્ટ્રોક પાવર મીટર (અનાલોગ ટાઈપ)માં ચમકતી ધાતુની તક્તી (Disc), ધૂમરી પ્રવાહોને કારણે ફરે છે. ગૂંચળામાં જયાવર્તી (Sinusoidally) બદલાતાં પ્રવાહો દ્વારા ઉત્પન્ન ચુંબકીયક્ષેત્રો દ્વારા તક્તીમાં વિદ્યુતપ્રવાહો પ્રેરિત કરવામાં આવે છે. તમે તમારા ધરના પાવર મીટરમાં ફરતી ચમકતી તક્તીને જોઈ શકો છો.

વિદ્યુતચુંબકીય અવમંદન (ELECTROMAGNETIC DAMPING)

એલ્યુમિનિયમ અને પીવીસીના બજેલા સમાન આંતરિક વ્યાસના બે પોલા પાતળા નળાકાર પાઈપ લો. રિટોર્ટ સ્ટેન્ડસ પર કલેમ્પ વડે તેમને ઊભી રાખો. પાઈપના આંતરિક વ્યાસ કરતા નાના વ્યાસનું નળાકાર ચુંબક લો અને તેને દરેક પાઈપમાં એવી રીતે પડવા દો કે ચુંબક તેના પતન દરમિયાન પાઈપોની બાજુઓને ન સ્પર્શો. તમે જોશો કે પીવીસી પાઈપમાં છોડવામાં આવેલું ચુંબક પાઈપમાંથી બહાર આવવા માટેનો તેટલો જ સમય લે છે, જેટલો પાઈપ વગર તે જ ઊંચાઈથી છોડવામાં આવે ત્યારે તે લેશો. દરેક કિસ્સામાં પાઈપમાંથી બહાર આવવા માટે તે જે સમય લે છે તે નોંધો. તમે જોશો કે ચુંબક એલ્યુમિનિયમ પાઈપના કિસ્સામાં વધારે સમય લે છે. આમ શા માટે છે? તે ધૂમરી પ્રવાહોને કારણે છે કે જે એલ્યુમિનિયમ પાઈપમાં પેદા થાય છે, જે ચુંબકીય ફ્લૂક્સ ફેરફારનો એટલે કે, ચુંબકની ગતિનો વિરોધ કરે છે. ધૂમરી પ્રવાહને કારણે ગતિરોધક બળ ચુંબકની ગતિને અવરોધે છે. આવી ઘટનાઓને વિદ્યુતચુંબકીય અવમંદન (ઇલેક્ટ્રોમેન્ટિક ટેમ્પોર) તરીકે ઓળખવામાં આવે છે. નોંધો કે, પીવીસી પાઈપમાં ધૂમરી પ્રવાહો પેદા થતા નથી કારણ કે તેનું દ્રવ્ય એક અવાહક છે જ્યારે એલ્યુમિનિયમ એક વાહક છે.

6.9 પ્રેરકત્વ (INDUCTANCE)

કોઈ એક ગૂંચળામાં તેના નજીક રહેલ અન્ય ગૂંચળા દ્વારા ફ્લૂક્સમાં ફેરફાર ઉત્પન્ન કરીને અથવા તે જ ગૂંચળા દ્વારા ફ્લૂક્સમાં ફેરફાર કરીને વિદ્યુતપ્રવાહ પ્રેરિત કરી શકાય છે. આ બે પરિસ્થિતિઓને હવે પછીના બે પેટા-વિભાગોમાં અલગથી વર્ણવવામાં આવેલ છે. જો કે, આ બંને કિસ્સાઓમાં, ગૂંચળા સાથે સંકળાયેલ ફ્લૂક્સ વિદ્યુતપ્રવાહના સમપ્રમાણમાં છે. એટલે કે, $\Phi_B \propto I$. વધુમાં, જો ગૂંચળાનો આકાર (ભૂમિતિ) સમય સાથે બદલાતો ન હોય તો,

$$\frac{d\Phi_B}{dt} \propto \frac{dI}{dt}$$

ખૂબ જ નજીક વીટાળેલ N અંટાવાળા ગૂંચળા માટે, બધા અંટા સાથે સમાન ચુંબકીય ફ્લૂક્સ સંકળાયેલ હોય છે. જ્યારે ગૂંચળાને સંલગ્ન ફ્લૂક્સ Φ_B માં ફેરફારો થાય છે, ત્યારે દરેક આંટો પ્રેરિત emf માં ફાળો આપે છે. તેથી, સંલગ્ન ફ્લૂક્સ (Flux Linkage) તરીકે ઓળખાતું એક પદ વપરાય છે. જે ખૂબ જ નજીક વીટાળેલ અંટાવાળા ગૂંચળા માટે $N\Phi_B$ બરાબર હોય છે અને આવા કિસ્સામાં

$N\Phi_B \propto I$
આ સંબંધમાં સમપ્રમાણતા અચળાંકને પ્રેરકત્વ કહેવાય છે. આપણે જોઈશું કે, પ્રેરકત્વ ગૂંચળાની ભૂમિતિ (આકાર) અને દ્રવ્યના આંતરિક ગુણધર્મો પર જ આધાર રાખે છે. આ બાબત કેપેસીટન્સના જેવી છે, જે



ભौतિકવિજ્ઞાન

સમાંતર પ્લેટ કેપેસિટર માટે પ્લેટનું ક્ષેત્રફળ અને પ્લેટ વચ્ચેના અંતર (ભૂમિતિ) અને વચ્ચે રહેલા માધ્યમના પરાવિદ્યુત (ડાઈલેક્ટ્રીક) અચળાંક K (દ્રવ્યનો આંતરિક ગુણધર્મ) પર આધારિત છે.

પ્રેરકત્વ એક અદિશ રાશિ છે. તેના પરિમાણો $[ML^2T^{-2}A^{-2}]$ છે, જે ફ્લક્સના પરિમાણોને પ્રવાહના પરિમાણો વડે ભાગીને (ભાગાકાર કરીને) આપવામાં આવે છે. પ્રેરકત્વનો SI એકમ હેન્રી (Herny) છે અને તેને H દ્વારા દર્શાવવામાં આવે છે. જોસેફ હેન્રી કે જેમણે USAમાં વિદ્યુતચુંબકીય પ્રેરણ શોધ્યું હતું, તેમના માનમાં આ નામ આપવામાં આવ્યું હતું, જે ઇંગ્લેન્ડમાં ફેરેની શોધથી સ્વતંત્ર હતું.

6.9.1 અન્યોન્ય પ્રેરકત્વ (Mutual Inductance)

આંકૃતિ 6.15નો વિચાર કરો, જે 1 લંબાઈના લાંબા બે સમઅક્ષીય સોલેનોઇડ્સ દર્શાવે છે. આપણે અંદરના સોલેનોઇડ્સ S_1 ની ત્રિજ્યાને r_1 અને એકમ લંબાઈ દીઠ આંટાની સંખ્યાને n_1 થી દર્શાવી છીએ. બાદ સોલેનોઇડ્સ S_2 માટે આ રાશિઓ અનુકૂળ રીતે r_2 અને n_2 અનુકૂળ રીતે આપ્યા છે.

જ્યારે S_2 માં વિદ્યુતપ્રવાહ I_2 ને પસાર કરવામાં આવે છે, ત્યારે તે S_1 માં ચુંબકીય ફ્લક્સ પ્રસ્થાપિત કરે છે. ચાલો તેને (આંટાદીઠ ફ્લક્સને) Φ_1 દ્વારા દર્શાવી છો. આને અનુરૂપ સોલેનોઇડ્સ S_1 સાથે સંકળાયેલ ફ્લક્સ

$$N_1\Phi_1 = M_{12}I_2 \quad (6.9)$$

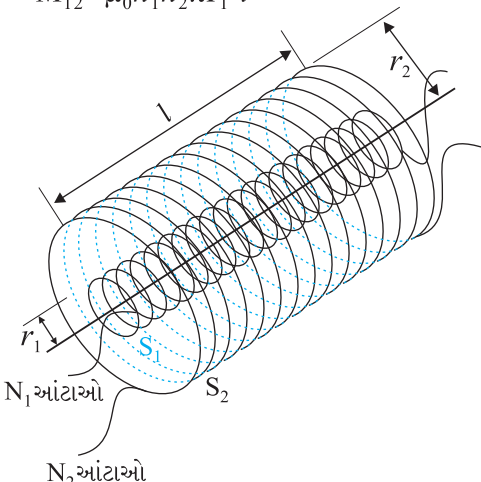
છે. M_{12} ને સોલેનોઇડ્સ S_1 ના સોલેનોઇડ્સ S_2 ની સાપેક્ષે અન્યોન્ય પ્રેરકત્વ તરીકે ઓળખવામાં આવે છે. તેને અન્યોન્ય પ્રેરણ અચળાંક તરીકે પણ ઓળખવામાં આવે છે.

આ સાદા સમઅક્ષીય સોલેનોઇડ્સ માટે M_{12} ની ગણતરી કરવી શક્ય છે. વિદ્યુતપ્રવાહ I_2 ને કારણે S_2 માં ચુંબકીયક્ષેત્ર $\mu_0n_2I_2$ છે. પરિણામે ગૂંઘળા S_1 સાથે સંકળાયેલ ફ્લક્સ

$$\begin{aligned} N_1\Phi_1 &= (n_1l)(\pi r_1^2)(\mu_0n_2I_2) \\ &= \mu_0n_1n_2\pi r_1^2/I_2 \end{aligned} \quad (6.10)$$

છે. જ્યાં, n_1l એ સોલેનોઇડ્સ S_1 માંના કુલ આંટાઓની સંખ્યા છે. આમ, સમીકરણ (6.9) અને સમીકરણ (6.10) પરથી,

$$M_{12} = \mu_0n_1n_2\pi r_1^2/l \quad (6.11)$$



આંકૃતિ 6.15 સમાન લંબાઈ ના બે લાંબા સમઅક્ષીય સોલેનોઇડ્સ

નોંધો કે, આપણે ધાર (છેડા)ની અસરોને અવગાળી છે અને ચુંબકીયક્ષેત્ર $\mu_0n_2I_2$ ને સોલેનોઇડ્સ S_2 ની લંબાઈ અને પહોળાઈ પર એક સમાન લેવામાં આવેલ છે. સોલેનોઇડ્સ લાંબો છે એટલે કે $l \gg r_2$ છે તે ધ્યાનમાં રાખતાં આ એક સારી સંનિકટતા છે.

આપણે હવે વિરુદ્ધ કિસ્સો ધ્યાનમાં લઈશું. એક વિદ્યુતપ્રવાહ I_1 સોલેનોઇડ્સ S_1 માંથી પસાર થાય છે અને ગૂંઘળા S_2 સાથે સંકળાયેલ ફ્લક્સ

$$N_2\Phi_2 = M_{21}I_1 \quad (6.12)$$

છે. સોલેનોઇડ્સ S_1 ના સાપેક્ષમાં M_{21} ને સોલેનોઇડ્સ S_2 નું અન્યોન્ય પ્રેરકત્વ કહેવામાં આવે છે.

વિદ્યુતપ્રવાહ I_1 ને કારણે S_1 માંના ફ્લક્સને સંપૂર્ણપણે S_1 ની અંદર જ મર્યાદિત થયેલ ધારી શકાય છે, કારણ કે સોલેનોઇડ્સ ખૂબ જ લાંબો છે. આમ, સોલેનોઇડ્સ S_2 સાથે સંકળાયેલ ફ્લક્સ

$$N_2\Phi_2 = (n_2l)(\pi r_1^2)(\mu_0n_1I_1)$$

છે. જ્યાં, n_2l એ S_2 ના કુલ આંટાઓની સંખ્યા છે. સમીકરણ (6.12) પરથી,

$$M_{21} = \mu_0 n_1 n_2 \pi r_1^2 l \quad (6.13)$$

સમીકરણ (6.11) અને સમીકરણ (6.12)નો ઉપયોગ કરતાં આપણાને

$$M_{12} = M_{21} = M \quad (\text{ધારો}) \quad (6.14)$$

મળશે. આપણે લાંબા સમઅક્ષીય સોલેનોઇડસ માટે આ સમાનતા દર્શાવી છે. જો કે, આ સંબંધ વધુ વ્યાપક છે, નોંધો કે, જો આંતરિક સોલેનોઇડ એ બાબ્ય સોલેનોઇડ કરતાં ખૂબ ટૂંકા હોય (અને ખૂબ જ અંદર રાખવામાં આવેલ હોય), તો પણ હજુ આપણે સંકળાયેલ ફ્લક્સ $N_1 \Phi_1$ ગણી શકીએ છીએ, કારણ કે અંદરનો સોલેનોઇડ બાબ્ય સોલેનોઇડના કારણે ઉદ્ભવતા સમાન ચુંબકીયક્ષેત્રમાં અસરકારક રીતે સંપૂર્ણપણે રહેલ છે. આ કિસ્સામાં M_{12} ની ગણતરી સરળ હશે. જો કે, બાબ્ય સોલેનોઇડ સાથે સંકળાયેલ ફ્લક્સની ગણતરી કરવી અત્યંત મુશ્કેલ હશે કારણ કે અંદરના સોલેનોઇડને લીધે બાબ્ય સોલેનોઇડની લંબાઈ પર તેમજ આડછેદમાં ચુંબકીયક્ષેત્ર બદલાય છે. તેથી, આ M_{12} ની ગણતરી પણ આ કિસ્સામાં અત્યંત મુશ્કેલ હશે. આવી પરિસ્થિતિઓમાં સમાનતા $M_{12} = M_{21}$ ખૂબ ઉપયોગી છે.

આપણે ઉપરના ઉદાહરણમાં સોલેનોઇડની અંદરના માધ્યમને હવા ગણીને સમજાવું છે. તેના બદલે, જો કોઈ સાપેક્ષ પરમીઓબિલિટી μ_r વાળું માધ્યમ હાજર હોત, તો અન્યોન્ય પ્રેરકત્વ

$$M = \mu_r \mu_0 n_1 n_2 \pi r_1^2 l$$

હશે. એ જાણવું પણ મહત્વનું છે કે ગુંચળા, સોલેનોઇડસ, વગેરેની એક જોડીનું અન્યોન્ય પ્રેરકત્વ, તેમની વચ્ચેના અંતર તેમજ તેમના સાપેક્ષ નમન પર આધારિત છે.

ઉદાહરણ 6.9 બે સમકેન્દ્રિત ગોળાકાર ગુંચળા, એક નાની ત્રિજ્યા r_1 નું અને બીજું મોટી ત્રિજ્યા r_2 નું કે જ્યાં, $r_1 \ll r_2$ ને કેન્દ્રો સંપાત થાય તેમ સમઅક્ષીય મૂકવામાં આવેલ છે. આ ગોઠવણાનું અન્યોન્ય પ્રેરકત્વ મેળવો.

ઉકેલ

બાબ્ય ગોળાકાર ગુંચળામાં વિદ્યુતપ્રવાહ I_2 વહે છે તેમ લો. આ ગુંચળાના કેન્દ્રમાં ક્ષેત્ર $B_2 = \mu_0 I_2 / 2r_2$ છે. બીજું સમઅક્ષીય ગુંચળાનું ખૂબ નાની ત્રિજ્યાનું હોવાના કારણે, B_2 ને તેના આડછેદના ક્ષેત્રફળ પર સમાન ગણી શકાય. તેથી,

$$\begin{aligned} \Phi_1 &= \pi r_1^2 B_2 \\ &= \frac{\mu_0 \pi r_1^2}{2r_2} I_2 \\ &= M_{12} I_2 \end{aligned}$$

આમ,

$$M_{12} = \frac{\mu_0 \pi r_1^2}{2r_2}$$

સમીકરણ (6.14) પરથી

$$M_{12} = M_{21} = \frac{\mu_0 \pi r_1^2}{2r_2}$$

નોંધો કે, આપણે ચુંબકીયક્ષેત્ર B_2 ને πr_1^2 ક્ષેત્રફળ પર સમાન ધારીને Φ_1 ની આશરે કિમતથી M_{12} ની ગણતરી કરી છે. તેમ છતાં, આપણે આ મૂલ્ય સ્વીકારી શકીએ છીએ કારણ કે $r_1 \ll r_2$.



હવે, આપણે પરિચ્છેદ 6.2નો પ્રયોગ-6.3 યાદ કરીએ. તે પ્રયોગમાં, જ્યારે ગૂંઘળા C_2 માંથી વહેતા વિદ્યુતપ્રવાહમાં કોઈ ફેરફાર થતો હતો ત્યારે ગૂંઘળા C_1 માં emf પ્રેરિત થતું હતું. જ્યારે ગૂંઘળા C_2 માં પ્રવાહ I_2 વહેતો હોય ત્યારે ગૂંઘળા C_1 (N_1 આંટાવાળું માનો) સાથે સંકળાયેલ ફ્લૂક્સ Φ_1 લો.

સમીકરણ (6.9) પરથી,

$$N_1\Phi_1 = MI_2$$

મળે. સમય સાથે બદલાતાં પ્રવાહ માટે,

$$\frac{d(N_1\Phi_1)}{dt} = \frac{d(MI_2)}{dt}$$

ગૂંઘળા C_1 માં પ્રેરિત emf

$$\varepsilon_1 = -\frac{d(N_1\Phi_1)}{dt}$$

હોવાથી આપુણને

$$\varepsilon_1 = -M \frac{dI_2}{dt} \text{ મળશે.}$$

આ દર્શાવે છે કે ગૂંઘળામાં બદલાતો વિદ્યુતપ્રવાહ નજીકમાં રહેલ ગૂંઘળામાં emf પ્રેરિત કરી શકે છે. આ પ્રેરિત emf નું મૂલ્ય વિદ્યુતપ્રવાહના ફેરફારના દર અને આ બે ગૂંઘળાના અન્યોન્ય પ્રેરકત્વ પર આધારિત છે.

6.9.2 આત્મ-પ્રેરકત્વ (Self-Inductance)

અગાઉના પેટા-વિભાગમાં, આપણે એક સોલેનોઇડમાં બીજા સોલેનોઇડના વિદ્યુતપ્રવાહને કારણે ઉત્પન્ન થતું ફ્લૂક્સ લીધું હતું. એ પણ શક્ય છે કે કોઈ એક અલગ કરેલાં ગૂંઘળામાં, તેમાંથી જ વહેતા પ્રવાહમાં ફેરફાર કરીને થતા ફ્લૂક્સના ફેરફારથી પણ તેમાં emf પ્રેરિત થાય. આ ઘટનાને આત્મ-પ્રેરણ કહેવામાં આવે છે. આ કિસ્સામાં, N આંટાવાળા ગૂંઘળા સાથે સંકળાયેલ ફ્લૂક્સ એ ગૂંઘળામાંના વિદ્યુતપ્રવાહના સમપ્રમાણમાં હોય છે અને તેને

$$N\Phi_B \propto I$$

$$N\Phi_B = LI \quad (6.15)$$

વડે દર્શાવવામાં આવે છે. જ્યાં, સમપ્રમાણ અચળાંક L ને ગૂંઘળાનું આત્મ-પ્રેરકત્વ કહેવામાં આવે છે. તેને ગૂંઘળાનો આત્મ-પ્રેરણ અચળાંક પણ કહેવાય છે. જ્યારે વિદ્યુતપ્રવાહ બદલાય છે ત્યારે ગૂંઘળા સાથે સંકળાયેલ ફ્લૂક્સ પણ બદલાય છે અને ગૂંઘળામાં emf પ્રેરિત થાય છે. સમીકરણ (6.15)-નો ઉપયોગ કરીને, પ્રેરિત emf -ને

$$\varepsilon = -\frac{d(N\Phi_B)}{dt}$$

$$\varepsilon = -L \frac{dI}{dt} \quad (6.16)$$

દ્વારા આપવામાં આવે છે.

આમ, આત્મ-પ્રેરિત emf ગૂંઘળામાં વિદ્યુતપ્રવાહના કોઈ પણ ફેરફાર (વધારો અથવા ઘટાડો)નો હંમેશાં વિરોધ કરે છે.

સરળ ભૂમિતિ સાથેના પરિપથો માટે આત્મ-પ્રેરકત્વની ગણતરી કરવી શક્ય છે. આપણે આડછેદનું ક્ષેત્રફળ A , લંબાઈ l અને એકમ લંબાઈ દીઠ n આંટા ધરાવતા એક લાંબા સોલેનોઇડના આત્મ-પ્રેરકત્વની ગણતરી કરીએ. આ સોલેનોઇડમાં વહેતા પ્રવાહ I ના કારણે ચુંબકીયક્ષેત્ર $B = \mu_0 nI$ (અગાઉની જેમ ધાર (છેડા)ની અસરોની અવગાણના કરતાં) છે. આ સોલેનોઇડ સાથે સંકળાયેલ કુલ ફ્લૂક્સ,

$$N\Phi_B = (nI)(\mu_0 nI)(A)$$

$$= \mu_0 n^2 A I$$

છે જ્યાં, n/l એ આંટાઓની કુલ સંખ્યા છે. આમ, આત્મ-પ્રેરકત્વ

$$\begin{aligned} L &= \frac{N\Phi_B}{I} \\ &= \mu_0 n^2 Al \end{aligned} \quad (6.17)$$

છે. જો આપણે સોલેનોઇડની અંદર સાપેક્ષ પરમીએબિલિટી μ_r વાળું દ્વય ભરીએ (ઉદાહરણ તરીકે, નરમ લોખંડ, જે સાપેક્ષ પરમીએબિલિટીનું ઉચ્ચ મૂલ્ય ધરાવે છે), તો

$$L = \mu_r \mu_0 n^2 Al \quad (6.18)$$

આમ ગુંચળાનું આત્મ-પ્રેરકત્વ તેની ભૂમિતિ પર અને માધ્યમની પરમીએબિલિટી પર આધારીત છે.

આત્મ-પ્રેરિત emf ને Back emf (પ્રતિ emf) તરીકે પણ ઓળખવામાં આવે છે, કારણ કે તે પરિપથમાં પ્રવાહમાં થતાં કોઈ પણ ફેરફારનો વિરોધ કરે છે. ભૌતિક રીતે, આત્મ-પ્રેરકત્વએ જડત્વની ભૂમિકા ભજ્યે છે. તે યંત્રશાસ્ત્રમાંના દ્વયમાનનું વિદ્યુતચુંબકીય સમતુલ્ય છે. તેથી, પ્રવાહ પ્રસ્થાપિત કરવા માટે બેક emf (E) વિરુદ્ધ કાર્ય કરવાની જરૂર પડે છે. આ રીતે કરવામાં આવેલ કાર્ય એ ચુંબકીય સ્થિતિગીર્જ તરીકે સંગ્રહિત થાય છે. કોઈ પણ કાર્ય પરિપથમાં પ્રવાહ I માટે, કાર્ય થવાનો દર

$$\frac{dW}{dt} = |E|I$$

છે. જો આપણે અવરોધકીય વ્યયની અવગણના કરીએ અને માત્ર પ્રેરણની (Inductive) અસરને જ્યાનમાં લઈએ, તો સમીકરણ (6.16)નો ઉપયોગ કરીને,

$$\frac{dW}{dt} = LI \frac{dI}{dt}$$

પ્રવાહ Iને પ્રસ્થાપિત કરવા માટે કરવામાં આવેલ કાર્યનો કુલ જરૂરો

$$W = \int dW = \int_0^I L I dI$$

છે. આમ, પ્રવાહ I પ્રસ્થાપિત કરવા માટે જરૂરી ઊર્જા

$$W = \frac{1}{2} L I^2 \quad (6.19)$$

છે. આ સૂત્ર આપણાને m દ્વયમાન ધરાવતા કણની (યાંત્રિક) ગતિગીર્જ માટે $mv^2/2$ ની યાદ આપાવે છે અને દર્શાવે છે કે L એ mને સમતુલ્ય છે (એટલે કે, L એ વિદ્યુત જડત્વ છે અને પરિપથમાં પ્રવાહની વૃદ્ધિ (વધારા) અને ક્ષયનો (ઘટાડાનો) વિરોધ કરે છે).

નજીક રહેલ બે ગુંચળામાં કોઈ એક સમયે વહેતા પ્રવાહોનો એક સામાન્ય કિસ્સો જ્યાનમાં લો. એક ગુંચળા સાથે સંકળાપેલ ફ્લક્સ સ્વતંત્ર રીતે અસ્તિત્વ ધરાવતાં બે ફ્લક્સના સરવાળા જેટલું હશે.

આમ, સમીકરણ (6.9)

$$N_1 \Phi_1 = M_{11} I_1 + M_{12} I_2$$

પ્રમાણે બદલાણો. જ્યાં M_{11} તે જ ગુંચળાને કારણે પ્રેરકત્વ ૨જૂ કરે છે.

તેથી ફેરેના નિયમનો ઉપયોગ કરીને,

$$\varepsilon_1 = -M_{11} \frac{dI_1}{dt} - M_{12} \frac{dI_2}{dt}$$



ભौतિકવિજ્ઞાન

અહીં M_{11} આત્મ-પ્રેરકત્વ છે અને તે L_1 તરીકે લખાય છે. તેથી,

$$\epsilon_1 = -L_1 \frac{dI_1}{dt} - M_{12} \frac{dI_2}{dt}$$

ઉદાહરણ 6.10 (a) ચુંબકીયક્ષેત્ર B, ક્ષેત્રફળ A અને સોલેનોઇડની લંબાઈ l ના પદમાં સોલેનોઇડમાં સંગ્રહિત ચુંબકીય ઊર્જા માટેનું સૂત્ર મેળવો. (b) આ ચુંબકીય ઊર્જાને કેપેસીટરમાં સંગ્રહિત સ્થિત વિદ્યુત (Electrostatic) ઊર્જાની સાથે કેવી રીતે સરખાવી શકાય છે?

ઉકેલ

(a) સમીકરણ (6.19) પરથી, ચુંબકીય ઊર્જા

$$\begin{aligned} U_B &= \frac{1}{2} L I^2 \\ &= \frac{1}{2} L \left(\frac{B}{\mu_0 n} \right)^2 && (\text{કારણ કે સોલેનોઇડ માટે } B = \mu_0 n I) \\ &= \frac{1}{2} (\mu_0 n^2 A l) \left(\frac{B}{\mu_0 n} \right)^2 && (\text{સમીકરણ (6.17) પરથી}) \\ &= \frac{1}{2} \frac{B^2}{\mu_0} A l \end{aligned}$$

(b) એકમ કદ દીઠ ચુંબકીય ઊર્જા

$$\begin{aligned} u_B &= \frac{U_B}{V} && (\text{જ્યાં V એ ફ્લાક્સ ધરાવતું કદ છે.}) \\ &= \frac{U_B}{A l} \\ &= \frac{B^2}{2 \mu_0} \end{aligned} \quad (6.20)$$

આપણે અગાઉ સમાંતર પ્લેટ કેપેસીટરમાં એકમ કદ દીઠ સંગ્રહિત સ્થિતવિદ્યુત (ઇલેક્ટ્રોસ્ટેટિક) ઊર્જાનું સૂત્ર મેળવેલ છે. (પ્રકરણ-2, સમીકરણ 2.77નો સંદર્ભ લો).

$$u_E = \frac{1}{2} \epsilon_0 E^2 \quad (2.77)$$

આ બંને કિસ્સાઓમાં ઊર્જા એ ક્ષેત્રની તીવ્રતાના વર્ગના સમપ્રમાણ છે. સમીકરણો (6.20) અને (2.77)એ અનુકૂળ સોલેનોઇડ અને સમાંતર પ્લેટ કેપેસીટરના વિશિષ્ટ કિસ્સાઓ માટે તારવવામાં આવ્યા છે. પરંતુ તે અવકાશના કોઈ પણ વિસ્તાર માટે વ્યાપક અને સત્ય છે કે જેમાં ચુંબકીયક્ષેત્ર અથવા/અને વિદ્યુતક્ષેત્ર અસ્તિત્વ ધરાવે છે.

ઉદાહરણ 6.10

Interactive animation on ac generator :
<http://micro.magnet.fsu.edu/electromag/java/generator/ac.html>

PHYSICS

6.10 AC જનરેટર (AC GENERATOR)

વિદ્યુતચુંબકીય પ્રેરણની ઘટનાને તક્કનિકી રીતે ઘણી બધી રીતે ઉપયોગમાં લેવામાં આવી છે. અત્યંત મહત્વપૂર્ણ ઉપયોગ એ ઓલ્ટરનેટિંગ કરેટ (ac)-નું ઉત્પાદન છે. 100 MWની વાક્ષણિક ઉત્પાદન ક્ષમતા ધરાવતા આધુનિક ac જનરેટર અત્યંત વિકસિત યંત્ર છે. આ પરિચ્છેદમાં, આપણે આ યંત્ર પાછળના મૂળભૂત સિદ્ધાંતોનું વર્ણન કરીશું. યુગોરસ્લાવિયાના શોધક નિકોલા ટેસ્લાને આ યંત્રના વિકસનો શ્રેય આપવામાં આવે છે. પરિચ્છેદ 6.3માં જેમ નિર્દેશ કરવામાં આવ્યો છે, કે emf પ્રેરિત કરવા માટે ગાળાના નમનમાં ફેરફાર અથવા તેના અસરકારક ક્ષેત્રફળમાં ફેરફાર કરવો એ

વિદ્યુતચુંબકીય પ્રેરણ

એક પદ્ધતિ છે. ગૂંચળું ચુંબકીયક્ષેત્ર **B**માં ભ્રમણ કરે છે, ત્યારે આ ગાળાનું અસરકારક ક્ષેત્રફળ (ક્ષેત્રને લંબ સપાટી) $A \cos\theta$ છે, જ્યાં θ એ **A** અને **B** વચ્ચેનો ખૂણો છે. ફૂલક્સ ફેરફાર ઉત્પન્ન કરવાની આ પદ્ધતિ એ સરળ ac જનરેટરના કાર્યનો સિદ્ધાંત છે. ac જનરેટરએ યાંત્રિક ઊર્જાને વિદ્યુત ઊર્જામાં રૂપાંતરિત કરે છે.

ac જનરેટરના મૂળભૂત ભાગો આંકૃતિ 6.16માં દર્શાવવામાં આવ્યા છે. તે રોટર શાફ્ટ પર જડિત એક ગૂંચળું ધરાવે છે. આ ગૂંચળાના પરિભ્રમણની અક્ષ ચુંબકીયક્ષેત્રની દિશાને લંબ હોય છે. આ ગૂંચળા (જેને આર્મ્ચર કહેવાય છે) ને યાંત્રિક રીતે કોઈ બાબુ માધ્યમ દ્વારા એકસમાન ચુંબકીયક્ષેત્રમાં ભ્રમણ કરાવવામાં આવે છે. આ ગૂંચળાનું પરિભ્રમણ એ તેને સંલગ્ન ચુંબકીય ફૂલક્સમાં ફેરફારનું કારણ બને છે, તેથી આ ગૂંચળામાં emf પ્રેરિત થાય છે. આ ગૂંચળાના છેડાઓ સ્લીપ રિંગ અને બ્રશ દ્વારા બાબુ પરિપથ સાથે જોડાયેલા હોય છે.

જ્યારે આ ગૂંચળાને ω જેટલી અચળ કોણીય ઝડપ સાથે ભ્રમણ કરાવવામાં આવે છે ત્યારે, કોઈ પણ t કષેત્રે ચુંબકીયક્ષેત્ર સંદિશ **B**

અને ગૂંચળાના ક્ષેત્રફળ સંદિશ **A** વચ્ચેનો કોણ $\theta = \omega t$ ($t=0$ એ $\theta = 0^\circ$ ધારતાં) છે. પરિણામ રૂપે, ચુંબકીયક્ષેત્ર રેખાઓની સામે રહેતું ગૂંચળાનું અસરકારક ક્ષેત્રફળ સમય સાથે બદલાય છે અને સમીકરણ (6.1) પરથી, કોઈ પણ સમયે ફૂલક્સ

$$\Phi_B = BA \cos\theta = BA \cos \omega t$$

છે. ફેરેના નિયમ પરથી, ભ્રમણ કરતાં **N** આંટાઓવાળા ગૂંચળા માટે પ્રેરિત emf

$$\epsilon = -N \frac{d\Phi_B}{dt} = -NBA \frac{d}{dt} (\cos \omega t)$$

છે. આમ, emfનું તત્કાલિન મૂલ્ય

$$\epsilon = NBA \omega \sin \omega t \quad (6.21)$$

છે. જ્યાં, $NBA\omega$ એ emfનું મહત્તમ મૂલ્ય છે, જે જ્યારે $\sin \omega t = \pm 1$ થાય ત્યારે મળે છે. જો આપણે $NBA\omega$ ને E_0 વડે દર્શાવીએ, તો

$$\epsilon = E_0 \sin \omega t \quad (6.22)$$

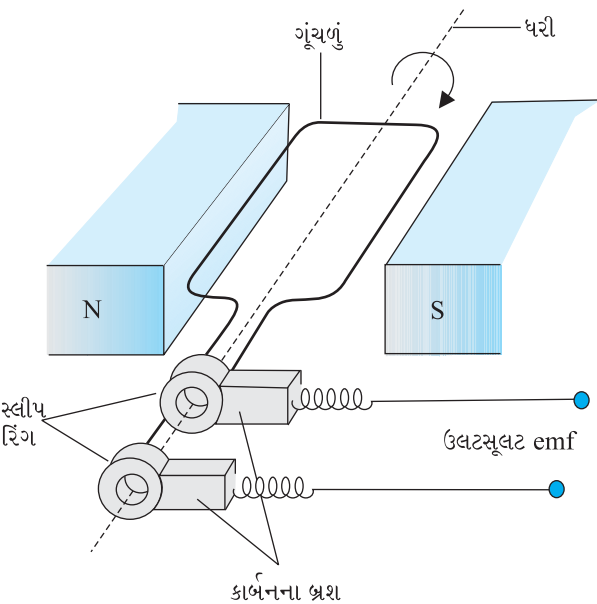
sin વિધેયનું મૂલ્ય $+1$ અને -1 ની વચ્ચે બદલાય છે, તેથી emfની સંક્ષા કે દિશા (ધ્રુવત્વ, Polarity) પણ સમય સાથે બદલાય છે. આંકૃતિ 6.17 પરથી નોંધો કે જ્યારે $\theta = 90^\circ$ અથવા $\theta = 270^\circ$ હોય છે ત્યારે તેના emf નું મૂલ્ય મહત્તમ પર હોય છે, કારણ કે આ બિંદુઓ આગળ ફૂલક્સમાં ફેરફાર સૌથી મોટો છે.

પ્રવાહની દિશા આવર્ત રીતે બદલાય છે અને તેથી આ વિદ્યુતપ્રવાહને (ઉલટસૂલટ) ઓલ્ટરનેટિંગ પ્રવાહ (ac) કહેવામાં આવે છે. $\omega = 2\pi v$ છે, તેથી સમીકરણ (6.22) પરથી

$$\epsilon = E_0 \sin 2\pi v t \quad (6.23)$$

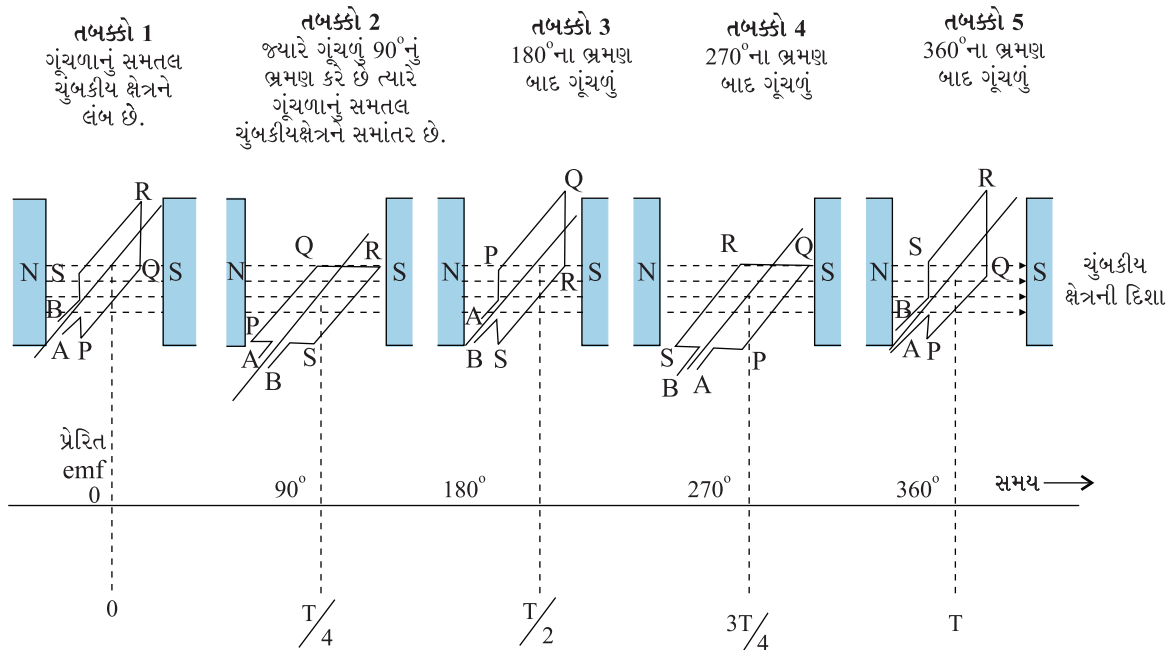
લખી શકાય છે. જ્યાં, v જનરેટરના ગૂંચળાના ભ્રમણની આવૃત્તિ છે.

નોંધો કે, સમીકરણ (6.22) અને (6.23)એ emf નું તાત્કષિક મૂલ્ય આપે છે અને દનું મૂલ્ય આવર્ત રીતે $+E_0$ અને $-E_0$ ની વચ્ચે બદલાય છે. આપણે ઓલ્ટરનેટિંગ વોલ્ટેજ અને પ્રવાહના સમય સરેરાશ મૂલ્ય કેવી રીતે નક્કી કરવા તે આગામી પ્રકરણમાં શીખીશું.



આંકૃતિ 6.16 AC જનરેટર

ભौतિકવિજ્ઞાન



આકૃતિ 6.17 ચુંબકીયક્ષેત્રમાં ભ્રમણ કરતા તારના ગાળા વારા ઓફ્ટરનેટિંગ emfનું ઉત્પાદન થાય છે.

વ્યાવસાયિક જનરેટરમાં આર્મ્ચરને ભ્રમણ કરાવવા માટે જે યાંત્રિક ઊર્જા જરૂરી છે તે ઉંચાઈ પરથી પડી રહેલા પાણી દ્વારા (દા.ત., તેમમાંથી) પૂરી પાડવામાં આવે છે. આને હાઇડ્રો-ઇલેક્ટ્રિક જનરેટર કહેવામાં આવે છે. વૈકલ્પિક શીઠે, કોલસો અથવા અન્ય સ્લોતોનો ઉપયોગ કરીને પાણી ગરમ કરી વરાળાનું ઉત્પાદન કરવામાં આવે છે. ઉચ્ચ દબાણમાં રહેલ આ વરાળ આર્મ્ચરમાં પરિભ્રમણ ઉત્પન્ન કરે છે. આને થર્મલ જનરેટર કહેવામાં આવે છે. કોલસાની જગ્યાએ, જો આણુ (ન્યુક્લિયર) બળતણનો ઉપયોગ થાય, તો આપણાને ન્યુક્લિયર પાવર જનરેટર મળે છે. આધુનિક સમયના જનરેટર 500 MW જેટલો ઉચ્ચ ઇલેક્ટ્રિક પાવર પેદા કરે છે, એટલે કે તે કોઈ 100Wના 50 લાખ બલ્બને પ્રકાશિત કરી શકે છે ! મોટા ભાગના જનરેટર્સમાં, ગૂંચળા સ્થિર રહે છે અને ઇલેક્ટ્રોમેનેટ્સને ભ્રમણ કરાવવામાં આવે છે. આ પરિભ્રમણની આવૃત્તિ ભારતમાં 50 Hzની છે. યુએસએ જેવા અમુક દેશોમાં, તે 60 Hz છે.

ઉદાહરણ 6.11 કમલા એક સ્થિર સાયકલને પેડલ મારે છે. આ સાયકલના પેડલ્સ 100 આંટાઓ અને 0.10 m^2 ક્ષેત્રફળ ધરાવતા ગૂંચળા સાથે જોડાયેલા છે. આ ગૂંચળું અડ્ધા આંટા પ્રતિ સેક્યુન્ડથી ભ્રમણ કરે છે અને તે ગૂંચળાના પરિભ્રમણાની ધરીને લંબરૂપ 0.01 Tના ચુંબકીયક્ષેત્રમાં મૂકવામાં આવેલ છે. આ ગૂંચળામાં પેદા થતો મહત્તમ વોલ્ટેજ શું હશે ?

ઉકેલ અહીં $v = 0.5 \text{ Hz}$; $N = 100$, $A = 0.1 \text{ m}^2$ અને $B = 0.01 \text{ T}$ છે. સમીકરણ (6.21)નો ઉપયોગ કરીને

$$\begin{aligned}\epsilon &= NBA(2\pi v) \\ &= 100 \times 0.01 \times 0.1 \times 2 \times 3.14 \times 0.5 \\ &= 0.314 \text{ V}\end{aligned}$$

મહત્તમ વોલ્ટેજ 0.314 V છે.

અમે તમને વીજ ઉત્પાદન માટેના આવા વैકલ્પિક વિકલ્પોની શોધ કરવા આહ્વાન કરીએ છીએ.

ઉદાહરણ 6.11